



การสังเคราะห์และวิเคราะห์ลักษณะเฉพาะของพอลิเมอร์ร่วมจากมอนอเมอร์ในตระกูลไดอัลคิล
อีทาโคเนตโดยผ่านกระบวนการอะตอมทรานส์เฟอร์เรดิคอลพอลิเมอไรเซชัน

นางสาวกัทธีรา ศรีชัย

วิทยานิพนธ์นี้เป็นส่วนหนึ่งของการศึกษาตามหลักสูตร
ปริญญาวิศวกรรมศาสตรมหาบัณฑิต สาขาวิชาเทคโนโลยีวัสดุ
คณะพลังงานสิ่งแวดล้อมและวัสดุ
มหาวิทยาลัยเทคโนโลยีพระจอมเกล้าธนบุรี

พ.ศ. 2555

การสังเคราะห์และวิเคราะห์ลักษณะเฉพาะของพอลิเมอร์ร่วมจากมอนอเมอร์ในตระกูลไดอัลคิล
อทาโคเนตโดยผ่านกระบวนการอะตอมทรานส์เฟอร์เรดิคอลพอลิเมอไรเซชัน

นางสาวกัทธีรา ศรีชัย วศ.บ. (ปีโทรมเคมีและวัสดุพอลิเมอร์)

วิทยานิพนธ์นี้เป็นส่วนหนึ่งของการศึกษาตามหลักสูตร
ปริญญาวิศวกรรมศาสตรมหาบัณฑิต สาขาวิชาเทคโนโลยีวัสดุ
คณะพลังงานสิ่งแวดล้อมและวัสดุ
มหาวิทยาลัยเทคโนโลยีพระจอมเกล้าธนบุรี

พ.ศ. 2555

คณะกรรมการสอบวิทยานิพนธ์

.....

(รศ. ดร.ปราณี ภิญโญชีพ)

.....

(รศ. ดร.จตุพร วุฒิกนกกาญจน์)

.....

(ดร.ทราขวรรณ นวเลิศปัญญา)

.....

(ดร.นันทน์ ถาวรังกูร)

.....

(ผศ. ดร.มณิสรา พิริยวิรุตม์)

ประธานกรรมการสอบวิทยานิพนธ์

กรรมการและอาจารย์ที่ปรึกษาวิทยานิพนธ์

กรรมการและอาจารย์ที่ปรึกษาวิทยานิพนธ์ร่วม

กรรมการ

กรรมการ

ลิขสิทธิ์ของมหาวิทยาลัยเทคโนโลยีพระจอมเกล้าธนบุรี

หัวข้อวิทยานิพนธ์	การสังเคราะห์และวิเคราะห์ลักษณะเฉพาะของพอลิเมอร์ร่วมจากมอนอเมอร์ในตระกูลไดอัลคิลลิทาโคเนต โดยผ่านกระบวนการอะตอมทรานส์เฟอร์เรดิคอลพอลิเมอไรเซชัน
หน่วยกิต	15
ผู้เขียน	นางสาวกัทธีรา ศรีชัย
อาจารย์ที่ปรึกษา	รศ. ดร. จตุพร วุฒิกนกกาญจน์ ดร. ทราขวรรณ นวเลิศปัญญา
หลักสูตร	วิศวกรรมศาสตรมหาบัณฑิต
สาขาวิชา	เทคโนโลยีวัสดุ
สายวิชา	เทคโนโลยีวัสดุ
คณะ	พลังงานสิ่งแวดล้อมและวัสดุ
พ.ศ.	2555

บทคัดย่อ

งานวิจัยนี้เกี่ยวข้องกับ การสังเคราะห์พอลิเมอร์ร่วมแบบบล็อกจากไดอัลคิลลิทาโคเนต โดยผ่านปฏิกิริยาการเกิดพอลิเมอร์แบบอะตอมทรานส์เฟอร์เรดิคอลพอลิเมอไรเซชัน (ATRP) โดยมีวัตถุประสงค์เพื่อศึกษาความสัมพันธ์ระหว่างสภาวะและตัวแปรในการสังเคราะห์กับโครงสร้างและสมบัติของพอลิเมอร์ โดยใช้ไดเมธิล-2,6-ไดโบรโมเฮปแทนไดโอด (DMDBHD) เป็นตัวเริ่มปฏิกิริยา คอปเปอร์โบรไมด์ (CuBr) และเพนตะเมธิลไดเอทิลีนไตรเอมีน (PMDETA) เป็นสารเร่งปฏิกิริยา โดยสภาวะและตัวแปรที่ทำการศึกษา ได้แก่ อุณหภูมิ เวลา สัดส่วนโมลของมอนอเมอร์ต่อตัวเริ่มปฏิกิริยา และสัดส่วนโมลของมอนอเมอร์ต่อคอปเปอร์โบรไมด์ จากนั้นทำการวิเคราะห์ลักษณะเฉพาะโดยเทคนิคโปรตอนนิวเคลียร์แมกเนติกเรโซแนนซ์สเปกโตรสโกปี ($^1\text{H-NMR}$) ทดสอบหาน้ำหนักโมเลกุลด้วยเทคนิคเจลเพอร์มีเอชันโครมาโตกราฟี (GPC) และทดสอบสมบัติทางความร้อนด้วยเทคนิคดิฟเฟอเรนเชียลสแกนนิ่งแคลอริเมทรี (DSC) จากผลการวิจัยพบว่าสามารถทำการสังเคราะห์พอลิไดอัลคิลลิทาโคเนตและพอลิเมอร์ร่วมแบบบล็อกได้สำเร็จ และพบว่าปริมาณผลิตภัณฑ์และน้ำหนักโมเลกุลของพอลิเมอร์เพิ่มขึ้นตามเวลาในการสังเคราะห์ โดยปริมาณผลิตภัณฑ์และน้ำหนักโมเลกุล (M_n) ของพอลิไดเมธิลลิทาโคเนตสูงสุดที่ร้อยละ 18.18 และ 1,889 กรัม/โมล ตามลำดับ ขณะที่ปริมาณผลิตภัณฑ์และน้ำหนักโมเลกุล (M_n) ของพอลิไดบิวทิลลิทาโคเนตสูงสุดที่ร้อยละ 48.35 และ 7,949 กรัม/โมล ตามลำดับ ในขณะที่ปฏิกิริยาการเกิดพอลิเมอร์ร่วมแบบบล็อก

เกิดได้ยากและมีปริมาณผลิตภัณฑ์ต่ำ ซึ่งปริมาณผลิตภัณฑ์ของพอลิเมอร์สูงสุดคือ ร้อยละ 46.75 และสถานะที่ดีที่สุดในที่นี้คือที่อุณหภูมิ 60 องศาเซลเซียส โดยพบว่าพอลิเมอร์มีน้ำหนักโมเลกุลสูงสุดคือ 9,486 กรัม/โมล

คำสำคัญ : ไดอัลคิลอิทาโคเนต/อะตอมทรานส์เฟอร์แรดิกอลพอลิเมอร์เซน/พอลิเมอร์ร่วม

Thesis title	Synthesis and Characterization of Copolymers from Di-alkyl Itaconate Based Monomer via Atom Transfer Radical Polymerization
Thesis credits	15
Candidate	Ms. Patthera Srichai
Thesis Advisors	Assoc. Prof. Dr.Jatuphorn Wootthikanokkhan Dr.Saiwan Nawalerdpanya
Program	Master of Engineering
Field of study	Materials Technology
Department	Materials Technology
Faculty	School of Energy, Environment and Materials
B.E.	2555

Abstract

This research concerns the synthesis of poly(dialkyl itaconate) and triblock copolymers consisting of poly(dibutyl itaconate) and poly(dimethyl itaconate) via atom transfer radical polymerization (ATRP). The purpose of this research is to investigate the effect of monomer concentration, amount of catalyst, reaction temperature and reaction time on percentage yield and molecular weight of the synthesized polymers. The copper bromide (CuBr) and N, N',N'',N'''-pentamethyldiethylenetriamine (PMDETA) were used as a catalyst system, dimethyl-2, 6-dibromoheptanedioate (DMDBHD) was used as an initiator and tetrahydrofuran (THF) was used as a solvent for ATRP. The Gel permeation chromatography (GPC) was used to determine the molecular weight and molecular weight distribution (PDI) of the synthesized polymers. The ¹H-NMR spectroscopy was used to determine the chemical composition of the synthesized polymers. Glass transition temperature of the products (T_g) was investigated by differential scanning calorimetry (DSC). It was found that percentage yield and molecular weight of the synthesized polymers could be either increase or decrease with the initiator concentration and the amount of catalyst. The highest of molecular weight (M_n) and percentage of yield of poly(dimethyl itaconate) and poly(dibutyl itaconate) were 1,889 g/mol, 18.18% and 7,949 g/mol, 48.35% respectively.

The product yield from the synthesis of triblock copolymers was considerably low (46.75%).The maximum molecular weight (M_n) obtained was 9,486 g/mol.

Keywords : Di-alkyl itaconate/Atom transfer radical polymerization/Copolymers

กิตติกรรมประกาศ

งานวิจัยนี้สำเร็จลุล่วงได้ โดยได้รับความรู้ การแนะนำ การให้คำปรึกษา ชี้แนะเพื่อแก้ไขปัญหารวมถึง
ข้อบกพร่องต่างๆ เพื่อเป็นแนวทางในการแก้ไขปัญหาที่เกิดขึ้นในงานวิจัย จากอาจารย์ที่ปรึกษา
วิทยานิพนธ์ รศ. ดร.จตุพรวุฒิกันกกาญจน์ และ ดร.ทราयरรรณ นวเลิศปัญญา

ผู้วิจัยขอขอบคุณคณะกรรมการสอบวิทยานิพนธ์ทุกท่าน ได้แก่ รศ. ดร.ปราณี ภิญโญชีพ
คณะวิทยาศาสตร์ มหาวิทยาลัยมหิดล ดร.นันทน์ ถาวรังกูร คณะพลังงานสิ่งแวดล้อมและวัสดุ
มหาวิทยาลัยเทคโนโลยีพระจอมเกล้าธนบุรี และ ผศ. ดร.มณิสรา พิริยวิรุฒม์ คณะวิศวกรรมศาสตร์
มหาวิทยาลัยเทคโนโลยีพระจอมเกล้าธนบุรี ที่ได้สละเวลาในการสอบวิทยานิพนธ์ ให้ข้อแนะนำและ
ตรวจแก้ไขวิทยานิพนธ์เล่มนี้จนเสร็จสมบูรณ์ ขอขอบคุณมหาวิทยาลัยวิจัย (NRU) ที่ให้ทุนสนับสนุน
ในการดำเนินงานวิจัย ขอขอบคุณกลุ่มวิจัย PENTEC และสมาชิกในกลุ่มวิจัย PENTEC คณะพลังงาน
สิ่งแวดล้อมและวัสดุ มหาวิทยาลัยเทคโนโลยีพระจอมเกล้าธนบุรี ที่ให้ความอนุเคราะห์และ
สนับสนุนสถานที่ในการปฏิบัติงาน และขอขอบคุณ คุณพ่อ คุณแม่ และครอบครัว ที่ให้การสนับสนุน
และเป็นกำลังใจที่ดีเสมอมา

สารบัญ

	หน้า
บทคัดย่อภาษาไทย	๗
บทคัดย่อภาษาอังกฤษ	๗
กิตติกรรมประกาศ	๗
สารบัญ	๗
รายการตาราง	๗
รายการรูปประกอบ	๗
รายการสัญลักษณ์	๗
บทที่	
1. บทนำ	1
1.1 ความสำคัญและที่มาของงานวิจัย	1
1.2 ปัญหาในการทำวิจัย	6
1.3 งานวิจัยที่เกี่ยวข้อง	6
1.4 วัตถุประสงค์	8
1.5 ขอบเขตของการดำเนินงานวิจัย	8
1.6 สมมติฐานในการดำเนินงานวิจัย	8
1.7 ประโยชน์ที่คาดว่าจะได้รับ	9
2. ทฤษฎี	10
2.1 เทอร์โมพลาสติกอีลาสโตเมอร์	10
2.1.1 พอลิเมอร์ร่วมแบบบล็อก	10
2.1.2 การใช้งานของวัสดุเทอร์โมพลาสติกอีลาสโตเมอร์	11

2.1.3	ข้อดีและข้อเสียของวัสดุเทอร์โมพลาสติกอีลาสโตเมอร์ (TPE)	14
2.1.4	เทอร์โมพลาสติกวัลคาไนเซต (TPV)	14
2.2	การทดสอบเทอร์โมพลาสติกอีลาสโตเมอร์	14
2.2.1	การทดสอบเทอร์โมพลาสติกอีลาสโตเมอร์โดยอาศัยสมบัติเชิงกล	14
2.2.2	การทดสอบสมบัติด้านการไหลของเทอร์โมพลาสติกอีลาสโตเมอร์	15
2.3	ปฏิกิริยาการเกิดพอลิเมอร์แบบมีชีวิต (Living polymerization)	16
2.3.1	ปฏิกิริยาการเกิดพอลิเมอร์แบบแอนไอออน (Anionic polymerization)	17
2.3.2	ปฏิกิริยาการเกิดพอลิเมอร์แบบแคทไอออน (Cationic polymerization)	19
2.3.3	ปฏิกิริยาการเกิดพอลิเมอร์แบบอนุมูลอิสระที่ถูกรควบคุม (Controlled free radical polymerization)	20
2.3.3.1	ปฏิกิริยาการเกิดพอลิเมอร์โดยผ่านการใช้สารไนโตรออกไซด์เป็นตัวกลาง (Nitroxide mediated polymerization; NMP)	21
2.3.3.2	ปฏิกิริยาการเกิดพอลิเมอร์แบบอะตอมทรานส์เฟอร์เรดิคอลพอลิเมอร์ไรเซชัน (ATRP)	23
2.3.3.3	ปฏิกิริยาการเกิดพอลิเมอร์แบบ reverse ATRP	31
2.3.3.4	ปฏิกิริยาการเกิดพอลิเมอร์แบบ ARGET ATRP (Activator regenerated by electron transfer)	32
2.3.3.5	ปฏิกิริยาการเกิดพอลิเมอร์โดยผ่านสารการใช้นิเฟอร์เตอร์ (Iniferter polymerization)	33
2.3.3.6	ปฏิกิริยาการเกิดพอลิเมอร์แบบ RAFT	35
3.	การดำเนินงานวิจัย	37
3.1	การเตรียมอุปกรณ์และสารเคมีในการทดลอง	37
3.1.1	อุปกรณ์ที่ใช้ในการทดลอง	37
3.1.1.1	เครื่องแก้ว	37
3.1.1.1	อุปกรณ์อื่นๆ	38
3.1.2	สารเคมีและขั้นตอนการทำบริสุทธิ์	38

3.1.3 เครื่องมือในการทดลอง	40
3.1.4 การทำบริสุทธิ์ตัวทำละลายและคอปเปอร์โบรไมด์	40
3.1.4.1 ขั้นตอนการทำให้ตัวทำละลายบริสุทธิ์	40
3.1.4.2 ขั้นตอนการทำให้คอปเปอร์โบรไมด์บริสุทธิ์	40
3.2 การสังเคราะห์หมอนอเมอร์	41
3.3 การสังเคราะห์พอลิเมอร์	42
3.3.1 การคำนวณหาปริมาณสารผลิตภัณฑ์	42
3.3.2 ขั้นตอนการสังเคราะห์พอลิเมอร์	43
3.4 การพิสูจน์ลักษณะเฉพาะของสารผลิตภัณฑ์	45
3.5 การทดสอบหาน้ำหนักโมเลกุลของพอลิเมอร์	46
3.6 การศึกษาสมบัติทางความร้อนของพอลิเมอร์	47
4. ผลการทดลองและการวิจารณ์ผล	48
4.1 ผลการพิสูจน์เอกลักษณ์ของไดเมธิลธาทาโคเนตและไดเอทิลธาทาโคเนต	48
4.2 ผลการพิสูจน์เอกลักษณ์ของพอลิไดเมธิลธาทาโคเนตและพอลิไดบิวทิลธาทาโคเนต	53
4.3 สมบัติทางความร้อนของพอลิไดเมธิลธาทาโคเนตและพอลิไดบิวทิลธาทาโคเนต	57
4.4 ผลของตัวแปรต่างๆ ที่มีต่อปริมาณสารผลิตภัณฑ์และน้ำหนักโมเลกุลของ	58
4.4.1 ผลการสังเคราะห์พอลิไดเมธิลธาทาโคเนต	58
4.4.2 ผลการสังเคราะห์พอลิไดบิวทิลธาทาโคเนต	60
4.4.3 ผลการสังเคราะห์โซโมพอลิเมอร์ด้วยปฏิกิริยาการเกิดพอลิเมอร์แบบ reverse ATRP	62
4.5 ผลการพิสูจน์เอกลักษณ์ของสารผลิตภัณฑ์จากปฏิกิริยา การเกิดพอลิเมอร์ร่วมแบบบล็อก	62
4.6 สมบัติทางความร้อนของสารผลิตภัณฑ์จากปฏิกิริยาการเกิดพอลิเมอร์ร่วม	64
4.7 ผลของปัจจัยต่างๆ ที่มีต่อปริมาณสารผลิตภัณฑ์และน้ำหนักโมเลกุลของ ผลิตภัณฑ์จากปฏิกิริยาการเกิดพอลิเมอร์ร่วม	65

5. สรุปผลจากการทดลอง	70
5.1 สรุปผลจากการทดลอง	70
5.2 ข้อเสนอแนะ	71
เอกสารอ้างอิง	37
ภาคผนวก	
ก. GPC โครมาโทแกรมของพอลิไคเมธิลอิทาโคเนต พอลิไดบิวทิลอิทาโคเนตและ ผลิตภัณฑ์จากการสังเคราะห์พอลิเมอร์ร่วมที่สภาวะการสังเคราะห์ต่างๆ	79
ประวัติผู้วิจัย	89

รายการตาราง

ตาราง	หน้า	
1.1	<p>อุณหภูมิในการเปลี่ยนสถานะคล้ายแก้ว (T_g) และค่าความสามารถการละลายของ พอลิไดอัลคิลิธาโคเนต</p>	5
2.1	<p>เปรียบเทียบสมบัติของพอลิเมอร์ร่วมแบบบล็อกในตระกูลสไตรีนชนิดต่างๆ</p>	12
2.2	<p>ปริมาณสารผลิตภัณฑ์ น้ำหนักโมเลกุลและค่าการกระจายตัวของน้ำหนักโมเลกุล ของพอลิเมธิลเมธาคริเลตที่ใช้คอปเปอร์โพรไมด์ปริมาณต่างๆ</p>	31
3.1	<p>สารเคมีที่ใช้สำหรับการสังเคราะห์มอนอเมอร์</p>	38
3.2	<p>สารเคมีที่ใช้สำหรับการสังเคราะห์พอลิเมอร์</p>	39
3.3	<p>เครื่องมือที่ใช้ในการสังเคราะห์พอลิเมอร์</p>	40
3.4	<p>เครื่องมือทดสอบสมบัติพอลิเมอร์</p>	46
4.1	<p>ผลของสัดส่วนโมลระหว่างมอนอเมอร์กับคอปเปอร์โพรไมด์ที่มีต่อปริมาณ ผลิตภัณฑ์และน้ำหนักโมเลกุลของพอลิไดเมธิลอิทาโคเนต</p>	58
4.2	<p>ผลของสัดส่วนโมลระหว่างมอนอเมอร์กับตัวเริ่มปฏิกิริยาที่มีต่อปริมาณผลิตภัณฑ์ และน้ำหนักโมเลกุลของพอลิไดเมธิลอิทาโคเนต</p>	59
4.3	<p>ผลของสัดส่วนโมลระหว่างมอนอเมอร์กับคอปเปอร์โพรไมด์ที่มีต่อปริมาณผลิตภัณฑ์ และน้ำหนักโมเลกุลของพอลิไดบิวทิลอิทาโคเนต</p>	60
4.4	<p>ผลของสัดส่วนโมลระหว่างมอนอเมอร์กับตัวเริ่มปฏิกิริยาที่มีต่อปริมาณผลิตภัณฑ์ และน้ำหนักโมเลกุลของพอลิไดบิวทิลอิทาโคเนต</p>	61
4.5	<p>ผลของตัวเริ่มปฏิกิริยาแบบแมคโครและเวลาที่มีต่อปริมาณผลิตภัณฑ์และน้ำหนัก โมเลกุลของผลิตภัณฑ์จากปฏิกิริยาการเกิดพอลิเมอร์ร่วมก่อนการทำบริสุทธิ์</p>	66
4.6	<p>ผลของตัวเริ่มปฏิกิริยาแบบแมคโครและเวลาที่มีต่อปริมาณผลิตภัณฑ์และน้ำหนัก โมเลกุลของผลิตภัณฑ์จากปฏิกิริยาการเกิดพอลิเมอร์ร่วมหลังการทำบริสุทธิ์</p>	67
4.7	<p>ผลของตัวเริ่มปฏิกิริยาแบบแมคโครพอลิสไตรีนและเวลาที่มีต่อปริมาณผลิตภัณฑ์ และน้ำหนักโมเลกุลของผลิตภัณฑ์จากปฏิกิริยาการเกิดพอลิเมอร์ร่วมก่อนทำบริสุทธิ์</p>	69

รายการรูปประกอบ

รูป		หน้า
1.1	สารผลิตภัณฑ์ที่ได้มาจากกระบวนการหมักของกลูโคส	1
1.2	ปฏิกิริยาเอสเทอร์ฟิเคชันของกรดอิทาโคนิก	2
1.3	โครงสร้างเคมีของไดเมธิลอิทาโคเนต (ก) , และเมซิลเมธาคริเลต (ข)	3
1.4	โครงสร้างเทอร์โมพลาสติกอิลาสโตเมอร์ที่เตรียมได้จากพอลิเมอร์ร่วมแบบบล็อกของสไตรีนกับบิวตะไดอิน	4
2.1	การจัดเรียงตัวของส่วนที่แข็งในโครงสร้างเทอร์โมพลาสติกอิลาสโตเมอร์	11
2.2	โครงสร้างโมเลกุลของเทอร์โมพลาสติกอิลาสโตเมอร์ในกลุ่มของพอลิสไตรีน	13
2.3	ค่าการเสีรูปลดการดึงยึดของอิลาสโตเมอร์ เทอร์โมพลาสติกและเทอร์โมพลาสติกอิลาสโตเมอร์	15
2.4	ความสัมพันธ์ระหว่างอุณหภูมิกับพฤติกรรมทางความร้อนและค่าโมดูลัสยืดหยุ่นของเทอร์โมพลาสติกอิลาสโตเมอร์	16
2.5	กลไกการเกิดปฏิกิริยาการเกิดพอลิเมอร์แบบแอนไอออน	17
2.6	กลไกปฏิกิริยาการเกิดพอลิเมอร์ร่วมระหว่างพอลิสไตรีนและพอลิไอโซพรีน โดยผ่านปฏิกิริยาการเกิดพอลิเมอร์แบบแอนไอออน	18
2.7	ปฏิกิริยาการสังเคราะห์พอลิเมอร์ร่วมแบบบล็อกจากเมซิลสไตรีนและไอโซบิวทิลีน	20
2.8	การเกิดพอลิเมอร์โดยผ่านกลไกการใช้สารไนโตรออกไซด์เป็นตัวกลาง	21
2.9	ปฏิกิริยาการเกิดพอลิเมอร์ร่วมแบบบล็อกโดยผ่านกลไกแบบ NMP	22
2.10	โครงสร้าง capping agent ที่ใช้ในระบบการสังเคราะห์แบบ NMP	23
2.11	กลไกการเกิดปฏิกิริยาของการเกิดพอลิเมอร์แบบ ATRP	23
2.12	โครงสร้างตัวเริ่มปฏิกิริยาชนิดต่างๆ ที่ใช้ในระบบการสังเคราะห์แบบ ATRP	24
2.13	โครงสร้างลิแกนด์ชนิดต่างๆ ที่ใช้ในระบบการสังเคราะห์แบบ ATRP	24
2.14	กลไกปฏิกิริยาการเกิดพอลิเมอร์ร่วมแบบบล็อกจากบิวทิลอะคริเลตกับเมซิลเมธาคริเลตแบบ ATRP	26
2.15	อิทธิพลของอุณหภูมิที่มีผลต่ออัตราการเกิดปฏิกิริยาพอลิเมอร์แบบ ATRP ของพอลิเฮกซะเดคิลอะคริเลต	27

รูป (ต่อ)	หน้า
2.16 อิทธิพลความเข้มข้นของมอนอเมอร์ที่มีผลต่ออัตราการเกิดปฏิกิริยา การเกิดพอลิเมอร์แบบ ATRP ของพอลิเมธิลเมธาคริเลต	28
2.17 อิทธิพลความเข้มข้นของมอนอเมอร์ที่มีผลต่อน้ำหนักโมเลกุลของ พอลิเมธิลเมธาคริเลตในปฏิกิริยาการเกิดพอลิเมอร์แบบ ATRP	28
2.18 ความเข้มข้นของตัวเริ่มปฏิกิริยาที่มีผลต่ออัตราการเกิดปฏิกิริยาของ พอลิเฮกซะเศคิลอะคริเลตในปฏิกิริยาการเกิดพอลิเมอร์แบบ ATRP	29
2.19 ความเข้มข้นของตัวเริ่มปฏิกิริยาที่มีผลต่อน้ำหนักโมเลกุลของ พอลิเฮกซะเศคิลอะคริเลตในปฏิกิริยาการเกิดพอลิเมอร์แบบ ATRP	30
2.20 กลไกปฏิกิริยาการเกิดพอลิเมอร์แบบ reverse ATRP	32
2.21 กลไกการเกิดพอลิเมอร์แบบ ARGET-ATRP	32
2.22 การเปลี่ยนคอปเปอร์ (II) (Cu^{II}) ให้กลับมาเป็นคอปเปอร์ (I) (Cu^I) ของ สารรีดิวซ์ที่เกิดขึ้นในระบบ ARGET-ATRP	33
2.23 โครงสร้างเคมีของอินิเฟอริเตอร์บางชนิด	33
2.24 ปฏิกิริยาการเกิดพอลิเมอร์ร่วมแบบบล็อกโดยใช้สารอินิเฟอริเตอร์	34
2.25 ชนิด capping agent ในระบบการเกิดพอลิเมอร์แบบ RAFT	35
2.26 กลไกการเกิดพอลิเมอร์แบบ RAFT	36
3.1 อุปกรณ์ในการรีฟลักซ์ (ก), และกลั่นตัวทำละลาย (ข)	40
3.2 คอปเปอร์โบรไมด์ก่อนทำให้บริสุทธิ์ (ก), และหลังทำให้บริสุทธิ์ (ข)	41
3.3 ขั้นตอนการสังเคราะห์โซโม่พอลิเมอร์และพอลิเมอร์ร่วมแบบบล็อกโดยเตรียม คอปเปอร์โบรไมด์ในชุดปฏิกิริยาภายใต้บรรยากาศไนโตรเจน (ก), ฟันแก๊ส ไนโตรเจนลงไปนสารละลายผสมระหว่างมอนอเมอร์, ตัวเริ่มปฏิกิริยา, ลิแกนด์และ ตัวทำละลาย (ข), เติมสารผสมระหว่างคอปเปอร์โบรไมด์กับสารละลายผสมในภาพ ข ลงในปฏิกิริยา (ค), กรองแยกสารประกอบเชิงซ้อนคอปเปอร์โบรไมด์ออกจากสาร ผลิตภัณฑ์หลังการสิ้นสุดปฏิกิริยา (ง), กลั่นแยกตัวทำละลายออกจากสารผลิตภัณฑ์ (จ), ตกตะกอนสารผลิตภัณฑ์ (ฉ)	44

รูป (ต่อ)	หน้า
3.4 การเตรียมสารตัวอย่าง (ก), หลอดเอ็นเอ็มอาร์ (ข), และเครื่องนิวเคลียร์แมกเนติกเรโซแนนซ์สเปกโตรสโกปี (ค)	45
3.5 การกรองสารละลายตัวอย่างเข้าสู่ขวดทดสอบ (ก), กระจบอกรีดยาและตัวกรอง (ข), และเครื่องทดสอบเจลเพอร์มีเอชันโครมาโตกราฟี (ค)	47
3.6 เครื่องทดสอบสมบัติทางความร้อนดิฟเฟอเรนเชียลสแกนนิ่งแคลอริมิเตอร์	47
4.1 สเปกตรัม $^1\text{H-NMR}$ ของไดเมซิลอิตาโคเนต	50
4.2 สเปกตรัม $^1\text{H-NMR}$ ของไดเมซิลอิตาโคเนตเกรดทางการค้า	51
4.3 สเปกตรัม $^1\text{H-NMR}$ ของไดเฮกซิลอิตาโคเนต	52
4.4 ปริมาณผลิตภัณฑ์ของไดเมซิลอิตาโคเนตที่เวลาต่างๆ (6, 12, 18, 20 ชั่วโมง)	53
4.5 สเปกตรัม $^1\text{H-NMR}$ ของพอลิไดเมซิลอิตาโคเนต	54
4.6 โครงสร้างพอลิไดเมซิลอิตาโคเนตที่เกิดปฏิกิริยาการโยกย้ายสายโซ่	55
4.7 สเปกตรัม $^1\text{H-NMR}$ ของพอลิไดบิวทิลอิตาโคเนต	56
4.8 DSC เทอร์โมแกรมของพอลิไดเมซิลอิตาโคเนต	57
4.9 DSC เทอร์โมแกรมของพอลิไดบิวทิลอิตาโคเนต	57
4.10 สารละลายของสารผลิตภัณฑ์จากการสังเคราะห์พอลิไดเมซิลอิตาโคเนต (ก), และพอลิไดบิวทิลอิตาโคเนต (ข), จากปฏิกิริยาการเกิดพอลิเมอร์แบบ reverse ATRP	62
4.11 สเปกตรัม $^1\text{H-NMR}$ ของผลิตภัณฑ์ที่ได้จากการปฏิกิริยาการเกิดพอลิเมอร์ร่วม	63
4.12 DSC เทอร์โมแกรมของสารผลิตภัณฑ์จากปฏิกิริยาการเกิดพอลิเมอร์ร่วม	64
ก.1 GPC โครมาโทแกรมของพอลิไดเมซิลอิตาโคเนตจากการสังเคราะห์ที่อุณหภูมิ 90 องศาเซลเซียส 24 ชั่วโมง ในตัวทำละลายเตตระไฮโดรฟูแรน (น้ำหนักโมเลกุล (M_n) 8,125 กรัม/โมล เกิดปฏิกิริยาแบบ Self-Polymerization)	80
ก.2 GPC โครมาโทแกรมของพอลิไดเมซิลอิตาโคเนต (ปริมาณคอปเปอร์โบรไมด์ 0.1549 กรัม ตัวเริ่มปฏิกิริยา 0.2500 กรัม อุณหภูมิ 90 องศาเซลเซียส 24 ชั่วโมง)	80
ก.3 GPC โครมาโทแกรมของพอลิไดเมซิลอิตาโคเนต (ปริมาณคอปเปอร์โบรไมด์ 0.2066 กรัม ตัวเริ่มปฏิกิริยา 0.2500 กรัม อุณหภูมิ 90 องศาเซลเซียส 24 ชั่วโมง)	81
ก.4 GPC โครมาโทแกรมของพอลิไดเมซิลอิตาโคเนต (ตัวเริ่มปฏิกิริยา 0.06228 กรัม ปริมาณคอปเปอร์โบรไมด์ 0.0516 กรัม อุณหภูมิ 90 องศาเซลเซียส 24 ชั่วโมง)	81

รูป (ต่อ)	หน้า
ก.5 GPC โครมาโทแกรมของพอลิไดเมซิลอทาโคเนต (สารเริ่มปฏิกิริยา 0.1246 กรัม ปริมาณคอปเปอร์โบรไมด์ 0.0516 กรัม อุณหภูมิ 90 องศาเซลเซียส 24 ชั่วโมง)	82
ก.6 GPC โครมาโทแกรมของพอลิไดบิวทิลอทาโคเนต (ปริมาณคอปเปอร์โบรไมด์ 0.1176 กรัม ตัวเริ่มปฏิกิริยา 0.2837 กรัม อุณหภูมิ 60 องศาเซลเซียส 24 ชั่วโมง)	82
ก.7 GPC โครมาโทแกรมของพอลิไดบิวทิลอทาโคเนต (ปริมาณคอปเปอร์โบรไมด์ 0.1764 กรัม ตัวเริ่มปฏิกิริยา 0.2837 กรัม อุณหภูมิ 60 องศาเซลเซียส 24 ชั่วโมง)	83
ก.8 GPC โครมาโทแกรมของพอลิไดบิวทิลอทาโคเนต (ปริมาณคอปเปอร์โบรไมด์ 0.2352 กรัม ตัวเริ่มปฏิกิริยา 0.2837 กรัม อุณหภูมิ 60 องศาเซลเซียส 24 ชั่วโมง)	83
ก.9 GPC โครมาโทแกรมของพอลิไดบิวทิลอทาโคเนต (ปริมาณคอปเปอร์โบรไมด์ 0.2940 กรัม ตัวเริ่มปฏิกิริยา 0.2837 กรัม อุณหภูมิ 60 องศาเซลเซียส 24 ชั่วโมง)	84
ก.10 GPC โครมาโทแกรมของพอลิไดบิวทิลอทาโคเนต (ตัวเริ่มปฏิกิริยา 0.1418 กรัม ปริมาณคอปเปอร์โบรไมด์ 0.2352 กรัม อุณหภูมิ 60 องศาเซลเซียส 24 ชั่วโมง)	84
ก.11 GPC โครมาโทแกรมของพอลิไดบิวทิลอทาโคเนต (ตัวเริ่มปฏิกิริยา 0.2837 กรัม ปริมาณคอปเปอร์โบรไมด์ 0.2352 กรัม อุณหภูมิ 60 องศาเซลเซียส 24 ชั่วโมง)	85
ก.12 GPC โครมาโทแกรมของพอลิไดบิวทิลอทาโคเนต (ตัวเริ่มปฏิกิริยา 0.4255 กรัม ปริมาณคอปเปอร์โบรไมด์ 0.2352 กรัม อุณหภูมิ 60 องศาเซลเซียส 24 ชั่วโมง)	85
ก.13 GPC โครมาโทแกรมของพอลิไดบิวทิลอทาโคเนต (ตัวเริ่มปฏิกิริยา 0.2352 กรัม ปริมาณคอปเปอร์โบรไมด์ 0.5674 กรัม อุณหภูมิ 60 องศาเซลเซียส 24 ชั่วโมง)	86
ก.14 GPC โครมาโทแกรมของผลิตภัณฑ์ที่ได้จากการสังเคราะห์พอลิเมอร์ร่วม (สัดส่วนโมลของมอนอเมอร์กับตัวเริ่มปฏิกิริยา 100/0.5 ปริมาณคอปเปอร์โบรไมด์ 0.0258 กรัม อุณหภูมิ 90 องศาเซลเซียส 24 ชั่วโมง)	86
ก.15 GPC โครมาโทแกรมของผลิตภัณฑ์ที่ได้จากการสังเคราะห์พอลิเมอร์ร่วม (สัดส่วนโมลของมอนอเมอร์กับตัวเริ่มปฏิกิริยา 100/2 ปริมาณคอปเปอร์โบรไมด์ 0.0258 กรัม อุณหภูมิ 90 องศาเซลเซียส 24 ชั่วโมง)	87
ก.16 GPC โครมาโทแกรมของผลิตภัณฑ์ที่ได้จากการสังเคราะห์พอลิเมอร์ร่วม (สัดส่วนโมลของมอนอเมอร์กับตัวเริ่มปฏิกิริยา 100/1 ปริมาณคอปเปอร์โบรไมด์ 0.0258 กรัม อุณหภูมิ 90 องศาเซลเซียส 24 ชั่วโมง)	87

รูป (ต่อ)

หน้า

- ก.17 GPC โครมาโทแกรมของผลิตภัณฑ์ที่ได้จากการสังเคราะห์พอลิเมอร์ร่วม
(สัดส่วนโมลของมอนอเมอร์กับตัวเริ่มปฏิกิริยา 100/1 ปริมาณคอปเปอร์โบรไมด์
0.0258 กรัม อุณหภูมิ 60 องศาเซลเซียส 24 ชั่วโมง)

88

รายการสัญลักษณ์

PLA	=	พอลิแลคติกแอซิด
PBS	=	พอลิบิวทีลีนซัคซิเนต
ROH	=	อัลคิลแอลกอฮอล์
T_g	=	อุณหภูมิในการเปลี่ยนสถานะคล้ายแก้ว
$^{\circ}\text{C}$	=	องศาเซลเซียส
$(\text{J}/\text{cm}^3)^{1/2}$	=	หน่วยของค่าความสามารถในการละลาย
ATRP	=	การเกิดพอลิเมอร์แบบอะตอมทรานส์เฟอร์เรดิคัลพอลิเมอไรเซชัน
M_n	=	ค่าเฉลี่ยน้ำหนักโมเลกุลโดยจำนวน
M_w	=	ค่าเฉลี่ยน้ำหนักโมเลกุลโดยน้ำหนัก
MPa	=	เมกะปาสคาล
m-DIB	=	เมตาไดไอโซโพรพิลเบนซีน
t-BuLi	=	บิวทิลลิเทียม
DMI	=	ไดเมทิลอิทาโคเนต
PDMI	=	พอลิไดเมทิลอิทาโคเนต
DBI	=	ไดบิวทิลอิทาโคเนต
PDBI	=	พอลิไดบิวทิลอิทาโคเนต
CuBr	=	คอปเปอร์ (I) บ्रोไมด์
CuCl	=	คอปเปอร์ (I) คลอไรด์
PMDETA	=	เพนตะเมทิลไดเอทิลีนไตรเอมีน
DMDBHD	=	ไดเมทิล-2,6-ไดโบรโมเฮปแทนไดโอด
$^1\text{H-NMR}$	=	เทคนิคโปรตอนนิวเคลียร์แมกเนติกเรโซแนนซ์สเปกโทรสโกปี
GPC	=	เทคนิคเจลเพอร์มีเอชันโครมาโตกราฟี
DSC	=	เทคนิคดิฟเฟอเรนเชียลสแกนนิ่งแคลอริเมทรี
ppm	=	1 ส่วนใน 1 ล้านส่วน
TPE	=	เทอร์โมพลาสติกอีลาสโตเมอร์
TPV	=	เทอร์โมพลาสติกวัลคาไนเซต

รายการสัญลักษณ์ (ต่อ)

TPU	=	เทอร์โมพลาสติกพอลิยูรีเทน
SIS	=	สไตรีน-ไอโซพรีน-สไตรีนบล็อกโคพอลิเมอร์
SBS	=	สไตรีน-บิวตะไดอีน-สไตรีนบล็อกโคพอลิเมอร์
SEBS	=	สไตรีน-เอทิลีน-บิวตะไดอีน-สไตรีนบล็อกโคพอลิเมอร์
g/mol	=	กรัมต่อโมล
psi	=	หน่วยความดัน ย่อมาจาก ปอนด์ต่อตารางนิ้ว
EPR	=	ยางเอทิลีน โพรพิลีน
KNH ₂	=	โพแทสเซียมเอไมด์
PMMA	=	พอลิเมทิลเมทาคริเลต
CFRP	=	ปฏิกิริยาการเกิดพอลิเมอร์แบบอนุมูลอิสระที่ถูกควบคุม
NMP	=	ปฏิกิริยาการเกิดพอลิเมอร์โดยผ่านการใส่สารไนโตรอกไซด์เป็นตัวกลาง
TEMPO	=	2,2,6,6-เตตระเมทิล-1-ไพเพอริดีนออกซิล
TIPNO	=	เทอร์เชียรีบิวทิลไอโซโพรพิลฟีนิลไนโตรอก
DEPN	=	นอร์มอลเทอร์เชียรีบิวทิล-นอร์มอล(1-ไดเอทิลฟอสโฟโน-2,2-ไดเมทิลโพรพิล)ไนโตรอกไซด์
TEMPO-TMS	=	TEMPO-ทรานส์-2,6-ไดเอทิล-2,6-บิส(1-ไตรเมทิลซิลานอกซีเอทิล)-1-(1-ฟีนิลเอทอกซี)ไพเพอริดีน-นอร์มอล-อ็อกซี
TMEDA	=	เตตระเมทิลเอทิลีนไดเอมีน
Me ₆ TREN	=	ทริส[(2-ไดเมทิล-อะมิโน)เอทิล]เอมีน
PHDA	=	พอลิเฮกซะเคคิลอะคริเลต
EBP	=	เอทิล-2-โบรโมโพรพรีโอเนต
M	=	หน่วยความเข้มข้น โมลต่อลิตร
PDI	=	ค่าการกระจายตัวของน้ำหนักโมเลกุล
CuBr ₂	=	คอปเปอร์ (II) โบรไมด์
AIBN	=	อะโซบิสไอโซบิวทิลไนไตรล์

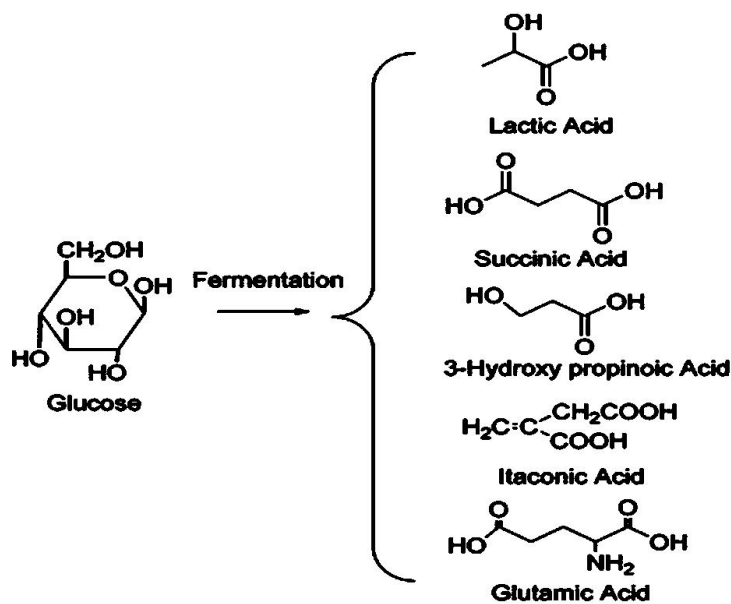
รายการสัญลักษณ์ (ต่อ)

CuCl_2	=	คอปเปอร์ (II) คลอไรด์
ARGET-ATRP	=	ปฏิกิริยาการเกิดพอลิเมอร์แบบ ARGET-ATRP
$\text{Sn}(\text{EH})_2$	=	ทิน (II) -2-เอทิลเฮกซะโนเอท
N_2H_4	=	ไฮดราซีน
$\text{C}_6\text{H}_8\text{N}_2$	=	ฟีนิลไฮดราซีน
TD	=	เตตระเอทิลไทยูแรมไดซัลไฟด์
BDC	=	เบนซิลไดเอทิลไดไซโอคาร์บาเมต
XDC	=	ไซลีนิลบิสไดเอทิลไดไซโอคาร์บาเมต
RAFT	=	ปฏิกิริยาการสังเคราะห์พอลิเมอร์แบบ RAFT
β	=	เบต้า
MHz	=	เมกะเฮิรต์

บทที่ 1 บทนำ

1.1 ความสำคัญและที่มาของงานวิจัย

เป็นที่ทราบกันดีว่าพลาสติกสังเคราะห์ส่วนใหญ่เป็นวัสดุที่ผลิตจากมอนอเมอร์ที่ได้มาจากปิโตรเลียมและปิโตรเคมี ซึ่งจากภาวะการขาดแคลนน้ำมันและปัญหาโลกร้อนในปัจจุบัน จึงทำให้เกิดกระแสความสนใจในการสังเคราะห์พลาสติกโดยใช้สารเคมีที่ได้จากชีวมวล เช่น กรดแลคติก กรดซัคซินิก และกรดกลูตามิก เป็นต้น โดยมีโครงสร้างเคมีแสดงดังรูปที่ 1.1 [1]



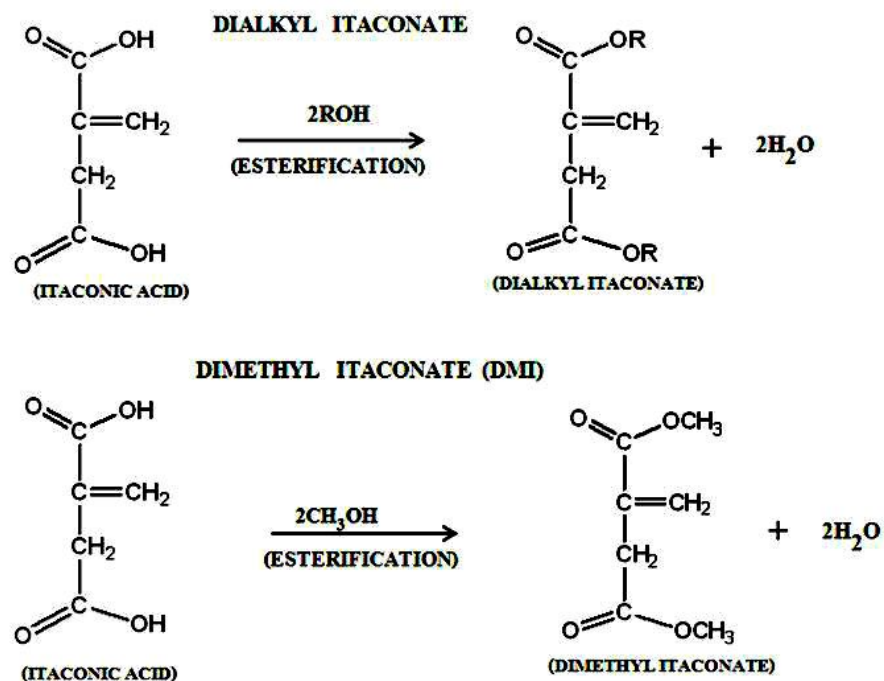
รูปที่ 1.1 สารผลิตภัณฑ์ที่ได้มาจากการหมักของกลูโคส [1]

กรดแลคติกเป็นสารที่ได้จากการหมักผลผลิตทางการเกษตรที่มีแป้งและน้ำตาลเป็นองค์ประกอบหลัก เช่น ข้าวโพด ข้าวสาลี มันสำปะหลัง เป็นต้น ซึ่งเมื่อนำสารดังกล่าวไปสังเคราะห์เป็นพอลิเมอร์ผ่านปฏิกิริยาการสังเคราะห์พอลิเมอร์แบบเปิดวง [2] และ/หรือแบบควบแน่น [3] จะได้พอลิแลคติกแอซิด [PLA] ซึ่งมีศักยภาพในการทดแทนพลาสติกเชิงพาณิชย์ เช่น พอลิโพรพิลีน พอลิเอทิลีนเทเรฟทาเลตได้ เนื่องจากมีสมบัติทางกลที่ใกล้เคียงกัน และยังสามารถปรับปรุงได้โดยการผสมกับสารเสริมแรงต่างๆ เช่น นาโนเคลย์ เส้นใยเรยอน เส้นใยคันทาปอ เป็นต้น [4] ข้อดีอีกประการหนึ่งของ PLA คือสามารถผ่านการขึ้นรูปได้โดยกระบวนการแบบเทอร์โมพลาสติกทั่วไป เช่น กระบวนการการอัดรีด กระบวนการฉีด เป็นต้น นอกจากนี้ PLA ยังมีความใส มีสมบัติขวางกันดี เข้ากับเนื้อเยื่อของสิ่งมีชีวิต

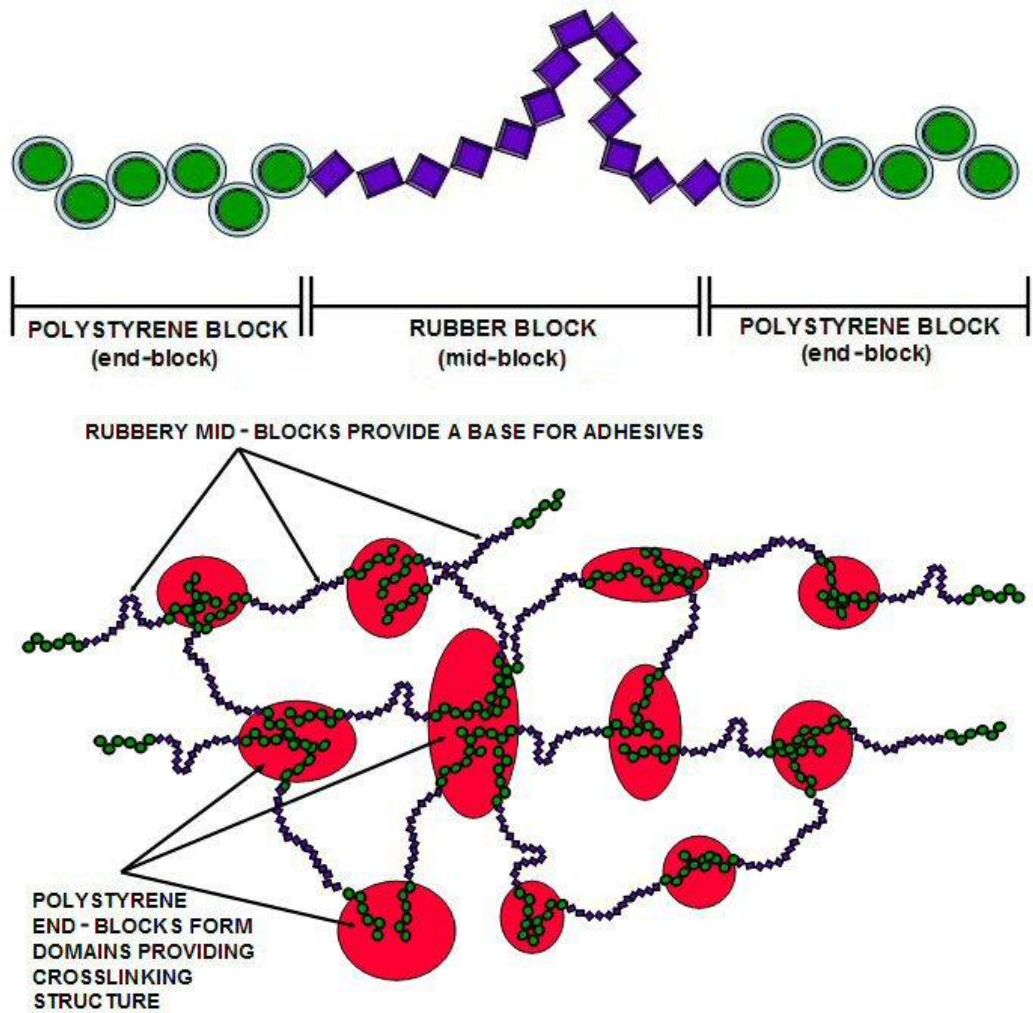
ได้ดีและไม่เป็นพิษ [5] จึงทำให้มีการนำไปใช้ในงานต่างๆ เช่น บรรจุภัณฑ์ที่สามารถย่อยสลายได้ (ถ้วยกาแฟ งาน กล่องบรรจุผักผลไม้) ฟิล์ม ขวดพลาสติก เป็นต้น [6]

ในทำนองเดียวกันพอลิบิวทีลีนซัคซิเนต (PBS) เป็นพอลิเอสเตอร์ที่สังเคราะห์จากกรดซัคซินิกและ 1,4-บิวเทนไดออล ซึ่งมอนอเมอร์ทั้งสองชนิดอาจจะได้มาจากทั้งผลิตภัณฑ์ทางปิโตรเคมีและ/หรือ จากวัตถุดิบธรรมชาติโดยผ่านกระบวนการหมักแป้งและน้ำตาลได้เป็นกรดซัคซินิก [1] โดยที่พอลิบิวทีลีนซัคซิเนตมีสมบัติเด่นด้านความสามารถในการผ่านกระบวนการขึ้นรูปเป็นฟิล์ม และการย่อยสลายได้ทางชีวภาพ [7]

กรดอิตาโคนิกเป็นสารเคมีจากชีวมวลอีกชนิดหนึ่งที่ได้มาจากกระบวนการหมักของแป้งหรือ ลิกโนเซลลูโลส ซึ่งเมื่อนำกรดดังกล่าวเข้าสู่ปฏิกิริยาเอสเตอร์ฟิเคชันจะได้ไดอัลคิลอิตาโคนเนต ชนิดต่างๆ ที่มีความหลากหลายทางโครงสร้าง (ขึ้นอยู่กับหมู่แอลคิลหรือชนิดของแอลกอฮอล์ที่ใช้ทำปฏิกิริยา) เช่น ไดเมทิลอิตาโคนเนต ไดเอทิลอิตาโคนเนต ไดโพรพิลอิตาโคนเนต และไดบิวทิลอิตาโคนเนต เป็นต้น โดยมีปฏิกิริยาการเตรียมเอสเตอร์ดังแสดงในรูปที่ 1.2



รูปที่ 1.2 ปฏิกิริยาเอสเตอร์ฟิเคชันของกรดอิตาโคนิก [8]



รูปที่ 1.4 โครงสร้างเทอร์โมพลาสติกอิลาสโตเมอร์ที่เตรียมได้จากพอลิเมอร์ร่วมแบบไตรบล็อกของ สไตรีนกับบิวตะไดอิน [10]

ตารางที่ 1.1 อุณหภูมิในการเปลี่ยนสถานะคล้ายแก้ว (T_g) และค่าความสามารถการละลายของ
พอลิไดอัลคิลอิทาโคเนตชนิดต่างๆ [8]

ชนิดพอลิเมอร์	ชื่อย่อ	อุณหภูมิในการเปลี่ยน สถานะคล้ายแก้ว ($^{\circ}\text{C}$)	ค่าการละลาย (J/cm^3) ^{1/2}
พอลิไดเมธิลอิทาโคเนต	PDMI	95	19.6
พอลิไดเอทิลอิทาโคเนต	PDEI	58	18.5
พอลิไดโพรพิลอิทาโคเนต	PDPI	34	18.3
พอลิไดบิวทิลอิทาโคเนต	PDBI	12	18.2
พอลิไดเอมิลอิทาโคเนต	PDAl	5	17.7
พอลิไดเฮกซิลอิทาโคเนต	PDHxI	-18	17.3
พอลิไดเฮปทิลอิทาโคเนต	PDHpI	-85	16.9
พอลิไดออกทิลอิทาโคเนต	PDOI	-82	16.8
พอลิไดโนนิลอิทาโคเนต	PDNI	-76	16.7
พอลิไดเดคคิลอิทาโคเนต	PDDI	-63	16.6
พอลิไดโดเดคคิลอิทาโคเนต	PDDdI	-48	-

ซึ่งด้วยเงื่อนไขขององค์ประกอบในพอลิเมอร์ร่วมที่เหมาะสม จะทำให้ผลิตภัณฑ์พอลิเมอร์ที่ได้มีลักษณะเป็นเทอร์โมพลาสติกอิลาสโตเมอร์ โดยเฉพาะอย่างยิ่งพอลิเมอร์ร่วมแบบบล็อกที่มีบล็อกกลางเป็นพอลิเมอร์ที่มีค่า T_g ต่ำกว่าอุณหภูมิห้อง (ส่วนที่อ่อนนิ่ม) และบล็อกด้านนอกเป็นพอลิเมอร์ที่มีค่า T_g สูงกว่าอุณหภูมิห้อง (ส่วนที่แข็ง) นอกจากนั้นสัดส่วนของบล็อกที่อ่อนนิ่มควรจะมากกว่าบล็อกส่วนที่แข็ง [11] เพื่อให้วัสดุดังกล่าวแสดงพฤติกรรมคล้ายยางหรืออิลาสโตเมอร์ที่อุณหภูมิห้องด้วยเหตุผลต่างๆ ข้างต้นในงานวิจัยนี้จึงสนใจที่จะศึกษาความเป็นไปได้ในการเตรียมพอลิเมอร์ร่วมแบบบล็อกจากมอนอเมอร์ในตระกูลไดอัลคิลอิทาโคเนต เพื่อพัฒนาเป็นวัสดุประเภทเทอร์โมพลาสติกอิลาสโตเมอร์ต่อไป

1.2 ปัญหาในการทำวิจัย

โดยทั่วไปแล้วในสังเคราะห์พอลิเมอร์ร่วมแบบบล็อกจากมอนอเมอร์ในตระกูลไวนิลสามารถทำได้ โดยผ่านกลไกชนิดต่างๆ เช่น ปฏิิกิริยาการเกิดพอลิเมอร์แบบแคทไอออน [12] ปฏิิกิริยาการเกิดพอลิเมอร์แบบแอนไอออน [13] ปฏิิกิริยาการเกิดพอลิเมอร์โดยผ่านการใส่สารในทรอกไซด์เป็นตัวกลาง [14] ปฏิิกิริยาการเกิดพอลิเมอร์โดยใช้สารอินิเฟอโรเตอร์ [15] เป็นต้น และปฏิิกิริยาการเกิดพอลิเมอร์แบบปฏิิกิริยาอะตอมทรานส์เฟอร์เรดิคอลพอลิเมไรเซชัน (ATRP) โดยเฉพาะอย่างยิ่งปฏิิกิริยาแบบ ATRP เป็นเทคนิคที่น่าสนใจเนื่องจากให้ผลในด้านของการควบคุมโครงสร้างพอลิเมอร์ได้ดี [16] และมีเงื่อนไขหรือสถานะในการทำปฏิิกิริยาไม่ยุ่งยากเกินไปนักเมื่อเทียบกับการสังเคราะห์ด้วยกลไกแบบอื่น เช่น กลไกการเกิดพอลิเมอร์แบบแอนไอออน ซึ่งต้องสังเคราะห์ที่อุณหภูมิต่ำ (-78 องศาเซลเซียส) และเป็นระบบที่ต้องมีการควบคุมให้มีความบริสุทธิ์สูง [17] ทั้งนี้ทั้งนั้น โครงสร้างและน้ำหนักโมเลกุล รวมทั้งปริมาณผลิตภัณฑ์ของพอลิไดอัลคิลอทาโคเนตที่ผ่านปฏิิกิริยาการเกิดพอลิเมอร์แบบ ATRP จะขึ้นอยู่กับสถานะและตัวแปรในการสังเคราะห์ ดังนั้นจึงต้องมีการศึกษาอย่างละเอียดและเป็นระบบ

1.3 งานวิจัยที่เกี่ยวข้อง

Polpovic และคณะ [8] ศึกษาสมบัติทางความร้อนของพอลิเมอร์ในตระกูลไดอัลคิลอทาโคเนตพบว่า มีค่าอุณหภูมิในการเปลี่ยนสถานะคล้ายแก้ว (T_g) อยู่ในช่วง 85 ถึง 95 องศาเซลเซียส ซึ่งขึ้นอยู่กับชนิดของหมู่อัลคิลที่ตำแหน่งของหมู่เอสเตอร์ โดยหมู่อัลคิลที่มีขนาดใหญ่จะทำให้ค่า T_g มีแนวโน้มลดลง เนื่องจากความเกะกะของโมเลกุลเพิ่มขึ้น และเป็นที่น่าสนใจว่าพอลิไดเมธิลอทาโคเนตมีค่า T_g (95 องศาเซลเซียส) ซึ่งใกล้เคียงกับพอลิเมธิลเมธาคริเลต (100 ถึง 108 องศาเซลเซียส) ซึ่งจากความหลากหลายของค่าอุณหภูมิในการเปลี่ยนสถานะคล้ายแก้วของพอลิเมอร์ในตระกูลพอลิไดอัลคิลอทาโคเนต งานวิจัยนี้จึงมีแนวคิดที่จะพัฒนาวัสดุเทอร์โมพลาสติกอีลาสโตเมอร์โดยการสังเคราะห์พอลิเมอร์ร่วมแบบบล็อกจากมอนอเมอร์ในตระกูลดังกล่าว ดังงานวิจัยของ Yu และคณะ [18] ซึ่งได้ทำการเตรียมพอลิเมอร์ร่วมแบบบล็อกจากเมธิลเมธาคริเลตและบิวตะไดอิน โดยปฏิิกิริยาการเกิดพอลิเมอร์แบบแอนไอออน โดยใช้เมตาไดไอโซโพรพิลิลเบนซีน/เทอร์เทียรีบิวทิลลิเทียม (m-DIB/t-BuLi) เป็นตัวเริ่มปฏิิกิริยา จากการศึกษาพบว่าพอลิเมอร์ร่วมแบบบล็อกที่เตรียมได้นั้น มีค่าการทนต่อแรงดึงสูง (4.2 MPa ที่ 25 องศาเซลเซียส และ 1.5 MPa ที่ 90 องศาเซลเซียส) แต่มีข้อจำกัดตรงที่จะมีความต้านทานต่อความร้อนและปฏิิกิริยาออกซิเดชันต่ำเนื่องจากการมีพันธะคู่ในโครงสร้าง ด้วยข้อจำกัดของวัสดุเทอร์โมพลาสติกอีลาสโตเมอร์ดังกล่าวนำไปสู่งานวิจัยของ Tong และคณะ [19] ที่ทำการศึกษาพื้นฐานวิทยาและสมบัติเชิงกลของเทอร์โมพลาสติกอีลาสโตเมอร์ที่ได้จากการสังเคราะห์พอลิเมอร์ร่วมแบบบล็อกจากเมธิลอะคริเลตและเทอร์เทียรี

บิวทิลอะครีเลต ผ่านปฏิกิริยาการเกิดพอลิเมอร์แบบแอนไอออน พบว่าพอลิเมอร์ร่วมแบบบล็อกที่แสดงสมบัติเป็นเทอร์โมพลาสติกอีลาสโตเมอร์จะต้องประกอบด้วยเทอร์เชียรีบิวทิลอะครีเลตที่มีน้ำหนักโมเลกุลอยู่ในช่วงระหว่าง 50,000 ถึง 200,000 ส่วนเมธิลอะครีเลตซึ่งทำหน้าที่เป็นตัวเชื่อมขวางในโครงสร้างควรมีน้ำหนักโมเลกุลอยู่ในช่วงระหว่าง 10,000 ถึง 50,000 พอลิเมอร์ทั้ง 2 บล็อกในโครงสร้างโมเลกุลควรมีความสามารถในการผสมเข้ากันได้ ซึ่งจะทำให้ได้พอลิเมอร์ร่วมแบบไตรบล็อกมีสมบัติเชิงกลที่ดี เช่น มีความเหนียวมากขึ้นและสามารถนำไปประยุกต์ใช้งานได้ในหลายด้าน เช่น สารเชื่อมประสาน กาว เรซิน เทอร์โมพลาสติกอีลาสโตเมอร์ และพลาสติกที่ทนต่อแรงกระแทกสูง เป็นต้น นอกจากปฏิกิริยาการเกิดพอลิเมอร์แบบแอนไอออนแล้ว พบว่าปฏิกิริยาการเกิดพอลิเมอร์แบบอะตอมทรานส์เฟอร์เรดิคัลพอลิเมโรไลเซชัน (ATRP) สามารถที่จะใช้เตรียมพอลิเมอร์ร่วมแบบไตรบล็อกได้เช่นกัน ดังงานวิจัยของ Datta และคณะ [20] ที่สามารถเตรียมพอลิเมอร์ร่วมแบบไตรบล็อกจากเมธิลเมทาครีเลตกับเฮกซิลอะครีเลตผ่านปฏิกิริยาการเกิดพอลิเมอร์แบบ ATRP โดยใช้พอลิเฮกซิลอะครีเลตเป็นตัวเริ่มปฏิกิริยาแบบแมคโครและพบว่าองค์ประกอบของพอลิเมอร์ร่วมแบบไตรบล็อกที่สามารถแสดงพฤติกรรมเป็นวัสดุเทอร์โมพลาสติกอีลาสโตเมอร์ควรมีบล็อกกลางหรือพอลิเฮกซิลอะครีเลตที่มีน้ำหนักโมเลกุล (M_n) ที่อยู่ในช่วงระหว่าง 20,000 ถึง 40,000 กรัม/โมล ในขณะที่พอลิเมธิลเมทาครีเลตที่อยู่ปลายด้านนอกควรมีน้ำหนักโมเลกุลในช่วงระหว่าง 10,000 ถึง 80,000 กรัม/โมล ทั้งนี้หากพอลิเฮกซิลอะครีเลตมีน้ำหนักโมเลกุลสูงเกินไปจะส่งผลให้สมบัติเชิงกลของพอลิเมอร์ด้อยลง ในทางกลับกันปริมาณของพอลิเมธิลเมทาครีเลตในองค์ประกอบของพอลิเมอร์ร่วมไตรแบบบล็อกดังกล่าวเพิ่มขึ้นจะทำให้ความแข็งแรงเพิ่มขึ้นและค่าการดึงยืด ณ จุดขาดต่ำลง นอกจากนี้ยังพบว่า พอลิเมอร์ร่วมแบบไตรบล็อกที่เตรียมได้นั้น สามารถต้านทานต่อการเกิดปฏิกิริยาออกซิเดชันดีกว่า เมื่อเทียบกับเทอร์โมพลาสติกอีลาสโตเมอร์ที่เตรียมจากอะครีเลตและบิวทอะไคอินซึ่งกรณีหลังมีพันธะคู่อยู่ในโครงสร้างจะเป็นตำแหน่งที่ไวต่อการเกิดปฏิกิริยาออกซิเดชัน [21]

Cvetkovka และคณะ [22] ได้ทำการเตรียมพอลิเมอร์ร่วมแบบไตรบล็อกโดยผ่านกลไกปฏิกิริยาการเกิดพอลิเมอร์แบบอนุมูลอิสระควบคุมได้ (Controlled radical polymerization) จากบิวทิลอิทาโคเนตและไดเมธิลซิโกลเซน ซึ่งหน่วยซ้ำของพอลิไดเมธิลซิโกลเซนจะทำหน้าที่เป็นส่วนที่ให้ความยืดหยุ่น ในขณะที่หน่วยซ้ำของพอลิไดเมธิลซิโกลเซนทำหน้าที่เป็นเฟส โดเมนหรือคล้ายจุดเชื่อมขวางในโครงสร้าง

จากการงานวิจัยที่ได้กล่าวมาข้างต้น พบว่าวัสดุเทอร์โมพลาสติกอีลาสโตเมอร์สามารถเตรียมได้โดยสังเคราะห์พอลิเมอร์ร่วมแบบไตรบล็อกจากมอนอเมอร์ชนิดต่างๆ เช่น อะครีเลต และไดอัลคิลอิทาโคเนต อย่างไรก็ตามสมบัติความเป็นเทอร์โมพลาสติกอีลาสโตเมอร์นั้นจะขึ้นอยู่กับโครงสร้างและองค์ประกอบของพอลิเมอร์ร่วมแบบไตรบล็อก ซึ่งขึ้นอยู่กับสภาวะและตัวแปรในการ

สังเคราะห์ ทั้งนี้ผลของปัจจัยดังกล่าวต่อโครงสร้างของพอลิไดอัลคิลอิทาโคเนตที่ได้จากการสังเคราะห์โดยปฏิกิริยา ATRP ยังไม่เป็นที่ทราบและเข้าใจแน่ชัด จึงเป็นที่มาของงานวิจัยในครั้งนี้

1.4 วัตถุประสงค์

1. เพื่อศึกษาความสัมพันธ์ระหว่างสภาวะและตัวแปรในการสังเคราะห์กับโครงสร้างและ สมบัติของพอลิไดอัลคิลอิทาโคเนตที่ได้จากปฏิกิริยาการเกิดพอลิเมอร์แบบอะตอมทรานส์เฟอร์เรดิคัลพอลิเมอไรเซชัน
2. เพื่อศึกษาความเป็นไปได้ในการเตรียมพอลิเมอร์ร่วมแบบไตรบล็อกจากมอนอเมอร์ในตระกูลไดอัลคิลอิทาโคเนตโดยผ่านปฏิกิริยาการเกิดพอลิเมอร์แบบอะตอมทรานส์เฟอร์เรดิคัลพอลิเมอไรเซชัน

1.5 ขอบเขตของการดำเนินงานวิจัย

1. ศึกษาปฏิกิริยาการสังเคราะห์มอนอเมอร์ 2 ชนิด คือ ไดเมทิลอิทาโคเนตและไดเฮกซิลอิทาโคเนตจากกรดอิทาโคนิกและแอลกอฮอล์ที่เกี่ยวข้อง
2. ศึกษาผลของสภาวะและตัวแปรในการทำปฏิกิริยาสังเคราะห์พอลิเมอร์ ได้แก่ อุณหภูมิ (60 และ 90 องศาเซลเซียส) เวลา (24 และ 50 ชั่วโมง) สัดส่วนโมลของมอนอเมอร์ต่อตัวเริ่มปฏิกิริยา (100/1 ถึง 100/5) และสัดส่วนโมลของมอนอเมอร์ต่อสารเร่งปฏิกิริยา (100/1 ถึง 100/5) ที่มีผลต่อปริมาณผลิตภัณฑ์และน้ำหนักโมเลกุลของพอลิเมอร์ที่สังเคราะห์ได้
3. เตรียมพอลิเมอร์ร่วมแบบไตรบล็อกตระกูลไดอัลคิลอิทาโคเนตโดยใช้มอนอเมอร์ในตระกูลเดียวกัน

1.6 สมมติฐานในการดำเนินงานวิจัย

ในการดำเนินงานวิจัยครั้งนี้ตั้งอยู่บนสมมติฐานที่ว่าไดอัลคิลอิทาโคเนตสามารถเกิดปฏิกิริยาผ่านปฏิกิริยาการเกิดพอลิเมอร์แบบอะตอมทรานส์เฟอร์เรดิคัลพอลิเมอไรเซชัน (ATRP) ได้ดี เช่นเดียวกับกรณีอะครีเลตมอนอเมอร์เนื่องจากมอนอเมอร์ทั้ง 2 ชนิดต่างเป็นไวนิลมอนอเมอร์และยังมีหมู่ฟังก์ชันประเภทเดียวกัน (เอสเทอร์) ซึ่งน่าจะทำให้มอนอเมอร์มีความว่องไวในการเกิดปฏิกิริยาใกล้เคียงกัน

1.7 ประโยชน์ที่คาดว่าจะได้รับ

1. ทราบถึงสถานะที่เหมาะสมในการสังเคราะห์และควบคุมโครงสร้างพอลิเมอร์จากไดอัลคิลอิทาโคเนต
2. เป็นแนวทางในการพัฒนาผลิตภัณฑ์ประเภทเทอร์โมพลาสติกอิลาสโตเมอร์เพื่อใช้ทดแทนวัสดุที่ทำจากปิโตรเลียมและปิโตรเคมี

บทที่ 2 ทฤษฎี

2.1 เทอร์โมพลาสติกอีลาสโตเมอร์

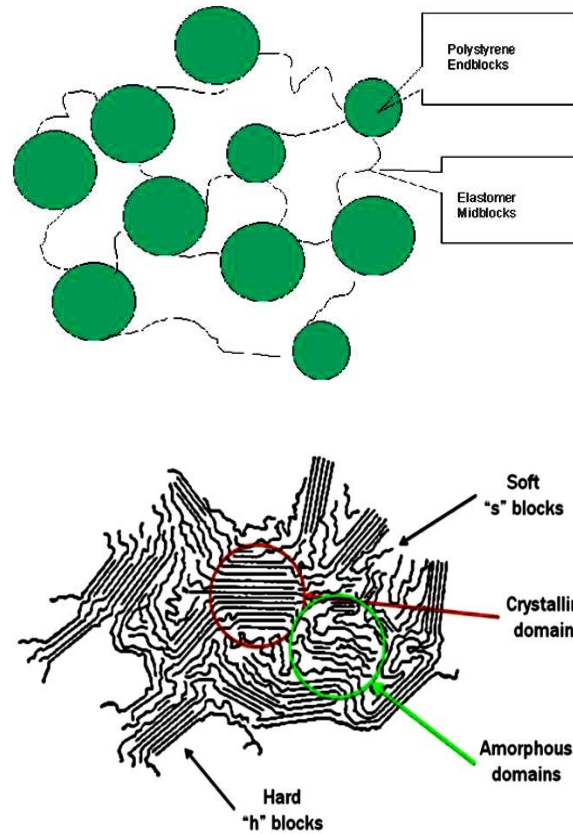
เทอร์โมพลาสติกอีลาสโตเมอร์ (TPE) เป็นวัสดุที่มีสมบัติทางด้านกายภาพผสมผสานกันระหว่างสมบัติเด่นของเทอร์โมพลาสติกในด้านของการที่สามารถหลอมและไหลได้เมื่อได้รับความร้อน และสามารถคงรูปได้ในอุณหภูมิใช้งาน นอกจากนี้ยังมีความยืดหยุ่นคล้ายยางเมื่อได้รับแรงดึงยืด และเมื่อหยุดให้แรงจะสามารถกลับมาคงรูปได้เช่นเดิมและยังต้านทานต่อการเสื่อมสภาพเนื่องจากความล้าได้ดี ซึ่งจะส่งผลดีในแง่ของการขึ้นรูป เช่น การขึ้นรูปโดยกระบวนการฉีด ข้อดีของเทอร์โมพลาสติกอีลาสโตเมอร์คือสามารถแสดงสมบัติความเป็นอีลาสโตเมอร์โดยไม่จำเป็นต้องผ่านกระบวนการวัลคาไรเซชันเหมือนในกรณีเทอร์โมเซตซึ่งมีข้อจำกัดคือ ไม่สามารถนำกลับมาใช้ใหม่ได้ โดยที่การเชื่อมขวางในโครงสร้างของเทอร์โมพลาสติกอีลาสโตเมอร์นั้นเกิดจากแรงดึงดูดระหว่างขั้ว (Dipole-dipole interaction) และพันธะไฮโดรเจนซึ่งเป็นพันธะที่มีความแข็งแรงน้อย สามารถสลายได้โดยการให้ความร้อนจึงส่งผลให้เทอร์โมพลาสติกอีลาสโตเมอร์สามารถที่จะนำกลับมาใช้ใหม่ได้โดยกระบวนการทางความร้อนและเพื่อกระบวนการย่อยสลาย [23]

โดยทั่วไปแล้ววัสดุที่เป็น TPE จะแบ่งได้ 2 เป็นกลุ่ม คือ พอลิเมอร์ร่วมแบบบล็อกและเทอร์โมพลาสติกวัลคาไนเซต (TPV)

2.1.1 พอลิเมอร์ร่วมแบบบล็อก

พอลิเมอร์ร่วมแบบบล็อก จะประกอบด้วยส่วนที่อ่อนนิ่มหรือส่วนที่มีโครงสร้างอสัณฐาน (Soft-amorphous segment) และส่วนที่แข็งซึ่งมีอุณหภูมิการเปลี่ยนสถานะคล้ายแก้ว (T_g) สูงหรือส่วนที่มีโครงสร้างเป็นผลึก (Hard-crystalline segment) อยู่ในโมเลกุลเดียวกัน โดยองค์ประกอบบล็อกส่วนที่จะแข็งทำหน้าที่ เป็นเสมือนจุดเชื่อมโยงระหว่างโมเลกุลในโครงสร้างโมเลกุล ในขณะที่ส่วนที่อ่อนนิ่มทำหน้าที่เป็นเฟสต่อเนื่องและส่งผลให้วัสดุมีความอ่อนนิ่ม ดังแสดงในรูปที่ 2.1

ตัวอย่างของเทอร์โมพลาสติกอีลาสโตเมอร์ ที่นิยมนำใช้ในทางการค้าได้แก่ พอลิเมอร์ร่วมแบบบล็อกในตระกูลสไตรีน



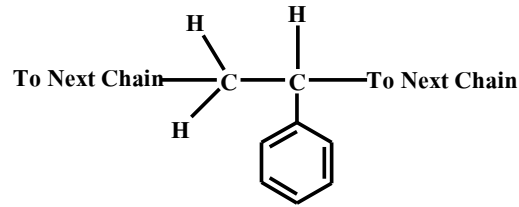
รูปที่ 2.1 การจัดเรียงตัวของส่วนที่แข็งในโครงสร้างเทอร์โมพลาสติกอิลาสโตเมอร์ [24]

2.1.2 การใช้งานของวัสดุเทอร์โมพลาสติกอิลาสโตเมอร์

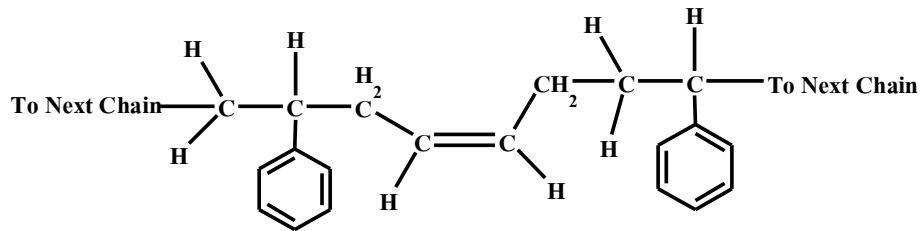
เทอร์โมพลาสติกอิลาสโตเมอร์เป็นวัสดุที่มีการใช้งานค่อนข้างที่จะหลากหลาย เช่น เทอร์โมพลาสติกอิลาสโตเมอร์ในตระกูลพอลิเอสเตอร์จะใช้ทำยางล้อรถขนาดเล็กสำหรับวิ่งบนหิมะ [23] เนื่องจากมีความแข็งและต้านทานต่อขัดถู (Abrasion resistant) ได้เป็นอย่างดี ในขณะที่พอลิเมอร์ร่วมในตระกูลเอไมด์เป็นเทอร์โมพลาสติกอิลาสโตเมอร์ที่มีความแข็งแรง และความยืดหยุ่นสูง ทนทานต่อการฉีกขาด การขัดถูและความล้าจากการใช้งาน นอกจากนี้ยังทนทานต่อสารเคมีและน้ำมัน ด้วยเหตุนี้จึงสามารถนำวัสดุกลุ่มนี้ไปประยุกต์ใช้งานได้อย่างหลากหลาย เช่น พื้นรองเท้ากีฬา ท่อยางหุ้มเส้นลวด และหุ้มเคเบิล [23] ในขณะที่พอลิเมอร์ร่วมแบบบล็อกในตระกูลสไตรีนซึ่งมีหลายชนิด เช่น พอลิเมอร์ร่วมไตรแบบบล็อกระหว่างสไตรีนและไอโซพรีน (SIS) มีสมบัติเหนียวและอ่อนตัวจึงใช้เป็นสารยึดติดหรือกาว พอลิเมอร์ร่วมไตรแบบบล็อกระหว่างสไตรีนและบิวตะไดอิน (SBS) ใช้ทำพื้นรองเท้า และ พอลิเมอร์ร่วมแบบบล็อกระหว่างสไตรีน-เอทิลีน-บิวตะไดอิน-สไตรีน (SEBS) ใช้ทำฉนวนหุ้มสายเคเบิล สายโทรศัพท์ ชิ้นส่วนรถยนต์ เช่น ยางขอบประตูรถยนต์ และชิ้นส่วนอุปกรณ์เครื่องใช้ภายในบ้าน เช่น ค้ามจับอุปกรณ์ต่างๆ [23] โดยสมบัติต่างๆ และโครงสร้างของพอลิเมอร์ร่วมแบบบล็อกในตระกูลสไตรีน ชนิดต่างๆ ได้แสดงดังตารางที่ 2.1 และรูปที่ 2.2

ตารางที่ 2.1 เปรียบเทียบสมบัติของพอลิเมอร์ร่วมแบบบล็อกในตระกูลสไตรีนชนิดต่างๆ [25]

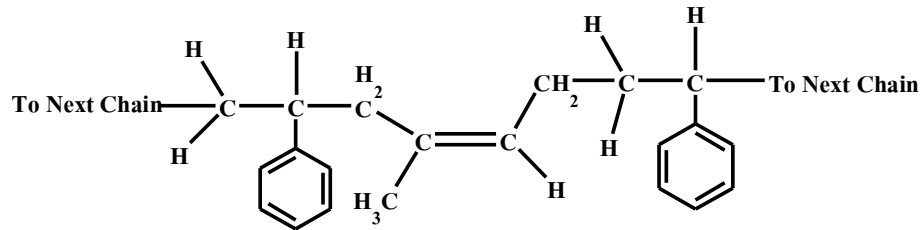
สมบัติ	ชนิดของสไตรีนบล็อกโคพอลิเมอร์			
	SBS	SIS	SEBS	SEPS
ความเสถียรทางความร้อน	ปานกลาง	ต่ำ	ดีมาก	ดีมาก
บล็อกกลาง (middle block)				
น้ำหนักโมเลกุล (g/mol)	1700	1700	~1700	1660
ค่าอุณหภูมิในการเปลี่ยนสถานะคล้ายแก้ว (°C)	-85	-60	-55	-55
ค่าการละลาย (cal/cm ³) ^{1/2}	8.35	8.15	7.75	7.65
ค่าความสามารถในการต้านทานต่อแรงดึง (psi)	700-4600	1200-3100	350-5000	300
ความสามารถในการยืดตัว (%)	800-1100	1200-1300	500-750	<100
ค่าความแข็งแรงที่การยืดตัวที่ 300 % (psi)	130-400	60-200	350-800	---
ค่าความแข็ง (Shore A)	50-75	30-55	65-75	70-75



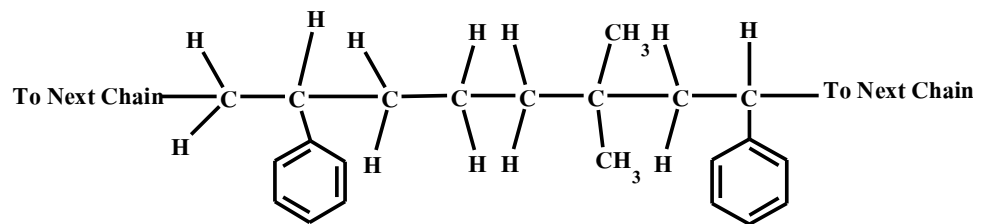
a) Structure of a styrene block



b) styrene-butadiene - styrene



c) styrene-isoprene - styrene



d) styrene-ethylene-butylene - styrene

รูปที่ 2.2 โครงสร้างโมเลกุลของเทอร์โมพลาสติกอิลาสโตเมอร์ในกลุ่มของพอลิไสตรีน [26]

2.1.3 ข้อดีและข้อเสียของวัสดุเทอร์โมพลาสติกอีลาสโตเมอร์ (TPE)

หากเทียบกับพลาสติกในกลุ่มเทอร์โมเซตแล้ว วัสดุเทอร์โมพลาสติกอีลาสโตเมอร์นั้นจะมีข้อได้เปรียบในด้านการนำกลับมาขึ้นรูปใหม่ได้ นอกจากนี้วัสดุ TPE ยังมีการผสมเคมีที่ไม่ยุ่งยากเหมือนกรณียางคงรูปทั่วไป ทำให้ไม่เกิดปัญหาความคลาดเคลื่อนในการผสมส่วนผสมในแต่ละครั้ง ส่งผลให้ผลิตภัณฑ์ที่ได้มีคุณภาพสม่ำเสมอ อีกทั้งยังช่วยประหยัดพลังงานที่ใช้ในกระบวนการผสมและกระบวนการขึ้นรูปด้วยความร้อน

อย่างไรก็ตามวัสดุเทอร์โมพลาสติกอีลาสโตเมอร์มีราคาค่อนข้างสูง มีค่าการเสีรูปถาวรหลังกด (Compression set) สูงกว่า (มีความยืดหยุ่นต่ำกว่ายางคงรูป) หลอมเหลวและไหลได้ในสภาวะอุณหภูมิสูงจึงไม่เหมาะกับการใช้งานในสภาวะอุณหภูมิสูงมาก ส่วนใหญ่มีความแข็งค่อนข้างสูงในบางกรณีอาจจำเป็นต้องนำเม็ดเทอร์โมพลาสติกอีลาสโตเมอร์ไปอบไล่ความชื้นก่อนนำไปผ่านกระบวนการขึ้นรูป [27]

2.1.4 เทอร์โมพลาสติกวัลคาไนเซต (TPV)

เป็นวัสดุเทอร์โมพลาสติกอีลาสโตเมอร์ชนิดหนึ่ง เกิดจากการผสมเทอร์โมพลาสติกโอเลฟินกับยาง ซึ่งยางจะเกิดการเชื่อมขวางขึ้นในระหว่างกระบวนการผสมหรือเป็นการเชื่อมขวางแบบไดนามิกวัลคาไนเซชัน (Dynamic vulcanization) โดยอนุภาคยางจะกระจายตัวอยู่ในเฟสพลาสติกซึ่งเป็นเฟสต่อเนื่อง การกระจายตัวอย่างสม่ำเสมอของอนุภาคยางในเฟสพลาสติกจะทำให้เกิดอันตรกิริยาระหว่างพื้นที่ผิวสัมผัสของอนุภาคยางกับเฟสพลาสติก ส่งผลให้วัสดุ TPV มีสมบัติเป็นอีลาสโตเมอร์ [28] ตัวอย่างของวัสดุ TPV เช่น ยางสังเคราะห์ซานโตพรีน (Santoprene) ซึ่งใช้สำหรับผลิตชิ้นส่วนรถยนต์ [29]

2.2 การทดสอบเทอร์โมพลาสติกอีลาสโตเมอร์

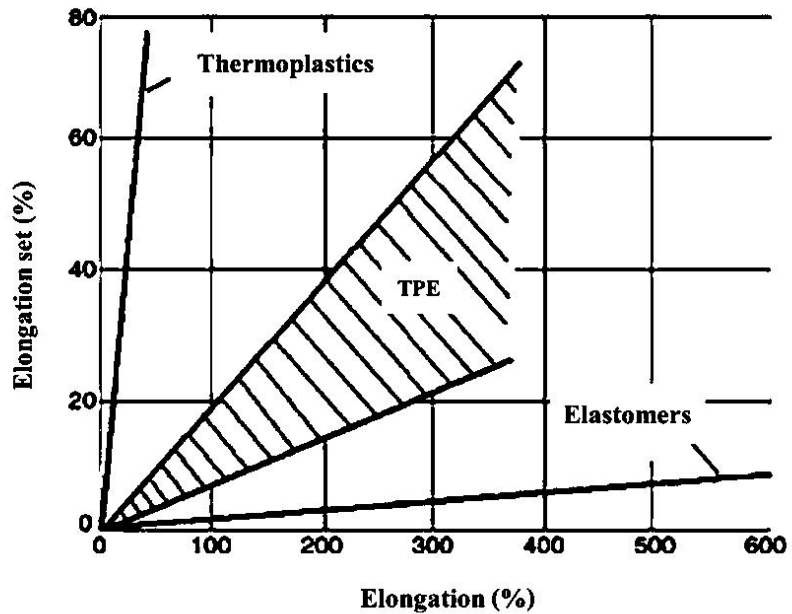
พฤติกรรมความเป็นเทอร์โมพลาสติกอีลาสโตเมอร์สามารถทดสอบได้โดยการทดสอบสมบัติเชิงกลและสมบัติด้านการไหลเมื่อได้รับความร้อนรวมทั้งสมบัติด้านการคืนตัว

2.2.1 การทดสอบเทอร์โมพลาสติกอีลาสโตเมอร์โดยอาศัยสมบัติเชิงกล

โดยนิยามแล้วค่าการยืดตัวเมื่อทดสอบแรงดึงของวัสดุที่เป็นอีลาสโตเมอร์จะมีค่าน้อยร้อยละ 500 ขึ้นไป [30] นอกเหนือจากนั้นวัสดุอีลาสโตเมอร์ยังควรที่จะมีสมบัติด้านความยืดหยุ่นหรือความสามารถในการคืนตัว ซึ่งพิจารณาได้จากค่าการเสีรูปถาวรหลังการดึงยืด (Tension set) หรือได้รับแรงกด (Compression set) ซึ่งโดยยิ่งค่าดังกล่าวมีค่าต่ำจะแสดงถึงสมบัติที่มีความเป็น

อีลาสติคสูง โดยทั่วไปแล้วการเสีรูปลถวรหลังการคิงยี้คของอีลาสโตเมอร์จะมีค่าประมาณร้อยละ 3 [30] ในขณะที่เทอร์โมพลาสติกอีลาสโตเมอร์มีการเสีรูปลถวรหลังการคิงยี้คอยู่ในช่วงระหว่าง ร้อยละ 15 ถึง 40 ดังแสดงในรูปที่ 2.3

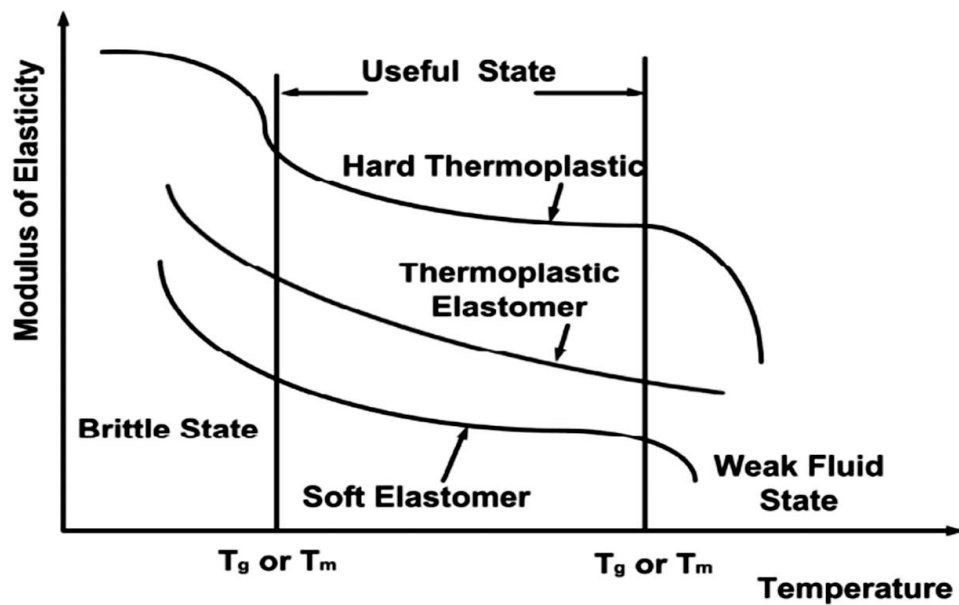
Thermoplastic Elastomers



รูปที่ 2.3 ค่าการเสีรูปลถวรหลังการคิงยี้คของอีลาสโตเมอร์ เทอร์โมพลาสติกและเทอร์โมพลาสติกอีลาสโตเมอร์ [30]

2.2.2 การทดสอบสมบัติด้านการไหลของเทอร์โมพลาสติกอีลาสโตเมอร์

ความเป็นเทอร์โมพลาสติกของวัสดุเทอร์โมพลาสติกอีลาสโตเมอร์ สามารถพิจารณาได้จากความสามารถในการไหลได้ เมื่อได้รับความร้อนและความสามารถในการนำวัสดุดังกล่าวมาหลอมใหม่โดยให้ความร้อนได้อีก [31] จึงหมายความว่าวัสดุดังกล่าวสามารถผ่านกระบวนการผลิตขึ้นรูปโดยความร้อนได้เช่นเดียวกับพลาสติก แม้ว่าสมบัติในการใช้งานจะคล้ายขงหรืออีลาสโตเมอร์ก็ตาม รูปที่ 2.4 แสดงพฤติกรรมด้านการไหลของวัสดุเทอร์โมพลาสติกอีลาสโตเมอร์ที่ช่วงอุณหภูมิต่างๆ โดยโมเลกุลจะเริ่มมีการสั่นไหวที่อุณหภูมิ T_g เมื่ออุณหภูมิสูงขึ้นวัสดุเทอร์โมพลาสติกอีลาสโตเมอร์จะมีลักษณะนิ่มและจะเกิดการไหลได้ที่อุณหภูมิเหนืออุณหภูมิการหลอมเหลว (T_m) ซึ่งเป็นอุณหภูมิสำหรับการขึ้นรูป



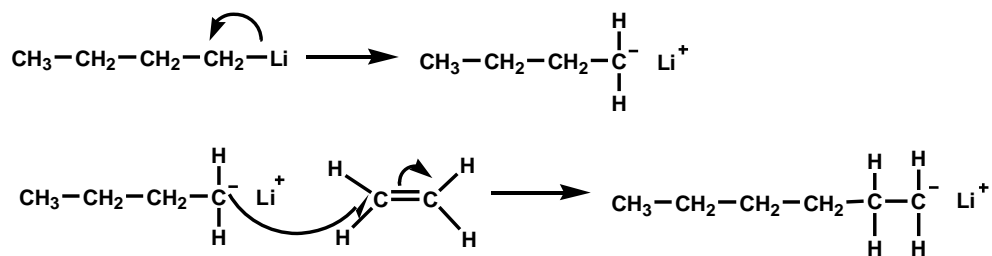
รูปที่ 2.4 ความสัมพันธ์ระหว่างอุณหภูมิกับพฤติกรรมทางความร้อนและค่าโมดูลัสยืดหยุ่นของเทอร์โมพลาสติกอีลาสโตเมอร์ [31]

2.3 ปฏิกิริยาการเกิดพอลิเมอร์แบบมีชีวิต (Living polymerization)

ปฏิกิริยาการเกิดพอลิเมอร์แบบมีชีวิตเป็นปฏิกิริยาที่มีการปกป้องหมู่ฟังก์ชันหรือตำแหน่งการเกิดปฏิกิริยาที่ปลายสายโซ่โดยสารที่สามารถแตกตัวเพื่อเกิดปฏิกิริยาและกลับมาจับกับสายโซ่โมเลกุลอีกครั้งได้ [32] โดยจะเป็นการเกิดปฏิกิริยาแบบผันกลับได้สลับกันระหว่างอนุมูลอิสระ (ซึ่งเป็น Active species) กับสายโซ่โมเลกุลที่มีการหยุดการเจริญเติบโตชั่วคราว (Dormant species) การเกิดปฏิกิริยาดังกล่าวจึงเป็นการลดโอกาสการเกิดปฏิกิริยาโยกย้ายสายโซ่และปฏิกิริยาขั้นยุดิจากลักษณะการเกิดปฏิกิริยาดังกล่าวเมื่อปฏิกิริยาดำเนินไปจนมอนอเมอร์ถูกใช้หมดและหากมีการเติมมอนอเมอร์เข้าไปใหม่จะทำให้เกิดปฏิกิริยาต่อไปได้ [33] ดังนั้นการสังเคราะห์ดังกล่าวจึงสามารถที่จะสังเคราะห์พอลิเมอร์ร่วมหรือพอลิเมอร์ร่วมที่มีโครงสร้างแบบบล็อกได้โดยการเปลี่ยนชนิดมอนอเมอร์ตัวถัดไปเพื่อที่จะเข้าทำปฏิกิริยากับสายโซ่โมเลกุลที่กำลังโต (Growing chain) ปฏิกิริยาการสังเคราะห์พอลิเมอร์แบบมีชีวิตมีหลายกลไก เช่น ปฏิกิริยาการเกิดพอลิเมอร์แบบแอนไอออน (Anionic polymerization) ปฏิกิริยาการเกิดพอลิเมอร์แบบแคทไอออน (Cationic polymerization) ปฏิกิริยาการเกิดพอลิเมอร์แบบอนุมูลอิสระแบบที่ถูกควบคุม (Controlled free radical polymerization) เป็นต้น [33]

2.3.1 ปฏิกิริยาการเกิดพอลิเมอร์แบบแอนไอออน (Anionic polymerization)

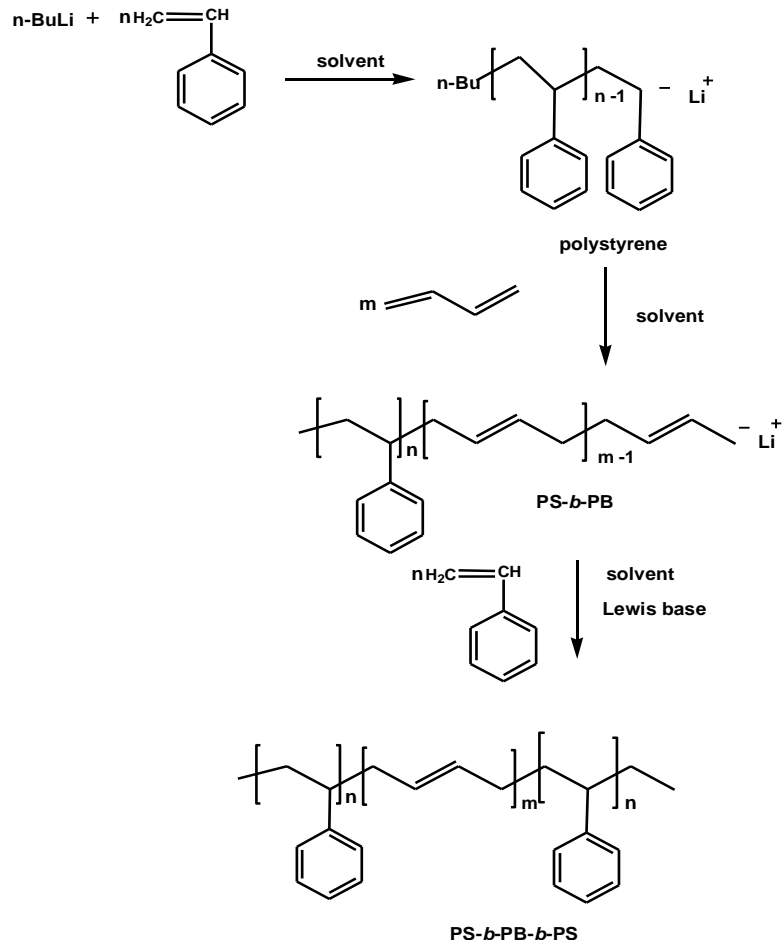
การเกิดพอลิเมอร์แบบแอนไอออนนั้นเป็นกลไกที่นิยมใช้ในการเตรียมพอลิเมอร์จากไวนิลมอนอเมอร์ที่มีหมู่แทนที่ประเภทที่สามารถดึงอิเล็กตรอนได้ (Electron withdrawing groups) เนื่องจากหมู่แทนที่ดังกล่าวจะส่งผลให้คาร์บอนประจุลบ (Carbanion) ซึ่งเป็นตำแหน่งที่ว่องไวต่อการเกิดปฏิกิริยามีความเสถียรและส่งผลให้ปฏิกิริยาสามารถดำเนินต่อไปได้ ตัวอย่างมอนอเมอร์กลุ่มดังกล่าว ได้แก่ สไตรีน อะคริโลไนไตรล์ ไดอิน และอะคริเลต โดยในกรณีนี้ตัวเริ่มปฏิกิริยาที่ใช้จะเป็นเบสหรือสารที่มีหมู่ชอบโปรตอนหรือเป็นประจุลบ ตัวอย่าง เช่น บิวทิลลิเทียม (BuLi) โพแทสเซียมเอไมด์ (KNH₂) เป็นต้น ซึ่งตัวเริ่มปฏิกิริยาจะแตกตัวให้ประจุลบ เช่น ในกรณีบิวทิลลิเทียมจะแตกตัวให้บิวทิลแอนไอออน ส่วนในกรณีที่ใช้โพแทสเซียมเอไมด์จะแตกตัวให้เอไมด์แอนไอออน เป็นต้น จากนั้นประจุลบดังกล่าวจะเข้าทำปฏิกิริยากับมอนอเมอร์ในลักษณะ nucleophilic attack ดังแสดงในรูปที่ 2.5



รูปที่ 2.5 กลไกการเกิดปฏิกิริยาการเกิดพอลิเมอร์แบบแอนไอออน [34]

ผลิตภัณฑ์พอลิเมอร์ที่เตรียมผ่านปฏิกิริยาการเกิดพอลิเมอร์แบบแอนไอออน จะมีการกระจายตัวของน้ำหนักโมเลกุลต่ำหรืออาจได้เท่ากับ 1 และนอกจากนั้นยังสามารถควบคุมลักษณะของโมเลกุลได้ทั้งในด้านของน้ำหนักโมเลกุลและองค์ประกอบของโมเลกุล

ด้วยลักษณะดังกล่าวจึงทำให้ปฏิกิริยาการเกิดพอลิเมอร์แบบแอนไอออนนั้นจัดเป็นปฏิกิริยาการเกิดพอลิเมอร์แบบมีชีวิต ซึ่งถ้าหากมีการเติมมอนอเมอร์เข้าไปในระบบปฏิกิริยาจะดำเนินต่อไปได้อีก และสามารถนำไปสู่การเตรียมพอลิเมอร์ร่วมแบบบล็อกได้ในที่สุด ดังกลไกปฏิกิริยาการสังเคราะห์พอลิเมอร์ร่วมแบบบล็อกจากสไตรีนและบิวตะไดอินที่แสดงในรูป 2.6



รูปที่ 2.6 กลไกปฏิกิริยาการเกิดพอลิเมอร์ร่วมระหว่างพอลิสไตรีนและพอลิไอโซพรีนโดยผ่านปฏิกิริยาการเกิดพอลิเมอร์แบบแอนไอออน [35]

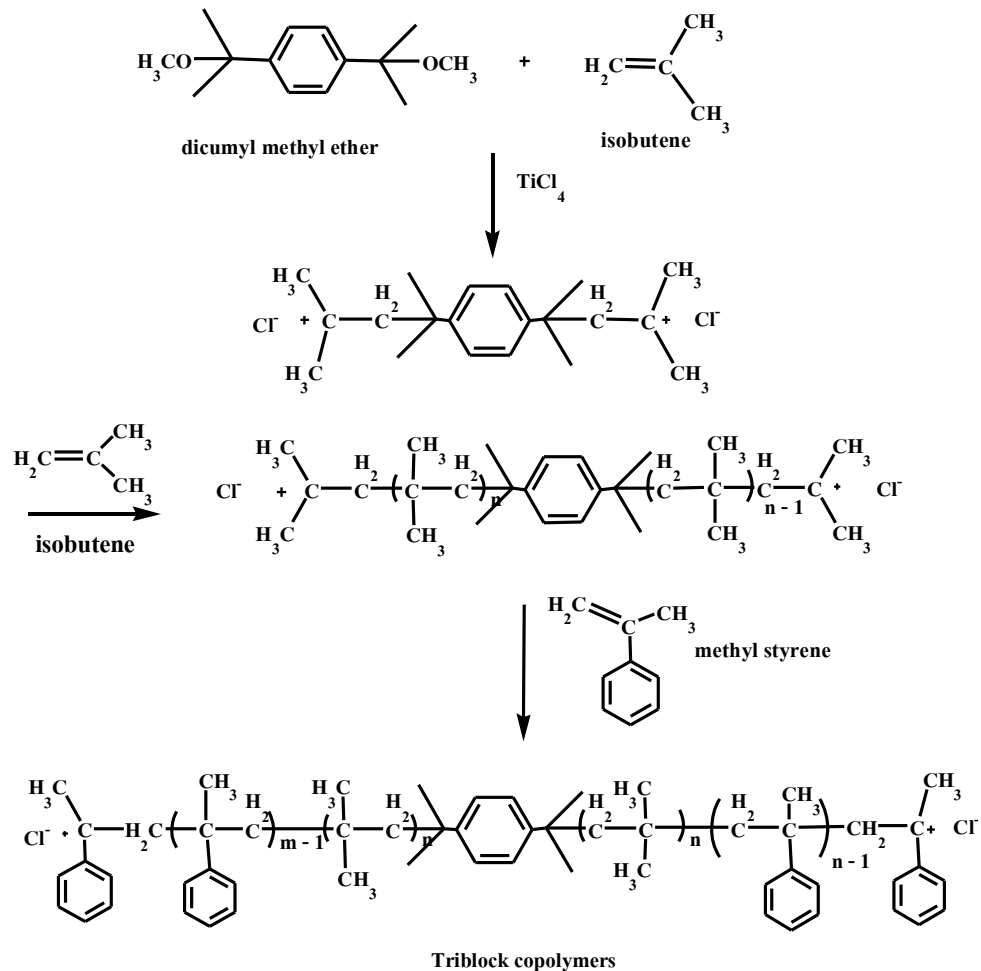
อย่างไรก็ตามแม้ว่าปฏิกิริยาการเกิดพอลิเมอร์แบบแอนไอออนจะมีข้อดีหลายประการดังที่ได้กล่าวมาข้างต้น แต่ข้อเสียคือความยุ่งยากในการควบคุมให้ระบบอยู่ในสภาวะที่มีความบริสุทธิ์สูงหรือปราศจากสารปนเปื้อนประเภทที่เป็นสารให้โปรตอน (เช่น น้ำหรือความชื้น) เพราะมีฉะนั้นแล้วจะทำให้ปฏิกิริยายุติลงเนื่องจากโปรตอนหรือประจุบวกจะเข้าไปจับกับประจุลบซึ่งเป็นตำแหน่งเกิดปฏิกิริยา และนอกจากนี้ในบางปฏิกิริยา เช่น การสังเคราะห์พอลิเมทิลเมทาคริเลต (PMMA) จำเป็นต้องใช้อุณหภูมิที่ต่ำมาก (-78 องศาเซลเซียส) เนื่องจากที่อุณหภูมิสูงแอนไอออนจะมีความเสถียรต่ำ [17] ดังนั้นจึงเป็นเรื่องที่ค่อนข้างยุ่งยากสำหรับการสังเคราะห์พอลิเมอร์ด้วยวิธีดังกล่าว

2.3.2 ปฏิกิริยาการเกิดพอลิเมอร์แบบแคทไอออน (Cationic polymerization)

โดยปกติแล้วมอนอเมอร์ที่สามารถเกิดปฏิกิริยาผ่านกลไกแบบแคทไอออนได้จะเป็นไวนิลมอนอเมอร์ที่มีหมู่แทนที่ที่สามารถให้อิเล็กตรอน (Electron donating group) ในขณะที่ตัวเริ่มปฏิกิริยาจะเป็นของผสมระหว่างกรดลิวอิสกับตัวเร่งร่วม โดยกรดลิวอิสที่นิยมใช้จะเป็นสารจำพวกโลหะแฮไลด์หรือโลหะอัลคิลแฮไลด์ (เช่น โบรอนฟลูออไรด์ หรือ อะลูมิเนียมคลอไรด์หรืออะลูมิเนียมอัลคิลแฮไลด์) ส่วนสารเร่งร่วมที่ใช้จะเป็นสารพวกที่สามารถให้โปรตอนหรือสารที่ให้คาร์บอนประจุบวก (เช่น กรดซัลฟูริก น้ำ และอัลคิลแฮไลด์) โดยประจุบวกเป็นตัวเริ่มปฏิกิริยาที่แท้จริงที่เข้าทำปฏิกิริยากับมอนอเมอร์

แม้ว่าที่ปลายสายโซ่โมเลกุลของพอลิเมอร์ที่กำลังโตจะมีลักษณะเป็นประจุบวก แต่ในการสังเคราะห์อาจจะเกิดปฏิกิริยาข้างเคียงขึ้นได้ซึ่งเป็นผลมาจากความไม่เสถียรของประจุบวก ตัวอย่างเช่น อะตอมไฮโดรเจนที่ตำแหน่ง เบต้า-คาร์บอนของอะครีเลตอาจจะหลุดออกมาส่งผลให้เกิดปฏิกิริยาโยกย้ายสายโซ่สู่โมเลกุลอื่นๆ ในระบบ เช่น มอนอเมอร์ เคาเตอร์ไอออน และพอลิเมอร์ ก่อให้เกิดผลิตภัณฑ์ที่ไม่ว่องไวต่อการเกิดปฏิกิริยา

อย่างไรก็ตามปฏิกิริยาการเกิดพอลิเมอร์แบบแคทไอออนอาจจะเป็นพอลิเมอร์เซชันแบบมีชีวิตในบางสภาวะบางกรณีจึงทำให้สามารถใช้กลไกดังกล่าวในการเตรียมพอลิเมอร์ร่วมที่มีโครงสร้างแบบบล็อกที่เกี่ยวข้องได้ [36] ตัวอย่างเช่น ในกรณีที่ใช้ไดควิมิลเมธิลอีเทอร์ร่วมกับไทเทเนียมคลอไรด์ ในการสังเคราะห์พอลิไอโซบิวทิลีน ดังกลไกการเกิดพอลิเมอร์แบบแคทไอออน แสดงในรูปที่ 2.7



รูปที่ 2.7 ปฏิกิริยาการสังเคราะห์พอลิเมอร์ร่วมแบบบล็อกจากเมทิลสไตรีนและไอโซบิวทิลีน [37]

2.3.3 ปฏิกิริยาการเกิดพอลิเมอร์แบบอนุมูลอิสระที่ถูกควบคุม

(Controlled free radical polymerization; CFRP)

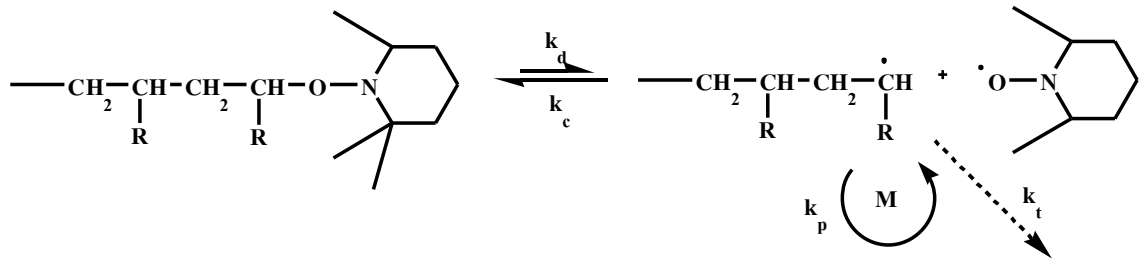
ปฏิกิริยาการเกิดพอลิเมอร์แบบอนุมูลอิสระที่ถูกควบคุมถูกพัฒนาขึ้นมาเพื่อลดข้อจำกัดของปฏิกิริยาการเกิดพอลิเมอร์แบบอนุมูลอิสระ (Free radical polymerization) โดยปฏิกิริยา CFRP จะอาศัยหลักการของการปกป้องอนุมูลอิสระที่บริเวณปลายสายโซ่โมเลกุลของพอลิเมอร์ที่กำลังโตเพื่อลดโอกาสในการเกิดปฏิกิริยาโยกย้ายสายโซ่หรือปฏิกิริยาขั้วยุติ [32, 34] แต่ในขณะเดียวกันการปกป้องที่ตำแหน่งดังกล่าวจะต้องไม่ทำให้อนุมูลอิสระที่ปลายสายโซ่พอลิเมอร์ถูกทำลายหรือทำให้สูญเสียความว่องไวต่อการเกิดปฏิกิริยาไปโดยสิ้นเชิง

วิธีการที่สำคัญในการปกป้องตำแหน่งที่ว่องไวดังกล่าวคือการเติมสาร capping agent ลงไป โดยสาร capping agent ดังกล่าวจะทำปฏิกิริยารวมตัวกับอนุมูลอิสระของสายโซ่พอลิเมอร์ที่เกิดในปฏิกิริยาในลักษณะที่ผันกลับได้ โดยปฏิกิริยาการเกิดพอลิเมอร์แบบอนุมูลอิสระที่ถูกควบคุมสามารถแบ่งเป็นเทคนิคต่างๆ ตามชนิดและลักษณะของ capping agent [32, 33] ได้ดังนี้

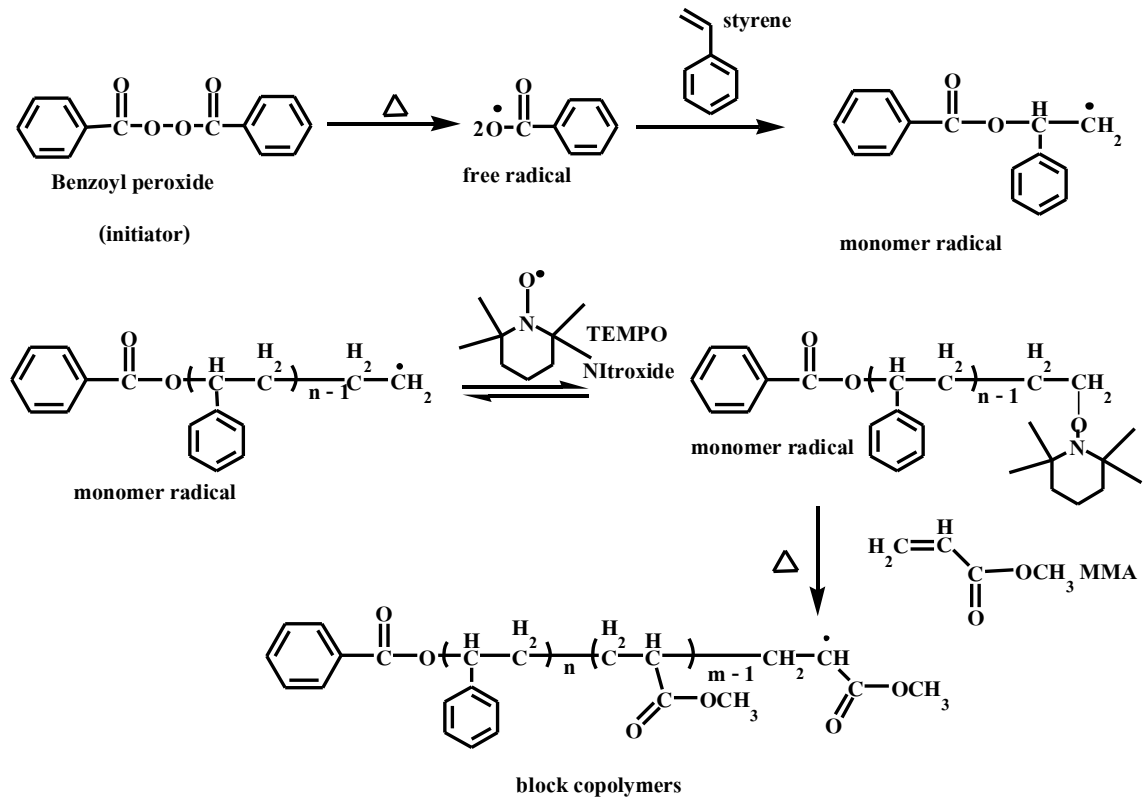
2.3.3.1 ปฏิริยาการเกิดพอลิเมอร์โดยผ่านการใช้สารไนทรอกไซด์เป็นตัวกลาง

(Nitroxide mediated polymerization; NMP)

สารตั้งต้นสำหรับปฏิริยาการเกิดพอลิเมอร์โดยผ่านกลไกการใช้สารไนทรอกไซด์เป็นตัวกลางจะประกอบด้วยมอนอเมอร์ ตัวเริ่มปฏิริยาและสารประกอบไนทรอกไซด์ซึ่งจะแตกตัวเป็นอนุมูลอิสระที่มีความเสถียรและสามารถทำหน้าที่เป็นตัว capping agent โดยจะจับกับอนุมูลอิสระของสายโซ่พอลิเมอร์ที่กำลังโตในลักษณะที่ผันกลับได้ (รูปที่ 2.8) ดังนั้นปฏิริยาดังกล่าวจึงสามารถนำไปสู่ผลิตภัณฑ์พอลิเมอร์ร่วมแบบบล็อกได้ ดังตัวอย่างของปฏิริยาการเตรียมพอลิเมอร์ร่วมแบบบล็อกจากสไตรีนและเมธิลเมทาคริเลตผ่านกลไกการเกิดพอลิเมอร์แบบ NMP (รูปที่ 2.9) ซึ่งปฏิริยาดังกล่าวจะใช้ตัวเริ่มปฏิริยาชนิดเบนโซอิลเปอร์ออกไซด์และใช้สาร 2, 2, 6, 6-เตตระเมทิล-1-ไพเพอริดีนออกซิด (TEMPO) เป็น capping agent

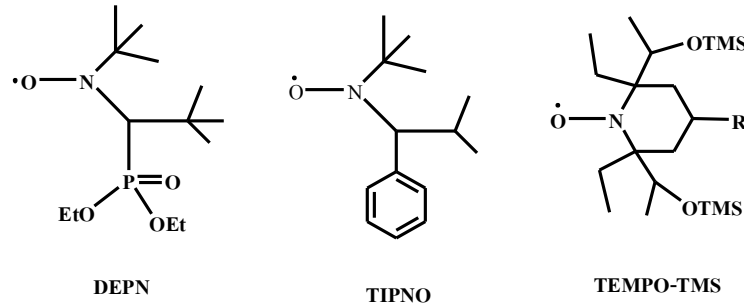


รูปที่ 2.8 การเกิดพอลิเมอร์โดยผ่านกลไกการใช้สารไนทรอกไซด์เป็นตัวกลาง [38]



รูปที่ 2.9 ปฏิกิริยาการเกิดพอลิเมอร์ร่วมแบบบล็อกโดยผ่านกลไกแบบ NMP [39]

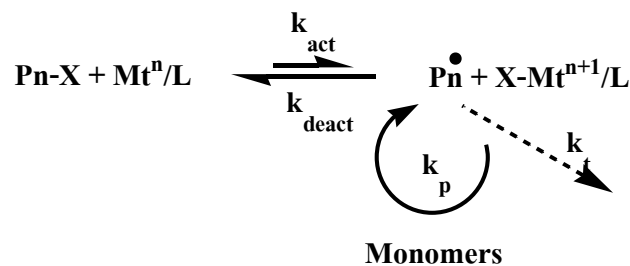
แม้ว่าการเกิดพอลิเมอร์โดยผ่านการใส่สารไนทรอกไซด์เป็นตัวกลาง จะมีข้อดีคือสามารถเตรียมพอลิเมอร์ที่มีการกระจายตัวของน้ำหนักโมเลกุลค่อนข้างต่ำและสามารถเตรียมพอลิเมอร์ร่วมแบบบล็อกได้ แต่การใช้เทคนิคดังกล่าวก็มีข้อจำกัด กล่าวคือต้องทำปฏิกิริยาที่อุณหภูมิสูง คืออยู่ในช่วง 145 ถึง 155 องศาเซลเซียส [40] ทั้งนี้เพื่อให้ตัวเริ่มปฏิกิริยาแตกตัว ดังนั้นจึงไม่เหมาะสมในด้านการสังเคราะห์สำหรับมอนอเมอร์ที่มีจุดเดือดต่ำอาจเกิดปฏิกิริยาโยกย้ายสายโซ่ที่อุณหภูมิสูง (เช่น ไดบีวทิลอทาโคเนตจะเกิดปฏิกิริยาโยกย้ายสายโซ่ที่อุณหภูมิสูงกว่า 60 องศาเซลเซียส) [41] และนอกจากนั้นตัวไนทรอกไซด์บางชนิด เช่น TEMPO มีราคาค่อนข้างสูง [42] อย่างไรก็ตามนอกจาก TEMPO แล้วยังมีสาร capping agent ชนิดอื่นๆ เช่น เทอร์เทียริบิวทิลไอโซโพรพิลฟีนิลไนทรอกไซด์ (TIPNO) นอร์มอลเทอร์เทียริบิวทิล-นอร์มอล (1-ไดเอทิลฟอสโฟโน-2,2-ไดเมทิลโพรพิล)ไนทรอกไซด์ (DEPN) และ TEMPO-ทรานส์-2, 6-ไดเอทิล-2, 6-บิส(1-ไทรเมทิลซิลานอกซีเอทิล)-1-(1-ฟีนิลเอทอกซี)ไพเพอริดีน-นอร์มอล-อ็อกซี (TEMPO-TMS) เป็นต้น โดยมีโครงสร้างทางเคมีแสดงดังรูปที่ 2.10



รูปที่ 2.10 โครงสร้าง capping agent ที่ใช้ในระบบการสังเคราะห์แบบ NMP [32]

2.3.3.2 ปฏิกิริยาการเกิดพอลิเมอร์แบบอะตอมทรานส์เฟอร์เรดิคอลพอลิเมอไรเซชัน (ATRP)

ปฏิกิริยาการเกิดพอลิเมอร์แบบอะตอมทรานส์เฟอร์เรดิคอลพอลิเมอไรเซชัน เป็นปฏิกิริยารีดอกซ์ที่ผันกลับได้ ซึ่งเกิดขึ้นกับอัลคิลเฮไลด์ (ทำหน้าที่เป็นตัวเริ่มปฏิกิริยา) โดยมีสารประกอบเชิงซ้อนของโลหะทรานสิชันเป็นสารเร่งปฏิกิริยา ซึ่งปฏิกิริยาดังกล่าวมีผลทำให้เกิดการโยกย้ายของอะตอมเฮไลด์ จากโมเลกุลของอัลคิลเฮไลด์ไปยังสารประกอบโลหะทรานสิชันผลที่เกิดขึ้นคือ ได้อนุมูลอิสระของหมู่อัลคิลและสารประกอบเชิงซ้อนของโลหะทรานสิชันที่มีเลขโคออดิเนตสูงขึ้น ดังแสดงในรูปที่ 2.11 [43] ตัวอย่างสารอัลคิลเฮไลด์ เช่น 2-โบรโมไอโซบิวทิลเลต, บิส(2-[2-โบรโมไอโซบิวทิลริลอีอกซี]เอทิล) เป็นต้น

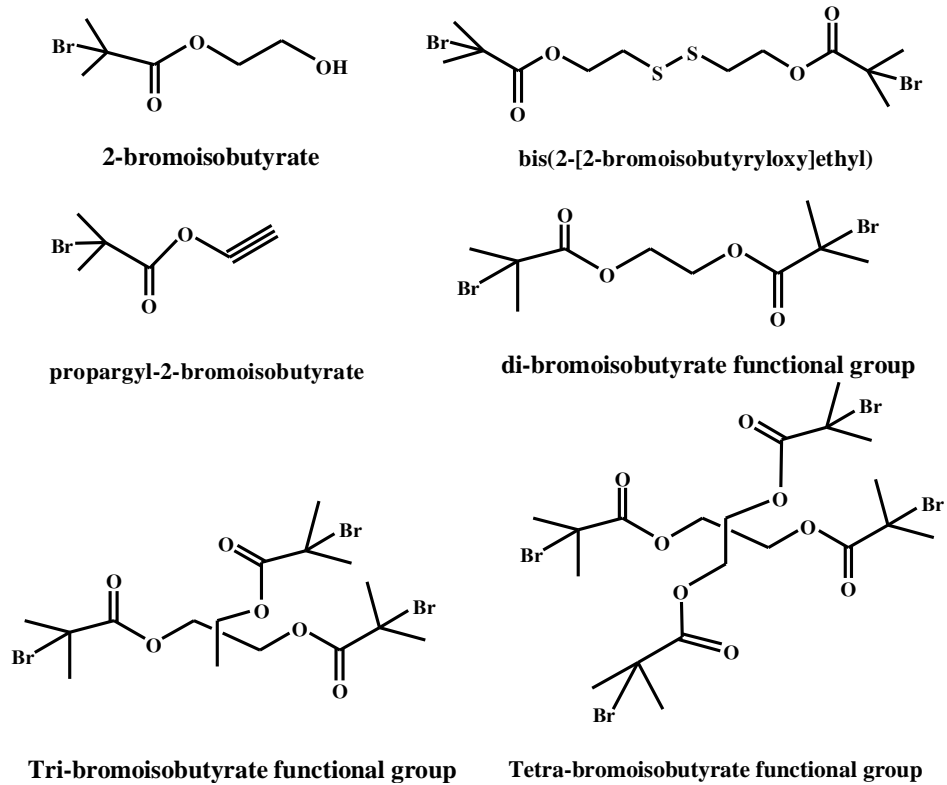


รูปที่ 2.11 กลไกการเกิดปฏิกิริยาของการเกิดพอลิเมอร์แบบ ATRP

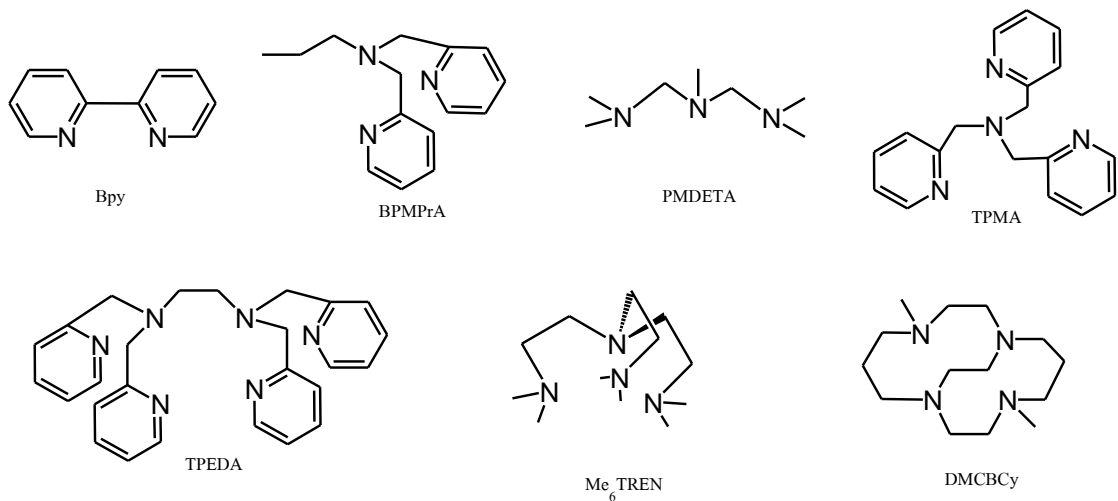
ซึ่งอนุมูลอิสระของหมู่อัลคิลที่เกิดขึ้นก็จะกระตุ้นให้มอนอเมอร์เกิดปฏิกิริยาขึ้นเริ่มต้นและขึ้นแผ่ขยายส่งผลให้เกิดอนุมูลอิสระของสายโซ่ที่กำลังเติบโต โดยมีอะตอมเฮไลด์ นั้นทำหน้าที่เสมือน capping agent จากลักษณะการเกิดปฏิกิริยากับมอนอเมอร์พร้อมกับการเกิดปฏิกิริยาผันกลับนั้นทำให้ปฏิกิริยาข้างเคียงหรือปฏิกิริยาโยกย้ายสายโซ่และปฏิกิริยาขึ้นยุดิเกิดได้น้อยลง

ตัวอย่างของโลหะทรานสิชันที่นิยมใช้สำหรับปฏิกิริยา ATRP ได้แก่ คอปเปอร์โบรไมด์และ/หรือคอปเปอร์คลอไรด์ ซึ่งมักจะใช้ร่วมกับลิแกนด์ เช่น ไบพิริดีนและสารประกอบเอมีน เช่น เพนตะเมทิลไดเอทิลลิ้นไตรเอมีน (PMDETA) เตตระเมทิลเอทิลลิ้นไดเอมีน (TMEDA) และ ทริส[(2-ไดเมทิล-

อะมิโน(เอทิล)เอมีน (Me₆TREN) เป็นต้น โดยโครงสร้างของตัวเริ่มปฏิกิริยาและลิแกนด์ชนิดต่างๆ ที่ถูกใช้ในระบบการสังเคราะห์พอลิเมอร์แบบ ATRP แสดงดังรูปที่ 2.12 และ 2.13 ตามลำดับ



รูปที่ 2.12 โครงสร้างตัวเริ่มปฏิกิริยาชนิดต่างๆ ที่ใช้ในระบบการสังเคราะห์แบบ ATRP [32]

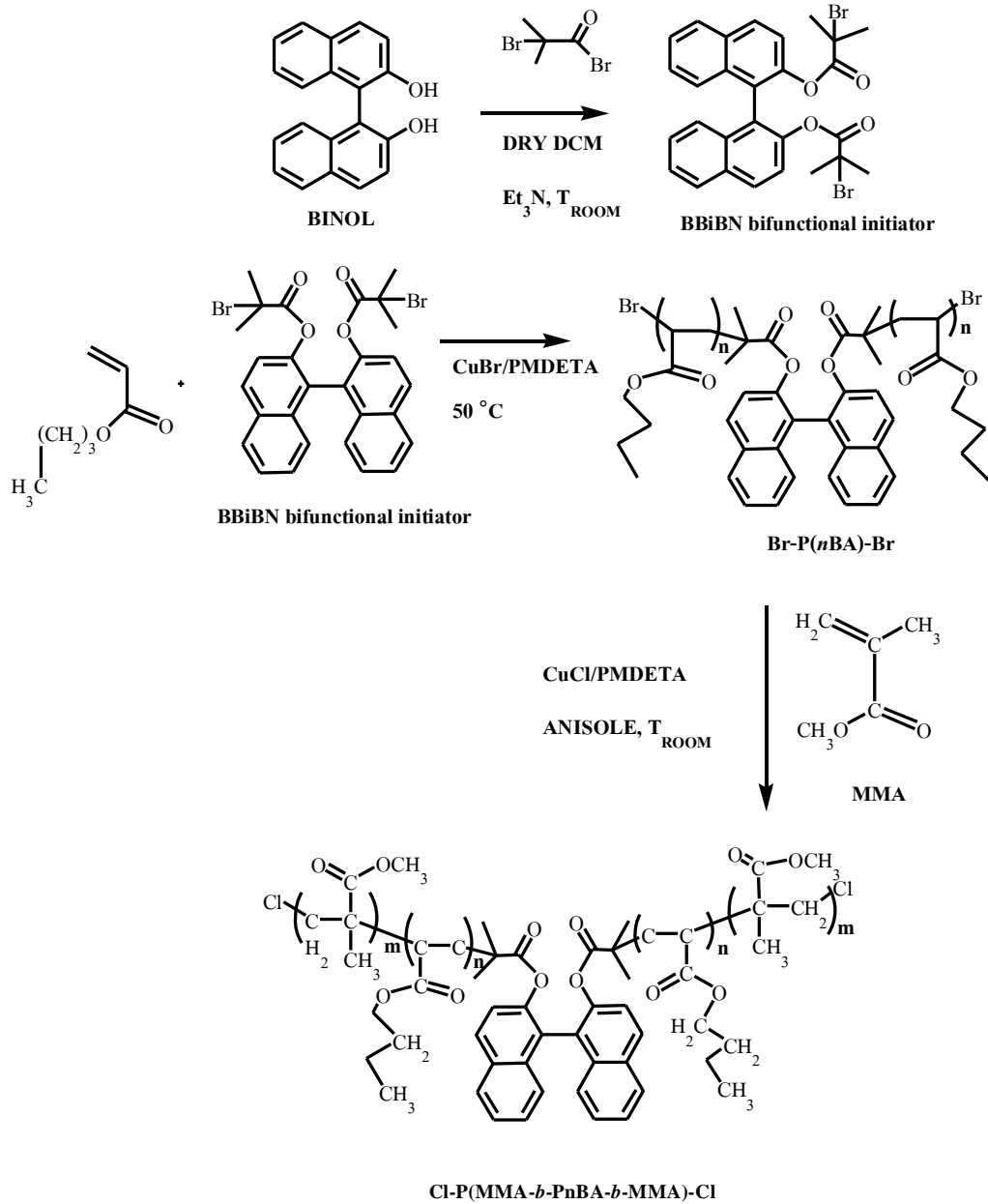


รูปที่ 2.13 โครงสร้างลิแกนด์ชนิดต่างๆ ที่ใช้ในระบบการสังเคราะห์แบบ ATRP [32]

นอกจากนั้นแล้วในระบบ ATRP ยังนิยมใช้ตัวทำละลายในการทำปฏิกิริยาด้วย ซึ่งการเลือกตัวทำละลายมีความสำคัญอย่างมากสำหรับการสังเคราะห์เนื่องจากระบบจะต้องสามารถละลายสารตั้งต้น มอนอเมอร์ และสารเร่งปฏิกิริยาเพื่อให้ได้สารละลายเนื้อเดียวกัน มิเช่นนั้นปฏิกิริยาการสังเคราะห์พอลิเมอร์จะไม่สามารถเกิดได้ อย่างไรก็ตามมีข้อควรระวังตัวทำละลายอาจจะมีส่วนทำให้ระบบเกิดปฏิกิริยาโยกย้ายสายโซ่ ส่งผลให้พอลิเมอร์ที่สังเคราะห์ได้จะมีน้ำหนักโมเลกุลต่ำและการกระจายตัวของน้ำหนักโมเลกุลสูง และอัตราการเกิดปฏิกิริยายังต่ำกว่าเมื่อเทียบกับระบบการสังเคราะห์แบบบัลค์ (Bulk polymerization)[44]

กล่าวโดยสรุปแล้วข้อดีของปฏิกิริยาการเกิดพอลิเมอร์แบบ ATRP คือ สามารถเตรียมพอลิเมอร์ร่วมแบบบล็อกภายใต้เงื่อนไขที่ไม่ยุ่งยากจนเกินไปนักเมื่อเทียบกับปฏิกิริยาการเกิดพอลิเมอร์แบบแอนไอออนและสามารถทำปฏิกิริยาที่อุณหภูมิห้องได้และให้ผลิตภัณฑ์ที่มีค่าการกระจายตัวของน้ำหนักโมเลกุลที่ต่ำเมื่อเทียบกับปฏิกิริยาการเกิดพอลิเมอร์อิสระแบบถูกควบคุมแบบอื่นๆ

ด้วยเหตุผลดังกล่าวปฏิกิริยาการเกิดพอลิเมอร์แบบ ATRP จึงถูกนำมาใช้เตรียมพอลิเมอร์ร่วมแบบบล็อกชนิดต่างๆ เช่น สไตรีน อะคริโลไนไตรล์ และมอนอเมอร์ในตระกูลอะคริเลต [32] โดยตัวอย่างกลไกปฏิกิริยาการเกิดพอลิเมอร์ร่วมแบบบล็อกจากบิวทิลอะคริเลตและเมทิลเมทาคริเลตแบบ ATRP แสดงได้ดังรูปที่ 2.14



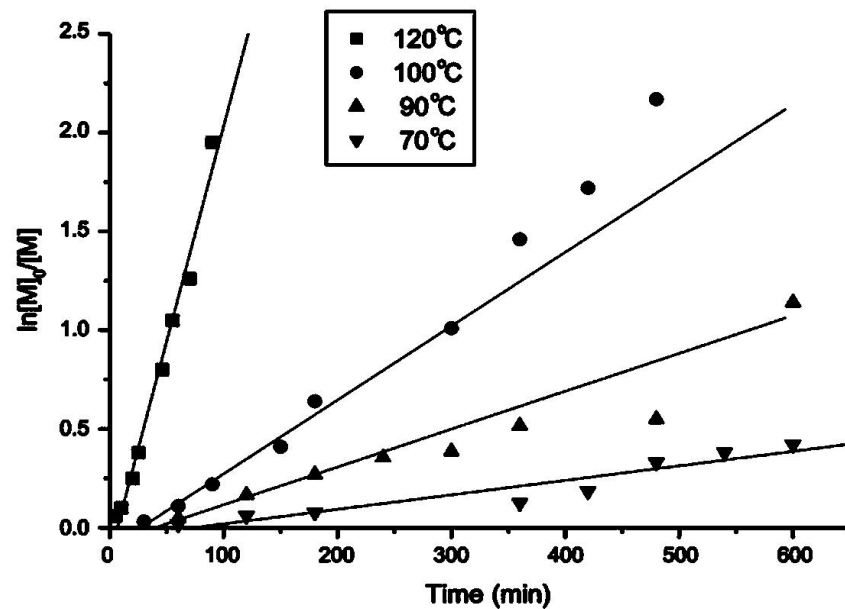
รูปที่ 2.14 กลไกปฏิกิริยาการเกิดพอลิเมอร์ร่วมแบบบล็อกจากบิวทิลอะคริเลตกับเมทิลเมทาคริเลตแบบ ATRP [45]

ผลกระทบของตัวแปรในการทำปฏิกิริยา ATRP กับปริมาณผลิตภัณฑ์และน้ำหนักโมเลกุล

ปัจจัยที่มีผลต่อปฏิกิริยาการสังเคราะห์พอลิเมอร์แบบ ATRP นั้นมีด้วยกันหลายปัจจัย เช่น อุณหภูมิ เวลา ความเข้มข้นของตัวเริ่มปฏิกิริยา ความเข้มข้นของสารเร่งปฏิกิริยา (สารประกอบโลหะทรานซิชันและลิแกนด์) เป็นต้น โดยปัจจัยดังกล่าวจะส่งผลกระทบต่อปฏิกิริยาการเกิดพอลิเมอร์ ในด้านของอัตราการเกิดปฏิกิริยา ปริมาณสารผลิตภัณฑ์ และน้ำหนักโมเลกุล เป็นต้น โดยมีตัวอย่างและรายละเอียดดังต่อไปนี้

อุณหภูมิและเวลา

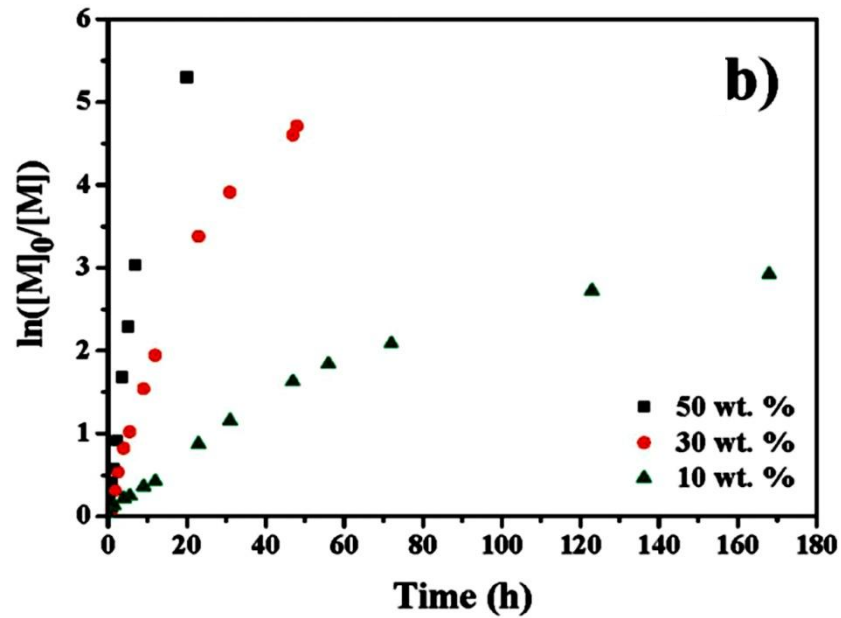
ส่วนใหญ่แล้วปฏิกิริยาการเกิดพอลิเมอร์แบบ ATRP จะเกิดได้เร็วขึ้นเมื่ออุณหภูมิสูงขึ้น เนื่องจากตัวเริ่มปฏิกิริยาจะแตกตัวได้เร็วที่อุณหภูมิสูงส่งผลให้อัตราการเกิดปฏิกิริยาเกิดได้เร็วขึ้น เช่น การสังเคราะห์พอลิเฮกซะเดคิลอะคริเลต (PHDA) ที่อุณหภูมิต่างๆ พบว่าที่อุณหภูมิ 120 องศาเซลเซียส นั้นอัตราการเกิดปฏิกิริยาเกิดได้เร็วที่สุด ดังแสดงในรูปที่ 2.15 (โดยอุณหภูมิที่ทำการสังเคราะห์ คือ 120, 100, 90 และ 70 องศาเซลเซียส) [46] เมื่อปฏิกิริยาเกิดได้ก็จะส่งผลให้ปริมาณผลิตภัณฑ์และน้ำหนักโมเลกุลสูงตามไปด้วย



รูปที่ 2.15 อิทธิพลของอุณหภูมิที่มีผลต่ออัตราการเกิดปฏิกิริยาพอลิเมอร์แบบ ATRP ของพอลิเฮกซะเดคิลอะคริเลต [46]

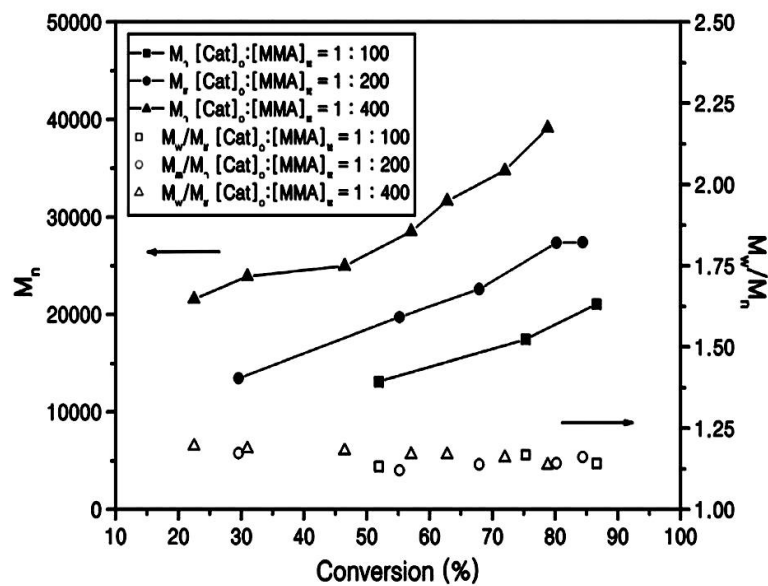
ความเข้มข้นของมอนอเมอร์

ความเข้มข้นของมอนอเมอร์ในระบบปฏิกิริยาการเกิดพอลิเมอร์ มีผลต่อปริมาณสารผลิตภัณฑ์และน้ำหนักโมเลกุลของพอลิเมอร์ที่ได้จากการสังเคราะห์ กล่าวคือระบบการสังเคราะห์พอลิเมอร์ที่มีความเข้มข้นของมอนอเมอร์สูง จะส่งผลให้อัตราปฏิกิริยาการเกิดพอลิเมอร์ขึ้นแผ่ขยาย (Propagation) จึงทำให้พอลิเมอร์ที่สังเคราะห์ได้มีปริมาณผลิตภัณฑ์และน้ำหนักโมเลกุลสูง เช่น การสังเคราะห์พอลิเมธิลเมทาคริเลต โดยใช้มอนอเมอร์ที่มีความเข้มข้นเท่ากับร้อยละ 50, 30 และ 10 พบว่าระบบที่มีความเข้มข้นสูงกว่าจะมีอัตราการเกิดพอลิเมอร์ที่สูงกว่า ดังแสดงในรูปที่ 2.16



รูปที่ 2.16 อิทธิพลความเข้มข้นของมอนอเมอร์ที่มีผลต่ออัตราการเกิดปฏิกิริยาการเกิดพอลิเมอร์แบบ ATRP ของพอลิเมทิลเมทาคริเลต [47]

รูปที่ 2.17 แสดงน้ำหนักโมเลกุลและการกระจายตัวของน้ำหนักโมเลกุลของพอลิเมทิลเมทาคริเลต ที่มีการสังเคราะห์โดยใช้มอนอเมอร์ที่มีความเข้มข้นต่างกัน [48] พบว่าที่พอลิเมอร์จากสภาวะการสังเคราะห์พอลิเมอร์ที่มีความเข้มข้นของมอนอเมอร์สูงกว่าจะมีน้ำหนักโมเลกุลสูงกว่า ซึ่งเป็นไปตามเหตุผลที่กล่าวมาข้างต้น

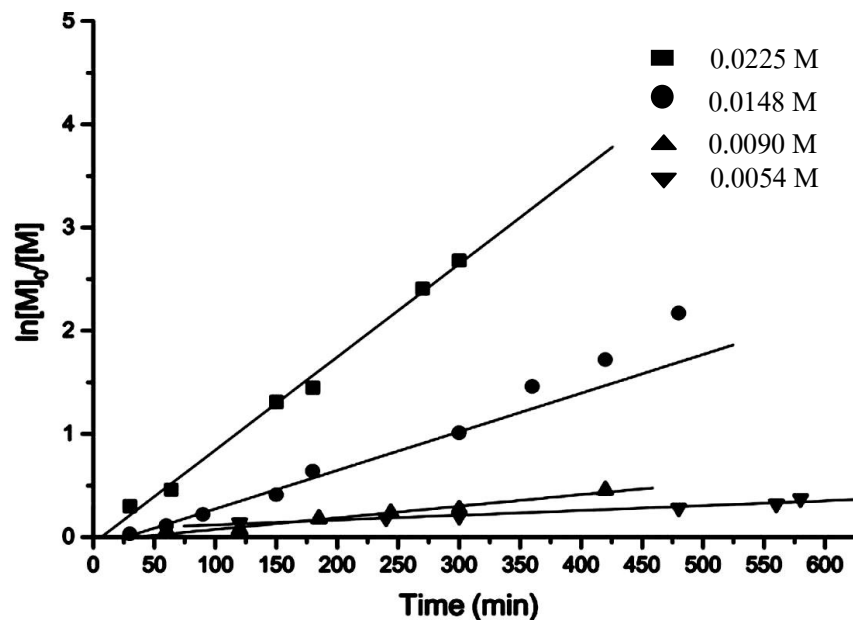


รูปที่ 2.17 อิทธิพลความเข้มข้นของมอนอเมอร์ที่มีผลต่อน้ำหนักโมเลกุลของพอลิเมทิลเมทาคริเลต ในปฏิกิริยาการเกิดพอลิเมอร์แบบ ATRP [48]

ตัวเริ่มปฏิกิริยา

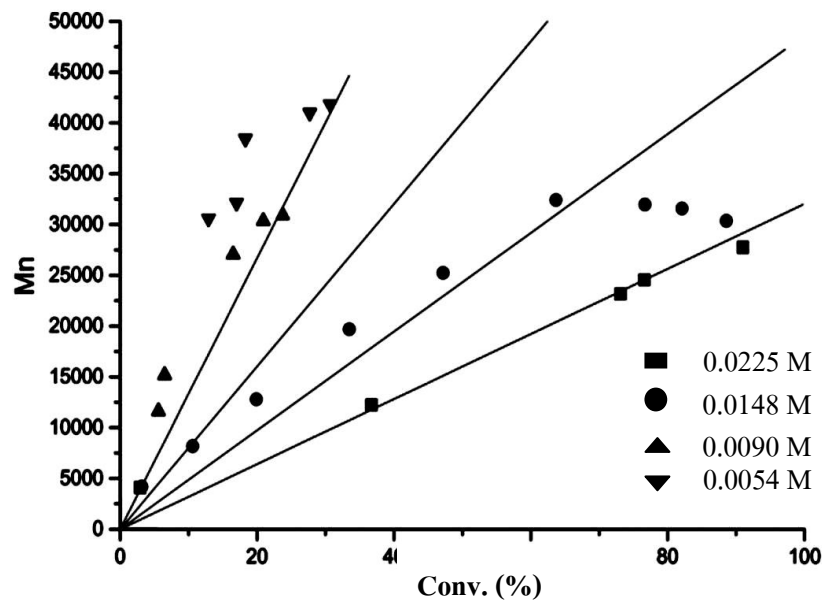
โดยทั่วไปแล้วตัวเริ่มปฏิกิริยาประเภทอัลคิลโบรไมด์และอัลคิลคลอไรด์ที่ถือว่าเป็นตัวเริ่มปฏิกิริยาที่ใช้ได้ดีสำหรับระบบการสังเคราะห์แบบ ATRP [43] นอกจากนี้ในการเลือกตัวเริ่มปฏิกิริยานั้นควรคำนึงถึงโครงสร้างเคมีของหมู่อัลคิลด้วยกล่าวคือปฏิกิริยาควรมีโครงสร้างคล้ายกับโครงสร้างมอนอเมอร์ที่จะทำการสังเคราะห์ เช่น มอนอเมอร์ที่มีหมู่เอสเทอร์ในโครงสร้างจะเลือกตัวเริ่มปฏิกิริยาที่มีหมู่เอสเทอร์คล้ายกัน เช่น ไดเมทิล-2,6-ไดโบรโมเฮปแทนไดโอด (DMDBHD) นอกจากนี้จำนวนหมู่ฟังก์ชันที่อยู่ในโครงสร้างโมเลกุลของตัวเริ่มปฏิกิริยายังเป็นตัวกำหนดโครงสร้างของพอลิเมอร์ได้ เช่น พอลิเมอร์ร่วมแบบบล็อก สตาร์-พอลิเมอร์ เป็นต้น [49]

ในแง่ของปริมาณที่ใช้หากมีการเติมตัวเริ่มปฏิกิริยาเข้าไปมากจะเสมือนเป็นการเพิ่มตำแหน่งในการเกิดปฏิกิริยามากขึ้น ส่งผลให้ปฏิกิริยาเกิดได้มากขึ้นตามไปด้วย เช่น การสังเคราะห์พอลิเฮกซะเดคิลอะคริเลต (PHDA) โดยใช้เอทิล-2-โบรโมโพรพิโอเนต (EBP) เป็นตัวเริ่มปฏิกิริยาพบว่าที่ปริมาณตัวเริ่มปฏิกิริยาที่สูงขึ้นส่งผลให้อัตราการเกิดปฏิกิริยา (Propagation rate) สูงขึ้น ดังแสดงในรูปที่ 2.18 [46]



รูปที่ 2.18 ความเข้มข้นของตัวเริ่มปฏิกิริยาที่มีผลต่ออัตราการเกิดปฏิกิริยาของพอลิเฮกซะเดคิลอะคริเลตในปฏิกิริยาการเกิดพอลิเมอร์แบบ ATRP [46]

อย่างไรก็ตามหากมีปริมาณของตัวเริ่มปฏิกิริยามากเกินไปอาจจะทำให้ได้ปริมาณผลิตภัณฑ์และน้ำหนักโมเลกุลที่ต่ำ เนื่องจากตำแหน่งของเกิดปฏิกิริยาที่มากเกินไปอาจจะส่งผลให้เกิดการรวมตัวกันเองของอนุมูลอิสระที่ปลายสายโซ่โมเลกุล จึงทำให้ตำแหน่งของการเกิดปฏิกิริยาลดลงและเป็นการหยุดปฏิกิริยาการเกิดพอลิเมอร์ ดังนั้นในทางปฏิบัติจึงจำเป็นต้องเติมตัวเริ่มปฏิกิริยาในสัดส่วนที่เหมาะสม ตัวอย่างเช่น ในการสังเคราะห์พอลิเฮกซะเดคิลอะคริเลต (PHDA) โดยใช้ เอทิล-2-โบรโมโพรพิโอเนต (EBP) ทำหน้าที่เป็นตัวเริ่มปฏิกิริยา พบว่าระบบที่มีปริมาณตัวเริ่มปฏิกิริยาน้อยกว่า (0.0054 โมลต่อลิตร) ส่งผลให้น้ำหนักโมเลกุลของสารผลิตภัณฑ์สูงกว่า (มีค่าประมาณ 42,500 กรัม/โมล ที่ค่าการแปรผันของมอนอเมอร์ (Conversion) เท่ากับร้อยละ 30) ในขณะที่ระบบที่มีปริมาณตัวเริ่มปฏิกิริยาที่มากกว่า (0.0225 โมลาร์ มีค่าประมาณ 7,500 กรัม/โมล ที่ค่าการแปรผันของมอนอเมอร์ (Conversion) เท่ากับร้อยละ 30) (รูปที่ 2.19)



รูปที่ 2.19 ความเข้มข้นของตัวเริ่มปฏิกิริยาที่มีผลต่อน้ำหนักโมเลกุลของพอลิเฮกซะเดคิลอะคริเลต ในปฏิกิริยาการเกิดพอลิเมอร์แบบ ATRP [46]

ปริมาณของสารเร่งปฏิกิริยา

ในทำนองเดียวกันโดยทั่วไปแล้วพบว่าปริมาณสารเร่งปฏิกิริยาที่มากจะทำให้ปฏิกิริยาการเกิดพอลิเมอร์หรือปฏิกิริยาไปข้างหน้าเกิดได้มาก จึงส่งผลให้ปริมาณสารผลิตภัณฑ์และน้ำหนักโมเลกุลสูง แต่อย่างไรก็ตามในกรณีที่ปริมาณสารเร่งปฏิกิริยาที่มากเกินไปอาจจะทำให้ปริมาณสารผลิตภัณฑ์และน้ำหนักโมเลกุลต่ำได้ เนื่องจากเกิดปฏิกิริยาข้างเคียง ทำให้สายโซ่โมเลกุลหยุดการโตเนื่องจากอาจจะมอดูลอิสระมาจับที่ตำแหน่งปลายสายโซ่ ตัวอย่างเช่น ในการสังเคราะห์พอลิเมทิลเมทาคริเลต (ตารางที่ 2.2) [50] พบว่าปริมาณสารผลิตภัณฑ์และน้ำหนักโมเลกุลตามปริมาณของ

คอปเปอร์โบรไมด์ แต่เมื่อปริมาณของคอปเปอร์โบรไมด์เพิ่มขึ้นเท่ากับ 3.45 มิลลิโมล พบว่าปริมาณสารผลิตภัณฑ์และน้ำหนักโมเลกุลลดลง

ตารางที่ 2.2 ปริมาณสารผลิตภัณฑ์ น้ำหนักโมเลกุลและค่าการกระจายตัวของน้ำหนักโมเลกุลของพอลิเมธิลเมธาคริเลตที่ใช้คอปเปอร์โบรไมด์ปริมาณต่างๆ [50]

คอปเปอร์โบรไมด์ (มิลลิโมล)	ปริมาณผลิตภัณฑ์ (ร้อยละ)	M_n (กรัม/โมล)	M_w (กรัม/โมล)	M_w / M_n
1.15	4.2	1,844	2757	1.5
1.72	20.5	12,397	23,977	1.9
2.30	25.0	12,772	29,027	2.3
2.87	20.8	13,048	36,959	2.8
3.45	6.1	5874	14,057	2.4

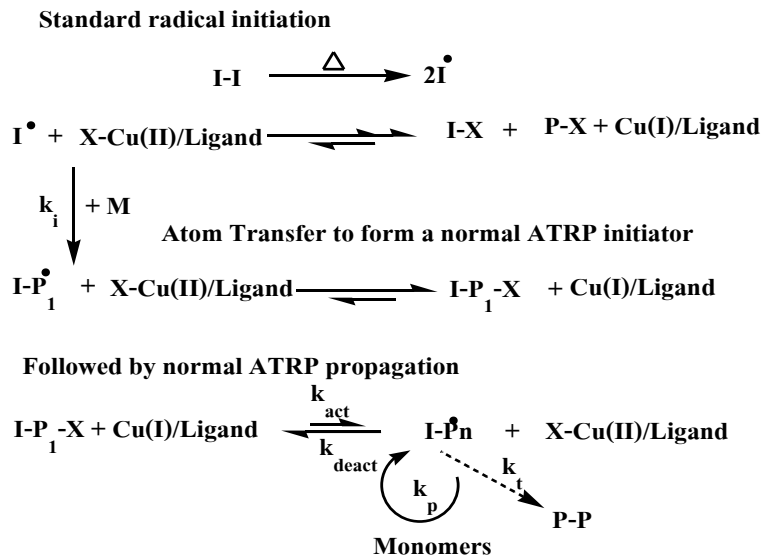
สภาวะการสังเคราะห์: PMDETA 2.3 มิลลิโมล MMA 25 มิลลิลิตร $[MMA] = 40\% v/v$ ในโทลูอิน 90 องศาเซลเซียส 2 ชั่วโมง

2.3.3.3 ปฏิกริยาการเกิดพอลิเมอร์แบบ reverse ATRP

ระบบการสังเคราะห์พอลิเมอร์แบบ reverse ATRP เป็นปฏิกริยารีดอกซ์ที่ผันกลับได้ซึ่งเกิดขึ้นระหว่างสารอัลคิลเฮไลด์กับสารประกอบเชิงซ้อนของโลหะทรานสิชัน คล้ายกับระบบ ATRP แบบปกติ ยกเว้นชนิดของสารประกอบคอปเปอร์ ซึ่งเปลี่ยนเป็นสารประกอบเฮไลด์ของโลหะทรานสิชันที่มี เลขออกซิเดชันเท่ากับสอง เช่น เปลี่ยนจาก CuBr เป็น CuBr₂ เป็นต้น และใช้ร่วมกับตัวเริ่มปฏิกริยาที่แตกตัวเป็นอนุมูลอิสระได้ด้วยความร้อน เช่น อะโซบิสไอโซบิวทิโรไนไตรล์ (AIBN) จากนั้นอนุมูลอิสระจะเข้าจับกับมอนอเมอร์เกิดการโตของสายโซ่โมเลกุลดังกล่าว ส่งผลให้สารประกอบ CuX₂ เปลี่ยนรูปไปเป็นสารประกอบ CuX ซึ่งสามารถชักนำปฏิกริยา ATRP แบบปกติให้เกิดขึ้นต่อไปควบคู่ไปกับการเกิดปฏิกริยาโยกย้ายอะตอมของเฮไลด์ที่มาจับบริเวณปลายสายโซ่โมเลกุลดังกล่าว เพียงแต่อะตอมของเฮไลด์มาจากสารประกอบคอปเปอร์ (II) เฮไลด์ (เช่น CuCl₂ หรือ CuBr₂) มิได้มาจากตัวเริ่มปฏิกริยาประเภทอัลคิลเฮไลด์ โดยกลไกปฏิกริยาการสังเคราะห์พอลิเมอร์แบบ reverse ATRP แสดงในรูปที่ 2.20

ระบบการสังเคราะห์ดังกล่าวมีข้อดีในด้านของการที่สามารถป้องกันการสูญเสียสารประเหไลด์ของโลหะทรานสิชันจากการเกิดปฏิกริยาออกซิเดชัน ทั้งนี้เนื่องจากสารคอปเปอร์ (II) ที่ใช้ในระบบมีความว่องไวต่อออกซิเจนน้อยกว่าสารประกอบคอปเปอร์ (I)

อย่างไรก็ตามมีข้อสังเกตว่าการสังเคราะห์พอลิเมอร์แบบ reverse ATRP จะไม่สามารถใช้สังเคราะห์พอลิเมอร์ร่วมที่มีโครงสร้างแบบไตรบล็อกได้ เนื่องจากหมู่ปลายสายโซ่ของตัวเริ่มปฏิกิริยาแบบแมคโครขาด capping agent ยกเว้นจะดำเนินปฏิกิริยาทั้งสิ้น 3 ขั้นตอน คือ การสังเคราะห์ไฮโมพอลิเมอร์ พอลิเมอร์ร่วมแบบโคบล็อกและไตรบล็อก ตามลำดับ

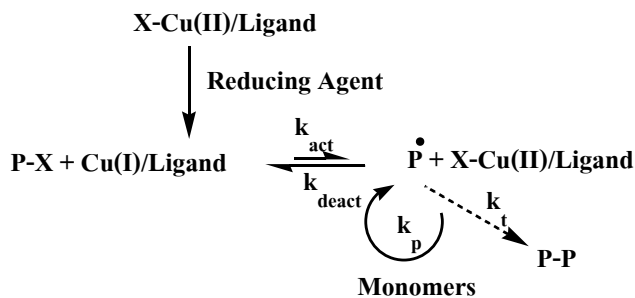


รูปที่ 2.20 กลไกปฏิกิริยาการเกิดพอลิเมอร์แบบ reverse ATRP [51]

2.3.3.4 ปฏิกิริยาการเกิดพอลิเมอร์แบบ ARGET-ATRP

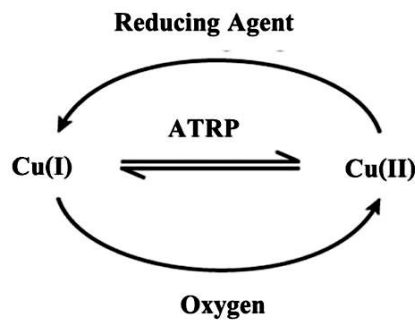
(Activator regenerated by electron transfer)

ในทำนองเดียวกันปฏิกิริยาการเกิดพอลิเมอร์แบบ ARGET-ATRP เป็นปฏิกิริยารีดอกซ์ที่ผันกลับได้ซึ่งเกิดขึ้นระหว่างสารอัลคิลเฮไลด์กับสารประกอบเชิงซ้อนของโลหะทรานสิชัน เช่นเดียวกับระบบ ATRP แบบปกติ อย่างไรก็ตามระบบปฏิกิริยาแบบแรกจะมีการเติมสารรีดิวซ์เข้าไปในปฏิกิริยาพร้อมกับสารประกอบเฮไลด์ของโลหะทรานสิชันที่มีเลขออกซิเดชันเท่ากับ 2 เช่น $CuBr_2$ โดยสารรีดิวซ์จะทำหน้าที่เปลี่ยนสารประกอบ $CuBr_2$ เป็นสารประกอบ $CuBr$ ทำให้ปฏิกิริยาดำเนินไปเช่นเดียวกับระบบ ATRP แบบปกติ ดังแสดงในรูปที่ 2.21



รูปที่ 2.21 กลไกการเกิดพอลิเมอร์แบบ ARGET-ATRP [52]

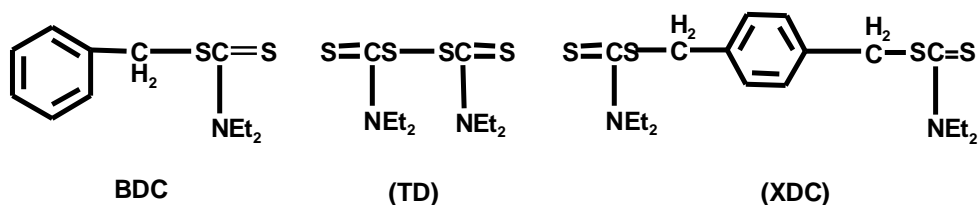
สำหรับตัวอย่างสารที่ทำหน้าที่เป็นตัวรีดิวซ์ เช่น ทิน(II)-2-เอทิลเฮกซะโนเอท (Sn(EH)₂) กรดแอสคอบิก กลูโคส ไฮดราซีน (N₂H₄) ฟีนิลไฮดราซีน (C₆H₅N₂) เป็นต้น [52] ซึ่งการที่มีสารรีดิวซ์ในระบบการสังเคราะห์ดังกล่าว จะช่วยลดข้อจำกัดของการสังเคราะห์ในระบบ ATRP แบบปกติที่อาจจะมีการสูญเสียสารประกอบเฮไลด์ของโลหะทรานสิชันที่มีเลขออกซิเดชันเท่ากับ 1 เช่น CuBr ไปเนื่องจากเกิดปฏิกิริยาออกซิเดชันโดยออกซิเจนที่อาจจะปนเปื้อนอยู่ในระบบ ส่งผลให้ปฏิกิริยาไม่สามารถดำเนินต่อไปได้ (ดังรูปที่ 2.22) และด้วยเหตุผลข้างต้นจึงทำให้ปริมาณสารประกอบคอปเปอร์ที่ใช้ในปฏิกิริยาการเกิดพอลิเมอร์แบบARGET-ATRP จึงน้อยกว่าที่ใช้ในปฏิกิริยาการเกิดพอลิเมอร์แบบ ATRP แบบปกติ [49]



รูปที่ 2.22 การเปลี่ยนคอปเปอร์ (II) (Cu^{II}) ให้กลับมาเป็นคอปเปอร์ (I) (Cu^I) ของ สารรีดิวซ์ที่เกิดขึ้นในระบบ ARGET-ATRP [53]

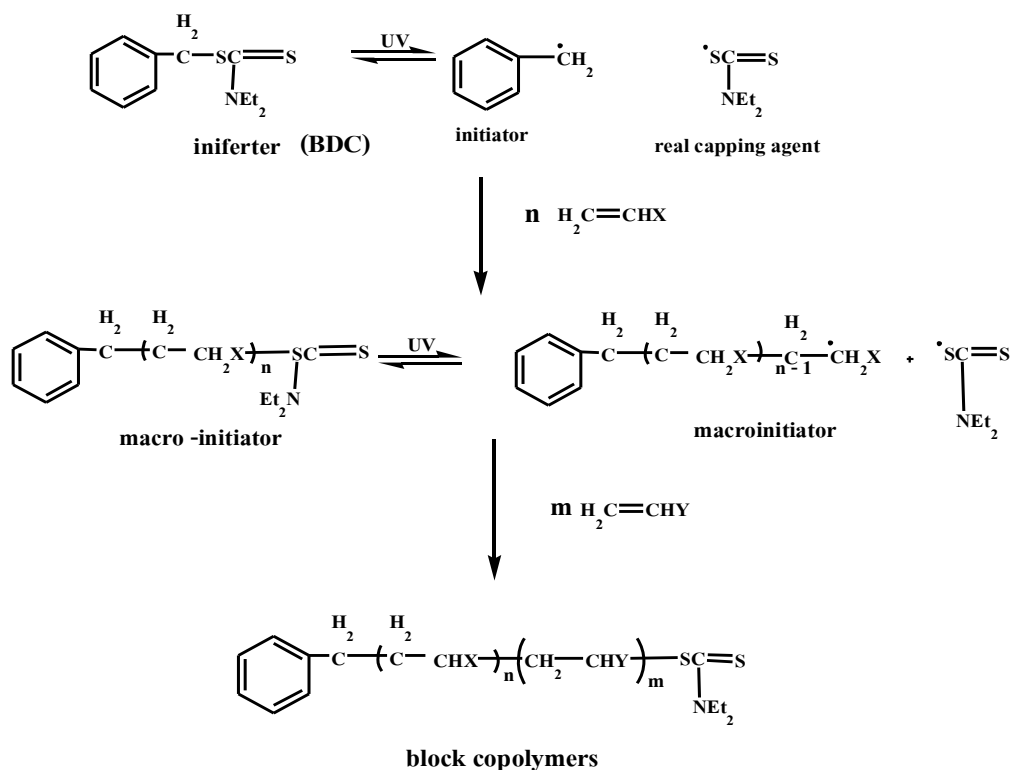
2.3.3.5 ปฏิกิริยาการเกิดพอลิเมอร์โดยใช้สารอินนิเฟอ์เตอร์ (Iniferter polymerization)

อินนิเฟอ์เตอร์ หมายถึงสารที่ทำหน้าที่เป็นได้ทั้งตัวเริ่มปฏิกิริยา (Initiator) ตัวโยกย้ายสายโซ่ (Chain transfer agent) และตัวยุติปฏิกิริยา (Terminator) ในโมเลกุลเดียวกัน ซึ่งโดยทั่วไปแล้วสารดังกล่าวมักเป็นสารประกอบอินทรีย์ซัลไฟด์ เช่น เตตระเอทิลไซยูเรมไดซัลไฟด์ (TD) เบนซิลไดเอทิลไดไซโอคาร์บาเมต (BDC) ไชลีนิลบิสไดเอทิลไดไซโอคาร์บาเมต (XDC) และฟีนิลอะโซไตรฟีนิลมีเทน เป็นต้น (รูปที่ 2.23)



รูปที่ 2.23 โครงสร้างเคมีของอินนิเฟอ์เตอร์บางชนิด [32]

ซึ่งเมื่อได้รับพลังงานแสงสารอินิเฟอ์เตอร์จะสามารถแตกตัวที่พันธะ C-S หรือ S-S ให้อนุมูลอิสระ 2 ชนิด ยกตัวอย่างเช่น เบนซิลไดเอทิลไดไซโอคาร์บาเมท (BDC) เมื่อแตกตัวเป็นอนุมูลอิสระจะได้อนุมูลอิสระของหมู่เบนซิล (Benzyl radical) ซึ่งเป็นตัว่องไวต่อการเกิดปฏิกิริยาและอนุมูลอิสระของหมู่ไดเอทิลไดไซโอคาร์บาเมท (DC radical) ซึ่งจะทำหน้าที่เป็นตัวยุติปฏิกิริยา โดยจะไปจับกับอนุมูลอิสระบนสายโซ่ พอลิเมอร์ที่กำลังโตส่งผลให้สายโซ่โมเลกุลที่กำลังโตนั้นไม่ว่องไวอีกต่อไป แต่อย่างไรก็ตามเมื่อมีการกระตุ้นด้วยพลังงาน เช่น ความร้อนหรือแสง พันธะที่เชื่อมระหว่างสายโซ่โมเลกุลกับไดไซโอคาร์บาเมทอยู่นั้นจะถูกทำลายและเกิดเป็นสายโซ่อนุมูลอิสระที่มีความว่องไวในการเกิดปฏิกิริยาอีกครั้ง โดยการเกิดปฏิกิริยาดังกล่าวโดยปฏิกิริยาในลักษณะดังกล่าวสามารถนำไปประยุกต์ใช้ในปฏิกิริยาการเกิดพอลิเมอร์ร่วมแบบบล็อก ดังแสดงในรูปที่ 2.24



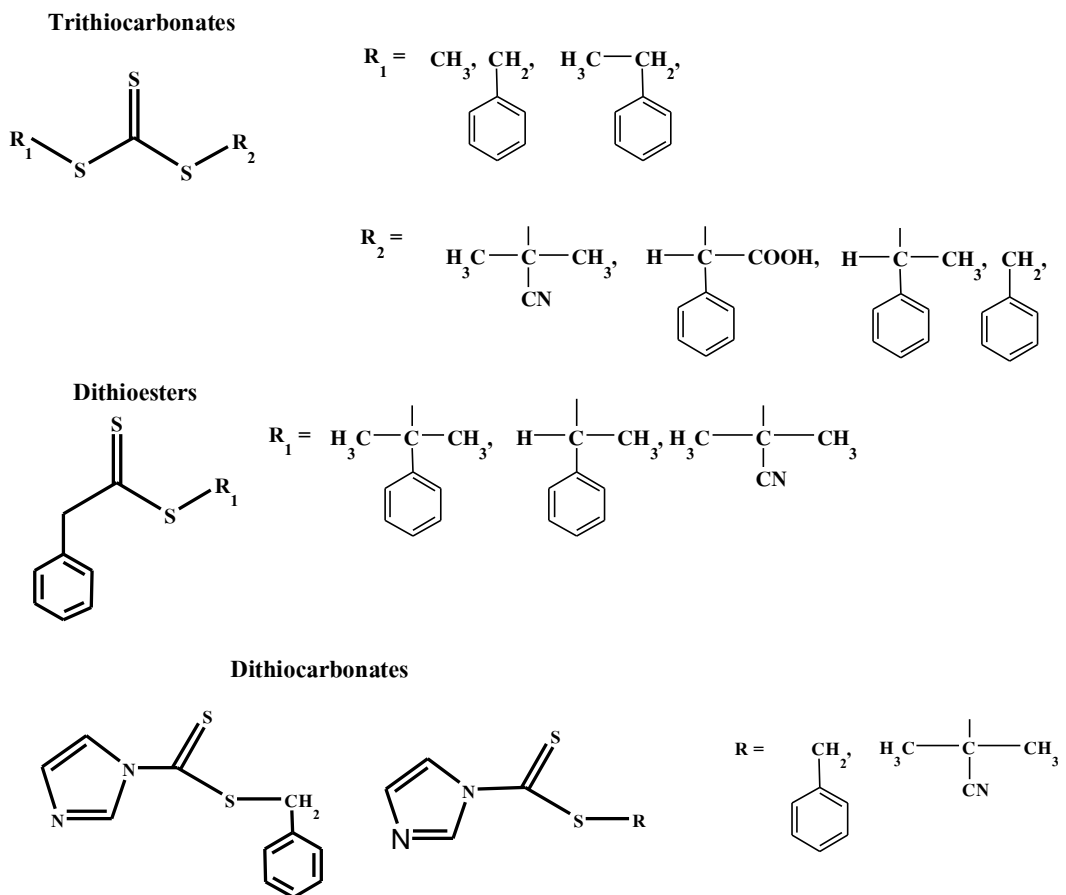
รูปที่ 2.24 ปฏิกิริยาการเกิดพอลิเมอร์แบบบล็อกโดยใช้สารอินิเฟอ์เตอร์ [32]

ข้อดีของปฏิกิริยาการเกิดพอลิเมอร์โดยใช้สารอินิเฟอ์เตอร์ คือ สามารถเตรียมสามารถพอลิเมอร์ร่วมแบบบล็อกได้ แต่อย่างไรก็ตามพบว่าพอลิเมอร์ที่สังเคราะห์ได้จะมีการกระจายตัวของน้ำหนักโมเลกุลค่อนข้างสูงโดยทั่วไปอยู่ในช่วงระหว่าง 2.20 ถึง 2.90 [54] เมื่อเทียบกับปฏิกิริยาการเกิดพอลิเมอร์แบบอนุมูลอิสระที่ถูกควบคุมอื่นๆ เช่น ปฏิกิริยาอะตอมทรานส์เฟอร์เรดิคอลพอลิเมอไรเซชัน (มีค่าประมาณ 1.10 ถึง 1.20) [55]

2.3.3.6 ปฏิกริยาการเกิดพอลิเมอร์แบบ RAFT

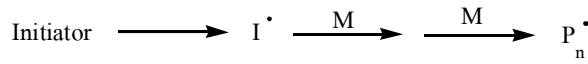
(Reversible addition-fragmentation chain transfer polymerization)

ปฏิกริยาการเกิดพอลิเมอร์โดยกลไกแบบ RAFT เป็นปฏิกริยาการสังเคราะห์พอลิเมอร์แบบมีชีวิตชนิดหนึ่ง ซึ่งสาร capping agent ในที่นี้จะเป็นสารประกอบไรโอคาร์บอเนต (Thiocarbonate compound) ชนิดต่างๆ (รูปที่ 2.25) โดยปฏิกริยาเริ่มจากการแตกตัวของตัวเริ่มปฏิกริยาเป็นอนุมูลอิสระเข้าทำปฏิกริยากับมอนอเมอร์เกิดเป็นสายโซ่โม่เลกุลที่กำลังเติบโต สายโซ่ดังกล่าวเข้าจับกับสาร capping agent ทำให้เกิดการโยกย้ายของอนุมูลอิสระไปยังอะตอมคาร์บอนที่อยู่ตรงกลาง (Carbon-center radical) แล้วเกิดการโยกย้ายของอนุมูลอิสระต่อไปทำให้หมู่ฟังก์ชันที่อยู่ถัดจากอะตอมคาร์บอนในตำแหน่งเบต้าเกิดการหลุดออก (β -scission) เป็นอนุมูลอิสระเข้าทำปฏิกริยากับมอนอเมอร์เกิดเป็นสายโซ่โม่เลกุลที่กำลังเติบโต จากนั้นปฏิกริยาก็จะเกิดในลักษณะเดียวกันสลับไปมา (ดังรูปที่ 2.26) ด้วยลักษณะการเกิดปฏิกริยาดังกล่าวจึงสามารถที่จะใช้ในการเตรียมพอลิเมอร์ร่วมแบบบล็อกได้

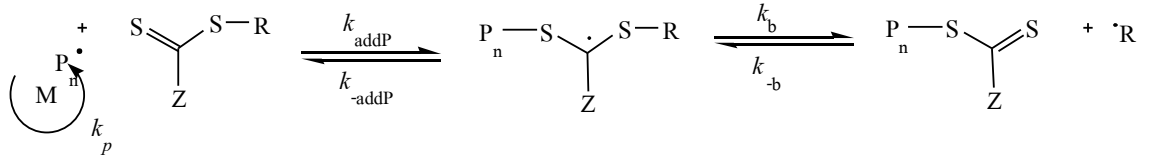


รูปที่ 2.25 ชนิด capping agent ในระบบการเกิดพอลิเมอร์แบบ RAFT [32]

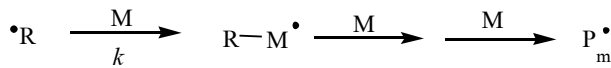
Initiation



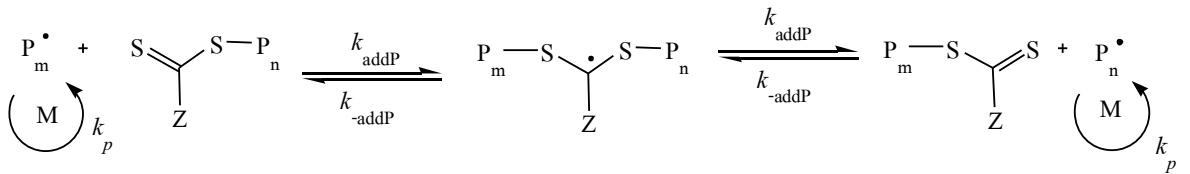
Reversible chain transfer / propagation



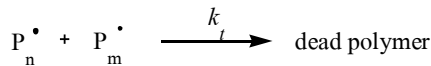
Reinitiation



Chain equilibration / propagation



Termination



รูปที่ 2.26 กลไกการเกิดพอลิเมอร์แบบ RAFT [56]

ข้อดีของปฏิกิริยาการเกิดพอลิเมอร์แบบ RAFT คือ พอลิเมอร์ที่ได้จากการสังเคราะห์จะมีการกระจายตัวของน้ำหนักโมเลกุลต่ำ กล่าวคือมีค่าอยู่ระหว่าง 1.15 ถึง 1.20 [57] นอกจากนี้ตัวทำละลายที่ใช้ในระบบสามารถใช้ได้หลากหลายชนิดรวมทั้งน้ำด้วย และไม่มีข้อจำกัดในเรื่องของสิ่งปนเปื้อนหรือออกซิเจนที่จะเข้ามาทำให้ปฏิกิริยาเกิดการยุติลง [56] แต่อย่างไรก็ตามการสังเคราะห์พอลิเมอร์ด้วยระบบดังกล่าวยังมีข้อจำกัดในเรื่องของความเสถียรของสาร RAFT agent โดยเฉพาะอย่างยิ่งในระบบที่ต้องใช้เวลานาน และนอกจากนี้ในระหว่างการแตกตัวของสาร capping agent หรือสารจำพวกไรโอคาร์บอนอนจะมีกลิ่นที่ฉุนมาก อีกทั้งยังมีสีที่ค่อนข้างเข้มซึ่งอาจจะไม่เหมาะกับการใช้งานของผลิตภัณฑ์ในบางประเภท ซึ่งต้องอาศัยขั้นตอนในการทำบริสุทธิ์ทั้งทางเคมีและทางกายภาพต่อไป [56]

บทที่ 3 การดำเนินงานวิจัย

ขั้นตอนการดำเนินงานวิจัยแบ่งเป็น 3 ส่วนคือ

1. การสังเคราะห์ไดอัลคิลิธาโคเนตด้วยปฏิกิริยาการเตรียมเอสเทอร์ฟิเคชัน
2. การสังเคราะห์พอลิไดอัลคิลิธาโคเนตด้วยปฏิกิริยาการเกิดพอลิเมอร์แบบอะตอมทรานส์เฟอร์ แรดิคอลพอลิเมอไรเซชัน (ATRP) และการวิเคราะห์สารผลิตภัณฑ์
3. การศึกษาความเป็นไปได้ในการสังเคราะห์พอลิเมอร์ร่วมแบบบล็อกจากไดอัลคิลิธาโคเนต ชนิดต่าง ๆ โดยมีรายละเอียดของสารเคมี อุปกรณ์ และขั้นตอนการทดลอง ดังสรุปในหัวข้อที่ 3.1-3.2

3.1 การเตรียมอุปกรณ์และสารเคมีในการทดลอง

3.1.1 อุปกรณ์ที่ใช้ในการทดลอง

3.1.1.1 เครื่องแก้ว

- แท่งแก้วคน
- ขวดก้นกลมสามคอ
- วาล์วสามทาง
- กรวยกรอง
- กรวยแยกสาร
- บีกเกอร์ขนาด 50, 100, 250, 500 และ 1000 มิลลิลิตร
- คอลัมน์โครมาโตกราฟี
- ขวดรูปชมพู่
- คอนเดนเซอร์
- หลอดเอ็นเอ็มอาร์ (NMR tube)

3.1.1.2 อุปกรณ์อื่นๆ

- เครื่องให้ความร้อนและกวนสารละลาย (Hot plate stirrer)
- กระจกกรอง
- เข็มและหลอดฉีดยา
- แท่งแม่เหล็กกวนสาร (Magnetic bar)
- จุกยางปิดปากขวด (Rubber septum)
- เทอร์โมมิเตอร์
- ลูกโป่ง

3.1.2 สารเคมีและขั้นตอนการทำบริสุทธิ์

สารเคมีที่ใช้ในงานวิจัยนี้แบ่งเป็นสารเคมีที่ใช้ในการสังเคราะห์มอนอเมอร์และพอลิเมอร์ ดังแสดงในตารางที่ 3.1 และ 3.2 ตามลำดับ

ตารางที่ 3.1 สารเคมีที่ใช้สำหรับการสังเคราะห์มอนอเมอร์

สารเคมี	เกรด/ผู้จำหน่าย	คำย่อ/ สูตรเคมี	การใช้งาน
เมทานอล	Analytical reagent, MERCK	CH ₃ OH	สารตั้งต้น
กรดอิทาโคนิก	Analytical reagent \geq 99%, SIGMA-ALDRICH		สารตั้งต้น
กรดซัลฟิวริก	Analytical reagent \geq 95-97%, MERCK	H ₂ SO ₄	สารเร่งปฏิกิริยา
โซเดียมซัลเฟต	Analytical reagent, CARLO-ERBA	Na ₂ SO ₄	สารกำจัดเกลือ
โซเดียมไฮดรอกไซด์	Analytical, MERCK	NaOH	สารปรับสภาพ ความเป็นเบส

ตารางที่ 3.2 สารเคมีที่ใช้สำหรับการสังเคราะห์พอลิเมอร์

สารเคมี	เกรด/ผู้จำหน่าย	คำย่อ/ สูตรเคมี	การใช้งาน
ไดเมทิลอทาโคเนต	Analytical reagent 97%, SIGMA-ALDRICH	DMI	มอนอเมอร์
ไดบิวทิลอทาโคเนต	Analytical reagent 96%, SIGMA-ALDRICH	DBI	มอนอเมอร์
เตตระไฮโดรฟูแรน	Analytical reagent, Fisher Scientific	THF	ตัวทำละลาย
ไดคลอโรมีเทน	Analytical reagent, Fisher Scientific	CH ₂ Cl ₂	ตัวทำละลาย
คอปเปอร์โบรไมด์	Analytical reagent \geq 98 %, Fluka	CuBr	สารเร่งในปฏิกิริยา
เพนตะเมทิลไดเอทิลีนไตรเอมีน	Analytical reagent 99%, SIGMA-ALDRICH	PMDETA	ลิแกนด์
ไดเมทิล-2,6-ไดโบรโมเฮปแทนไดโอด	Analytical reagent 97%, SIGMA-ALDRICH	DMDBHD	ตัวเริ่มปฏิกิริยา
แคลเซียมไฮไดรด์	Analytical reagent 90%, SIGMA-ALDRICH	CaH ₂	สารลดความชื้น
กรดอะซิติก	AR (anhydrous), SIGMA-ALDRICH	CH ₃ COOH	กำจัด CuO [58]
ดีวเทอเรตคัลลอโรฟอร์ม	99.8 % for NMR, MERCK	CDCl ₃	ตัวทำละลาย
เมทานอล	commercial grade	CH ₃ OH	สารละลาย

3.1.3 เครื่องมือในการทดลอง

รายละเอียดของเครื่องมือสำหรับการสังเคราะห์และวิเคราะห์สารผลิตภัณฑ์ แสดงดังในตารางที่ 3.3 และ 3.4 ตามลำดับ

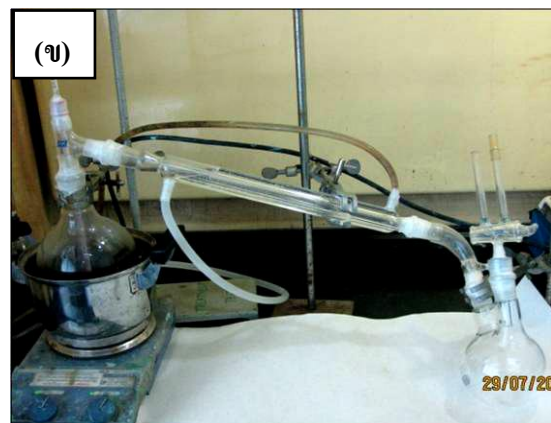
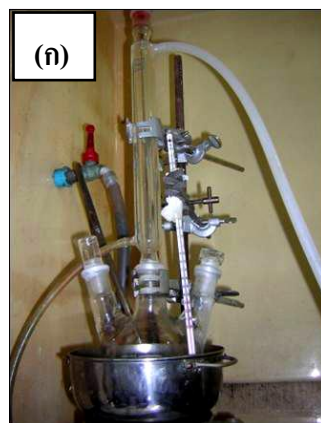
ตารางที่ 3.3 เครื่องมือสำหรับการสังเคราะห์พอลิเมอร์

เครื่อง	รายละเอียดเครื่อง
ปั๊มโรตารี	SACCO, model SC-1A, Denmark
เครื่องอบสูญญากาศ	Jeio tech vacuum oven, model OV-11, Korea
เครื่องชั่งละเอียด 3 ตำแหน่ง	METTLE TOLEDO, model ML 303E/01, Switzerland
เครื่องชั่งละเอียด 4 ตำแหน่ง	METTLE TOLEDO, model ML 204/01, Switzerland
เครื่องระเหยแบบหมุน (Rotary evaporator)	Heidolph, model Laborota 4003 control, Germany

3.1.4 การทำบริสุทธิ์ตัวทำละลายและคอปเปอร์โบรไมด์

3.1.4.1 ขั้นตอนการทำให้ตัวทำละลายบริสุทธิ์

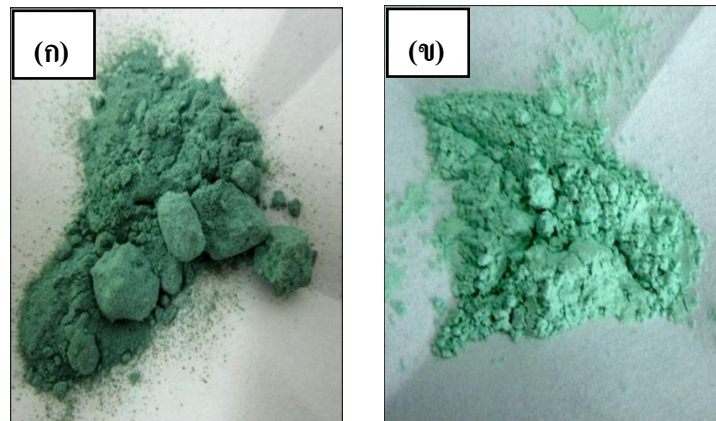
- ใส่สารแคลเซียมไฮไดรด์ลงในขวดก้นกลมที่บรรจุตัวทำละลายเตตระไฮโดรฟูแรนในอัตราส่วน 1:1 โดยน้ำหนัก นำคอนเดนเซอร์ต่อกับขวดก้นกลม ทำการรีฟลักซ์สารละลายเป็นเวลา 24 ชั่วโมง ดังรูปที่ 3.1 (ก)
- หลังจากครบ 24 ชั่วโมง ทำการกลั่นตัวทำละลายโดยจัดตั้งอุปกรณ์ดังรูปที่ 3.1 (ข)



รูปที่ 3.1 อุปกรณ์ในการรีฟลักซ์ (ก) และกลั่นตัวทำละลาย (ข)

3.1.4.2 ขั้นตอนการทำให้คอปเปอร์โบรไมด์บริสุทธิ์

1. นำคอปเปอร์โบรไมด์ (1 กรัม) ละลายกรดแอซติก (10 มิลลิลิตร) เป็นเวลา 5 นาที สังเกตว่าสีของคอปเปอร์โบรไมด์จะเปลี่ยนจากสีเขียวอมเทาเป็นสีเขียวอ่อน ดังรูปที่ 3.2
2. เทกรดอะซิติคออกจากคอปเปอร์โบรไมด์ หลังจากนั้นล้างด้วยเมธานอลจำนวน 3 ครั้ง
3. นำสารดังกล่าวไปอบให้แห้งในตู้อบสุญญากาศเป็นเวลา 24 ชั่วโมง เก็บภายใต้บรรยากาศไนโตรเจน โดยทำการพ่นแก๊สไนโตรเจนเข้าไปในภาชนะบรรจุแล้วปิดผนึกด้วยจุกยางปิดปากขวดพร้อมกับพันด้วยพาราฟิน



รูปที่ 3.2 คอปเปอร์โบรไมด์ก่อนทำให้บริสุทธิ์ (ก) และหลังทำให้บริสุทธิ์ (ข)

3.2 การสังเคราะห์หมอนอเมอร์

1. เติมกรดอิทาโคนิกลงไปในช่วงก้นกลมสามคอสำหรับทำปฏิกิริยา จากนั้นทำการพ่นแก๊สไนโตรเจน (Purging) สลับกับปั๊มอากาศออกเพื่อให้ภายในระบบเป็นสุญญากาศเป็นจำนวน 4 รอบ แล้วพ่นแก๊สไนโตรเจนเข้าไปในช่วงก้นกลมอีกครั้งโดยไม่มีกรปั๊มอากาศออกมาเพื่อให้ปฏิกิริยาอยู่ในสภาวะแก๊สไนโตรเจน และสังเกตการรั่วไหลของแก๊สในระบบจากการลดลงของขนาดลูกโป่ง เป็นเวลาประมาณ 30-60 นาที
2. เติมเมธานอลกับกรดซัลฟิวริกซึ่งละลายเข้ากันอยู่ในขวดรูปชมพู่ หลังจากนั้นใช้จุกยางปิดปากขวด ปิดขวดรูปชมพู่พร้อมกับพันด้วยพาราฟิล์มทำการกวนด้วยแท่งแม่เหล็กกวนสารเพื่อให้สารละลายผสมเป็นเนื้อเดียวกันพร้อมกับการพ่นแก๊สไนโตรเจนเพื่อไล่ออกซิเจน เป็นเวลา 30 นาที
3. เมื่อแน่ใจว่าระบบในขั้นตอนที่ 1 ไม่เกิดการรั่วไหลของแก๊สและอุณหภูมิที่ตั้งไว้ตรงกับอุณหภูมิของปฏิกิริยา (65 องศาเซลเซียส) แล้ว จึงทำการเติมสารละลายในขั้นตอนที่ 2 ลงไปในขวด

- กั้นกลมสามคอโดยฉีดผ่านหลอดฉีดยา เข้าไปทางจุกยางปิดปากขวด ทำการกววน ปล່อยให้
 ปฏิกริยาดำเนินไปเป็นเวลา 24 ชั่วโมง
4. เมื่อหยุดปฏิกริยาแล้ว ทำการเติมโซเดียมไฮดรอกไซด์ (เข้มข้น 33 ร้อยละโดยน้ำหนัก) เข้าไปใน
 สารละลายเพื่อปรับสภาพสารละลายให้เป็นกลางหรือเพื่อให้เข้าทำปฏิกริยากับกรดซัลฟิวริกซึ่ง
 เป็นสารเร่งปฏิกริยา
 5. ล้างสารผลิตภัณฑ์ด้วยสารละลายโซเดียมซัลเฟต (เข้มข้น 33 ร้อยละโดยน้ำหนัก) ในกรวยแยกสาร
 สารละลายจะเกิดการแยกชั้น โดยสารผลิตภัณฑ์จะอยู่ด้านบน
 6. นำสารผลิตภัณฑ์ที่ผ่านการล้างมาถล่น

3.3 การสังเคราะห์พอลิเมอร์

การสังเคราะห์พอลิเมอร์มีทั้งการสังเคราะห์โซโมพอลิเมอร์และการสังเคราะห์พอลิเมอร์ร่วม ซึ่งมี
 วิธีการคำนวณหาปริมาณสารผลิตภัณฑ์ในหัวข้อที่ 3.3.1 และขั้นตอนการสังเคราะห์พอลิเมอร์ใน
 หัวข้อ 3.3.2

3.3.1 การคำนวณหาปริมาณสารผลิตภัณฑ์

1. การคำนวณหาปริมาณสารผลิตภัณฑ์จากการสังเคราะห์โซโมพอลิเมอร์

$$\%yield = \frac{W_p}{W_m} \times 100$$

โดยที่ W_p คือ น้ำหนักของสารผลิตภัณฑ์
 W_m คือ น้ำหนักของมอนอเมอร์

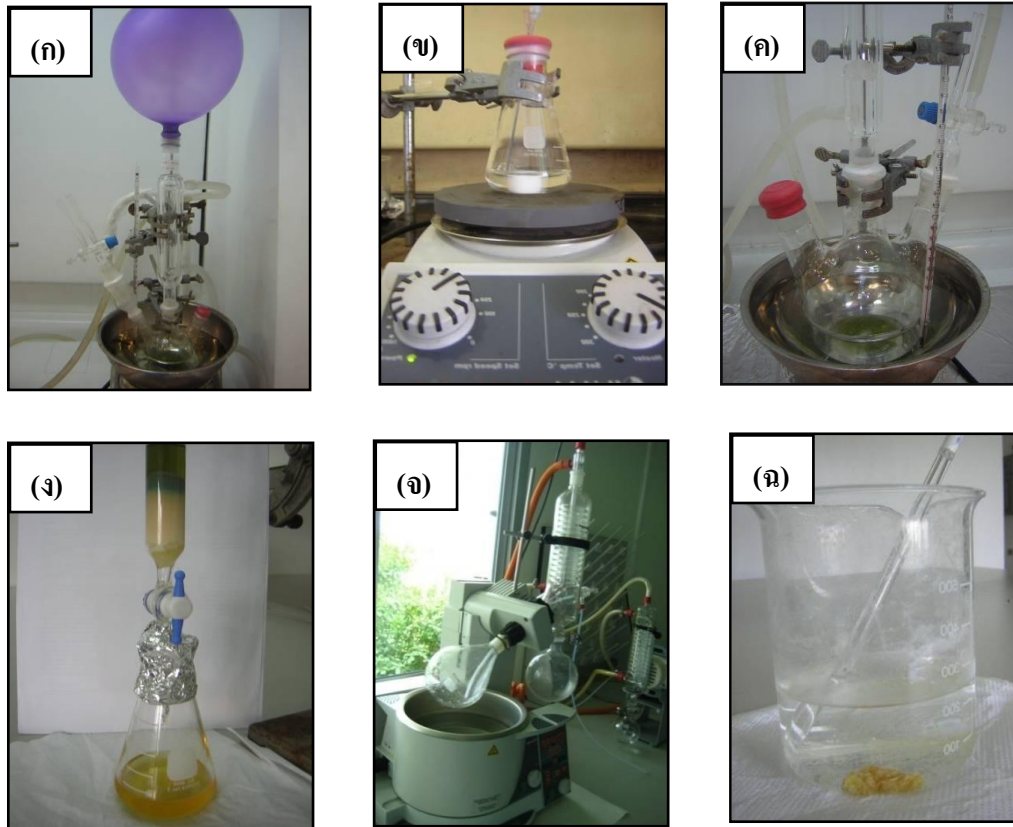
2. การคำนวณหาปริมาณสารผลิตภัณฑ์จากการสังเคราะห์พอลิเมอร์ร่วม

$$\%yield = \frac{W_p}{W_m + W_{macro}} \times 100$$

โดยที่ W_p คือ น้ำหนักของสารผลิตภัณฑ์
 W_m คือ น้ำหนักของมอนอเมอร์
 W_{macro} คือ น้ำหนักของตัวเริ่มปฏิกริยาแบบแมคโคร

3.3.2 ขั้นตอนการสังเคราะห์พอลิเมออร์

1. เติมหออปเปอร์โพรไมด์ (0.2582 กรัม) ลงไปในขวดก้นกลมสามคอสำหรับทำปฏิกิริยา (ดังรูปที่ 3.3ก) จากนั้นทำการพ่นแก๊สไนโตรเจนสลับกับป้อนอากาศออกเป็นจำนวน 4 รอบ แล้วพ่นแก๊สไนโตรเจนเข้าไปในขวดก้นกลมสามคออีกครั้งโดยไม่มีการป้อนอากาศออกมาเพื่อให้ปฏิกิริยาอยู่ภายใต้สถานะแก๊สไนโตรเจน และสังเกตการรั่วไหลของแก๊สในระบบจากการลดลงของขนาดลูกโป่ง เป็นเวลาประมาณ 30-60 นาที
2. ทำการเติมมอนอเมอร์ (5 มิลลิลิตร) ตัวเริ่มปฏิกิริยา (0.2491 กรัม) ลิแกนด์ (0.3119 กรัม) และตัวทำละลาย (5 มิลลิลิตร ในกรณีที่มีการใช้ตัวทำละลาย) ผสมกันในขวดรูปชมพู่ หลังจากนั้นใช้จุกยางปิดปากขวดปิดขวดรูปชมพู่พร้อมกับพันด้วยพาราฟิล์ม ทำการกวนเพื่อให้สารละลายผสมเป็นเนื้อเดียวกันพร้อมกับการพ่นแก๊สไนโตรเจนเพื่อไล่แก๊สออกซิเจนเป็นเวลา 30 นาที (ดังรูปที่ 3.3ข)
3. เมื่อแน่ใจว่าระบบในขั้นตอนที่ 1 ไม่เกิดการรั่วไหลของแก๊สแล้วและอุณหภูมิที่ตั้งไว้ตรงกับอุณหภูมิของปฏิกิริยาแล้ว จึงทำการเติมสารละลายในขั้นตอนที่ 2 ลงไปในขวดก้นกลมสามคอโดยฉีดผ่านหลอดฉีดยาเข้าไปทางจุกยางปิดปากขวด กวนสารละลายด้วยแท่งแม่เหล็ก กวนสารตลอดทั้งปฏิกิริยา (ดังรูปที่ 3.3ค) หลังจากนั้นปล่อยให้ปฏิกิริยาดำเนินไปเป็นเวลา 24 ชั่วโมง
4. หลังสิ้นสุดปฏิกิริยาทำการยกชุดอุปกรณ์การสังเคราะห์ขึ้นจากอุปกรณ์ชุดให้ความร้อน ปล่อยให้สารผลิตภัณฑ์มีอุณหภูมิลดลงจนถึงอุณหภูมิห้องซึ่งใช้เวลาประมาณ 40 นาที หลังจากนั้นทำการเติมไดคลอโรมีเทนเพื่อลดความหนืดของสารผลิตภัณฑ์ก่อนที่จะทำการกรองแยกสารประกอบเชิงซ้อนคออปเปอร์ด้วยคอลัมน์อะลูมินา (ดังรูปที่ 3.3ง)
5. นำสารที่ได้จากการกรองไปทำการระเหยเอาตัวทำละลายไดคลอโรมีเทนออกโดยใช้เครื่องระเหยแบบหมุน (ดังรูปที่ 3.3จ) หลังจากนั้นจึงตกตะกอนในสารละลายเมธานอล (อัตราส่วนเมธานอลกับน้ำ คือ 70:30 โดยปริมาตร) (ดังรูปที่ 3.3ฉ) ตะกอนของสารผลิตภัณฑ์ที่ได้นำไปอบให้แห้งในตู้อบสุญญากาศเป็นเวลา 24 ชั่วโมง
6. หลังจากนั้นนำสารผลิตภัณฑ์ไปทดสอบด้วยเทคนิคโปรตอนนิวเคลียร์แมกเนติกเรโซแนนซ์สเปกโตรสโกปี เจลเพอร์มีเอชัน โครมาโตกราฟี และดีฟิเฟอเรนเชียลสแกนนิ่งแคลอริมิเตอร์
7. สำหรับการสังเคราะห์พอลิเมออร์ร่วมแบบบล็อกนั้นคล้ายกับขั้นตอนการสังเคราะห์ไฮโมพอลิเมออร์ แต่เปลี่ยนตัวเริ่มปฏิกิริยาเป็นแบบแมคโคร (พอลิบิวทิลิธาโคเนตที่ได้จากการสังเคราะห์ในขั้นแรก)
8. สารผลิตภัณฑ์จากข้อ 7 จะถูกล้างด้วยเฮปแทนเพื่อกำจัดเอาพอลิไดเมธิลอิทาโคเนตออกจากนั้นทำการอบให้แห้งในตู้อบสุญญากาศ

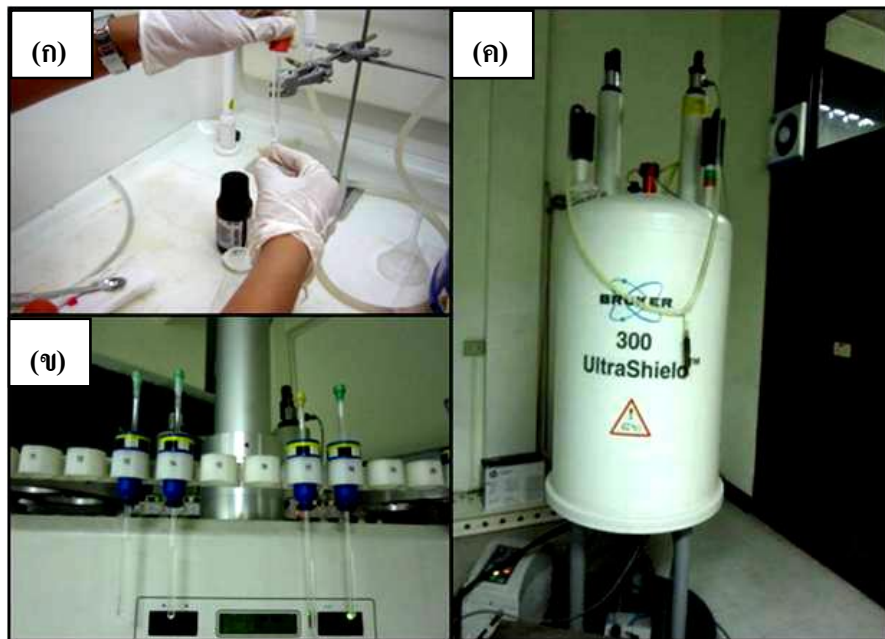


รูปที่ 3.3 ขั้นตอนการสังเคราะห์ไฮโมพอลิเมอร์และพอลิเมอร์ร่วมแบบบล็อกโดยเตรียมคอปเปอร์โบรไมด์ในชุดปฏิกรณ์ภายใต้บรรยากาศไนโตรเจน (ก), ฟันแก๊สไนโตรเจนลงไปในสารละลายผสมระหว่างมอนอเมอร์, ตัวเริ่มปฏิกิริยา, ลิแกนด์ และตัวทำละลาย (ข), เติมสารผสมระหว่างคอปเปอร์โบรไมด์กับสารละลายผสมในภาพ ข ลงในปฏิกรณ์ (ค), กรองแยกสารประกอบเชิงซ้อนคอปเปอร์โบรไมด์ออกจากสารผลิตภัณฑ์หลังการสิ้นสุดปฏิกิริยา (ง), ถั่นแยกตัวทำละลายออกจากสารผลิตภัณฑ์ (จ), ตกตะกอนสารผลิตภัณฑ์ (ฉ)

*หมายเหตุ สำหรับสภาวะการสังเคราะห์ไฮโมพอลิเมอร์ทั้งสองชนิดนั้น มีความแตกต่างกันคือ การสังเคราะห์ พอลิไดบิวทิลอทาโคเนตสังเคราะห์จะใช้เทคนิคแบบบัลค์ (Bulk polymerization) ส่วนพอลิไดเมธิลอทาโคเนตสังเคราะห์ในระบบที่ใช้ตัวทำละลาย (Solution polymerization)

3.4 การพิสูจน์ลักษณะเฉพาะของสารผลิตภัณฑ์

ทำการพิสูจน์ลักษณะเฉพาะเพื่อยืนยัน โครงสร้างของสารผลิตภัณฑ์ที่ได้จากการสังเคราะห์ใน ขั้นตอนต่างๆ โดยใช้เทคนิคโปรตอนนิวเคลียร์แมกเนติกเรโซแนนซ์สเปกโตรสโกปี โดยใช้สาร ตัวอย่าง 10 มิลลิกรัมละลายในตัวทำละลายควอเตอร์เตดคลอโรฟอร์ม จากนั้นใช้หลอดหยดดูด สารละลายดังกล่าวลงในหลอดเอ็นเอ็มอาร์ (ดังรูปที่ 3.4ก) ทดสอบที่ความถี่ 300 MHz โดยมี รายละเอียดของเครื่องนิวเคลียร์แมกเนติกเรโซแนนซ์สเปกโตรสโคป แสดงในตารางที่ 3.4



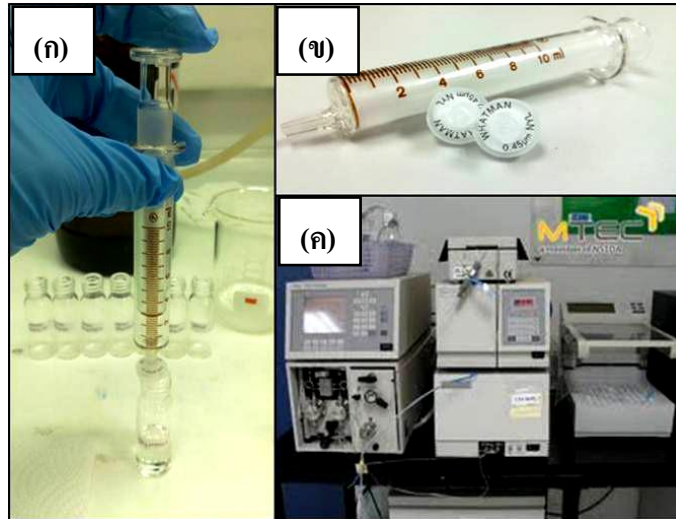
รูปที่ 3.4 การเตรียมสารตัวอย่าง (ก) หลอดเอ็นเอ็มอาร์ (ข) และเครื่องนิวเคลียร์แมกเนติกเรโซแนนซ์ สเปกโตรสโคป (ค)

ตารางที่ 3.4 เครื่องมือทดสอบสมบัติพอลิเมอร์

เครื่องมือ	รายละเอียดเครื่อง	ลักษณะการใช้งาน
โปรตอนนิวเคลียร์แมกเนติก เรโซแนนซ์สเปกโทรสโกปี (¹ H-NMR)	model Avance 300 Bruker, Switzerland, frequency 300 MHz	พิสูจน์ทราบ โครงสร้างเคมี ของสารผลิตภัณฑ์
เจลเพอร์มีเอชัน โครมาโตกราฟี (GPC)	waters e2695 separations modules, Model 3580 refractive Index (RI) Detector (Viscotex)	วิเคราะห์น้ำหนักโมเลกุล ของผลิตภัณฑ์
ดิฟเฟอเรนเชียลสแกนนิ่ง แคลอริมิเตอร์ (DSC)	204 F1 Phoenix [®] One Fit All (ICTA, ASTM E 473-85)	ตรวจสอบอุณหภูมิการ เปลี่ยนสถานะคล้ายแก้ว (T _g)

3.5 การทดสอบหาน้ำหนักโมเลกุลของพอลิเมอร์

การวิเคราะห์น้ำหนักโมเลกุลของสารผลิตภัณฑ์โดยใช้เทคนิคเจลเพอร์มีเอชัน โครมาโตกราฟี (GPC) (รายละเอียดเครื่องดังแสดงในตารางที่ 3.4) โดยใช้ตัวทำละลายเตตระไฮโดรฟูแรนและพอลิเมอร์มาตรฐานพอลิสไตรีน (น้ำหนักโมเลกุล 1,480 ถึง 1,112,000 กรัม/โมล) อัตราการไหล 1.0 มิลลิลิตร/นาที อุณหภูมิการทดสอบ 35 องศาเซลเซียส สำหรับการเตรียมสารตัวอย่างโดยใช้สารผลิตภัณฑ์ 2 มิลลิกรัมต่อตัวทำละลาย 1 มิลลิลิตร หลังจากนั้นทำการฉีดสารละลายเข้าไปยังขวดแก้วสำหรับใส่ สารตัวอย่างโดยหลอดฉีดผ่านตัวกรองก่อนที่จะนำเข้าสู่เครื่องเพื่อทำการทดสอบ เครื่องทดสอบและอุปกรณ์การเตรียมตัวอย่าง แสดงในรูปที่ 3.5



รูปที่ 3.5 การกรองสารละลายตัวอย่างเข้าสู่ขวดทดสอบ (ก), ครอบกึ่งปิดยาและตัวกรอง (ข) และเครื่องทดสอบเจลเพอร์มีเอชันโครมาโตกราฟี (ค)

3.6 การศึกษาสมบัติทางความร้อนของพอลิเมอร์

การวิเคราะห์หาอุณหภูมิการเปลี่ยนแปลงสถานะคล้ายแก้วของสารผลิตภัณฑ์โดยใช้เทคนิคดิฟเฟอเรนเชียลสแกนนิ่งแคลอริเมทรี (รายละเอียดเครื่องดังแสดงในตารางที่ 3.4) โดยมีช่วงอุณหภูมิการทดสอบตั้งแต่ -50 ถึง 150 องศาเซลเซียส อัตราการเพิ่มและลดอุณหภูมิ 10 องศาเซลเซียส/นาที น้ำหนักสารตัวอย่างที่ใช้ทดสอบ 2 มิลลิกรัม สำหรับเครื่องที่ใช้ทดสอบดังแสดงในรูปที่ 3.6



รูปที่ 3.6 เครื่องทดสอบสมบัติทางความร้อนดิฟเฟอเรนเชียลสแกนนิ่งแคลอริมิเตอร์

บทที่ 4 ผลการทดลองและการวิจารณ์ผล

4.1 ผลการพิสูจน์เอกลักษณ์ของไดเมธิลิตาโคเนตและไดเฮกซิลิตาโคเนต

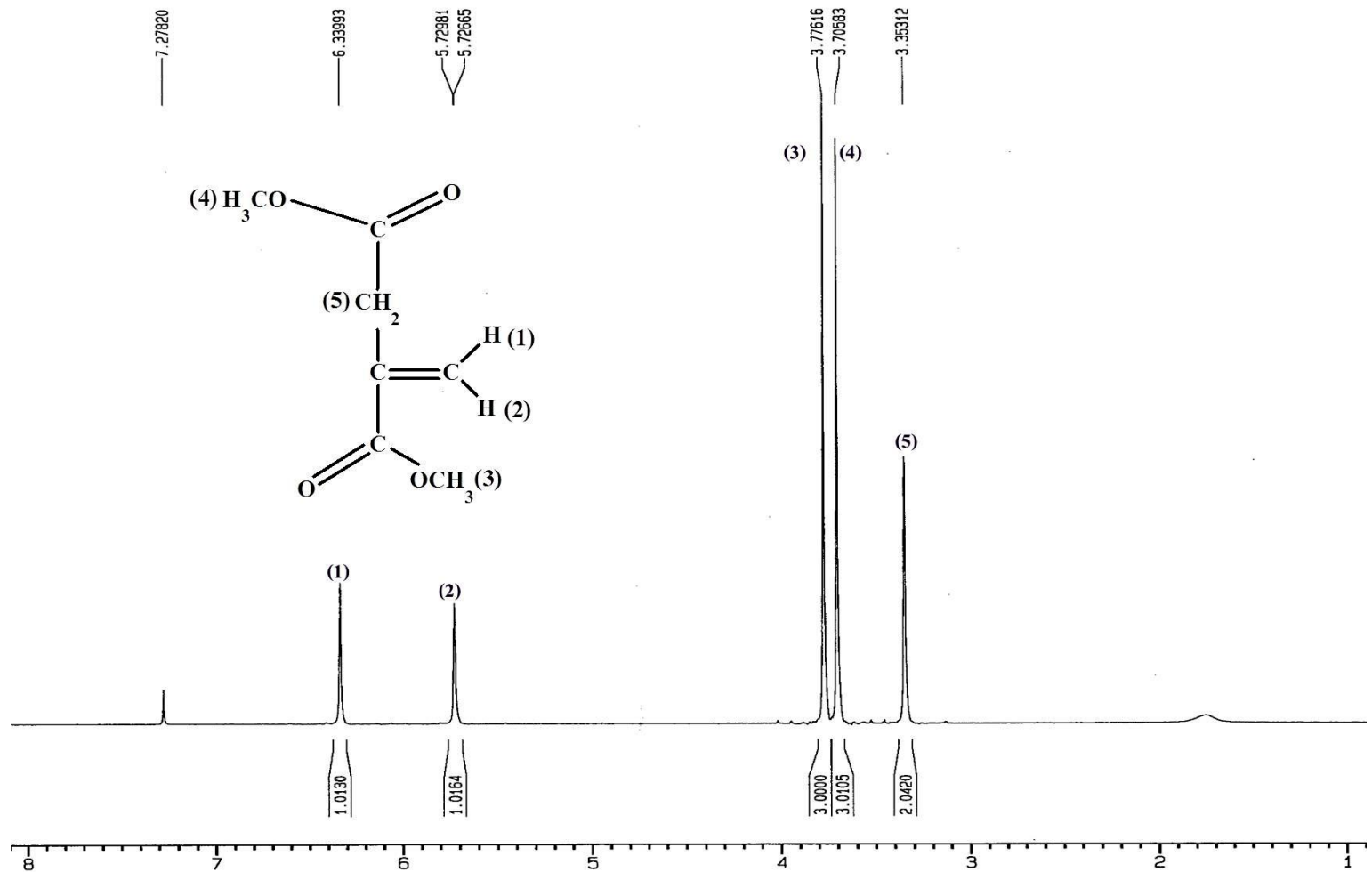
รูปที่ 4.1 แสดงสเปกตรัม $^1\text{H-NMR}$ ของไดเมธิลิตาโคเนตที่ได้จากการสังเคราะห์ที่เวลา 12 ชั่วโมง โดยผ่านการทำบริสุทธิ์ด้วยวิธีการกลั่นก่อนนำมาทำการทดสอบ พบพีคที่ตำแหน่ง 5.72 ppm และ 6.33 ppm ซึ่งเป็นสัญญาณโอเลฟินิกโปรตอน ($\text{H}_2\text{C}=\text{C}$) พีคตำแหน่ง 3.35 ppm เป็นของสัญญาณโปรตอนในหมู่เมธิลีน ($-\text{CH}_2$) ที่เชื่อมระหว่างคาร์บอนที่ตำแหน่งพันธะคู่กับหมู่ฟังก์ชันเอสเทอร์ ส่วนพีคที่ตำแหน่ง 3.70 ppm และ 3.77 ppm เป็นสัญญาณโปรตอนในหมู่เมทอกซี ($\text{O}-\text{CH}_3$) ที่อยู่ติดกับหมู่ฟังก์ชันเอสเทอร์

ในทำนองเดียวกันรูปที่ 4.2 แสดงสเปกตรัม $^1\text{H-NMR}$ ของไดเมธิลิตาโคเนตเกรดการค้า (SIGMA-ALDRICH, 97%) พบพีคที่ตำแหน่ง 5.73 ppm และ 6.35 ppm ซึ่งเป็นสัญญาณโอเลฟินิกโปรตอน ($\text{H}_2\text{C}=\text{C}$) พีคตำแหน่ง 3.36 ppm เป็นของสัญญาณโปรตอนในหมู่เมธิลีน ($-\text{CH}_2$) ที่เชื่อมระหว่างคาร์บอนที่ตำแหน่งพันธะคู่กับหมู่ฟังก์ชันเอสเทอร์ ส่วนพีคที่ตำแหน่ง 3.71 ppm และ 3.79 ppm เป็นสัญญาณโปรตอนในหมู่เมทอกซี ($\text{O}-\text{CH}_3$) ที่อยู่ติดกับหมู่ฟังก์ชันเอสเทอร์ ซึ่งสเปกตรัม $^1\text{H-NMR}$ ของไดเมธิลิตาโคเนตเกรดการค้าดังกล่าว มีลักษณะตรงกับสเปกตรัม $^1\text{H-NMR}$ ของไดเมธิลิตาโคเนตที่ได้จากการสังเคราะห์ที่แสดงไว้ในรูปที่ 4.1

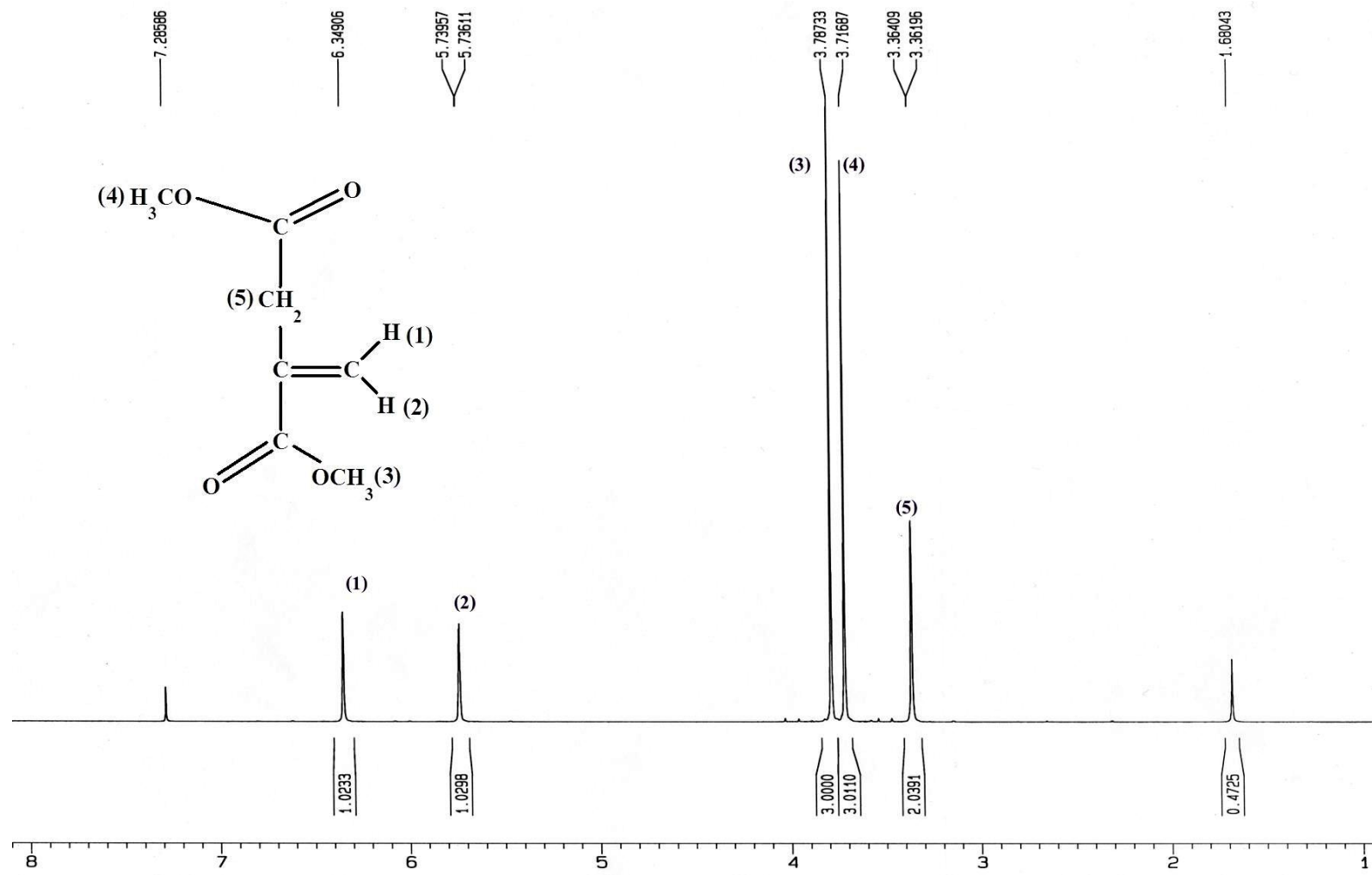
รูปที่ 4.2 แสดงสเปกตรัม $^1\text{H-NMR}$ ของไดเฮกซิลิตาโคเนตที่ได้จากการทำปฏิกิริยาระหว่างเฮกซานอลกับกรดอิตาโคนิก ซึ่งจะสังเกตพบพีคที่ตำแหน่ง 5.69 และ 6.33 ppm ซึ่งเป็นสัญญาณโอเลฟินิกโปรตอน ($\text{H}_2\text{C}=\text{C}$) พีคตำแหน่ง 3.35 ppm เป็นตำแหน่งของโปรตอนในหมู่เมธิลีน ($-\text{CH}_2$) ที่เชื่อมระหว่างคาร์บอนที่ตำแหน่งพันธะคู่กับหมู่ฟังก์ชันเอสเทอร์ พีคตำแหน่ง 4.09 ppm เป็นสัญญาณโปรตอนที่ตำแหน่งแอลฟาคาร์บอนในหมู่เฮกซิล พีคตำแหน่ง 1.55 ppm 1.29 ppm และ 1.30 ppm เป็นสัญญาณโปรตอนของหมู่เมธิลีน ($-\text{CH}_2$) ที่อยู่ในหมู่เฮกซิล และพีคที่ตำแหน่ง 0.89 ppm เป็นสัญญาณโปรตอนในหมู่เมธิล ($-\text{CH}_3$) ของหมู่เฮกซิล ผลการทดลองข้างต้นแสดงให้เห็นว่าการสังเคราะห์มอนอเมอร์ทั้ง 2 ชนิดนั้นมีผลิตภัณฑ์เกิดขึ้นจริง

อย่างไรก็ตามมีข้อสังเกตว่าในการสังเคราะห์ไดเฮกซิลิตาโคเนต (DHI) ไม่สามารถแยกสารปนเปื้อน เช่น เฮกซานอลและกรดอิตาโคนิกออกจากสารผลิตภัณฑ์ได้ เนื่องจากจุดเดือดของเฮกซานอลค่อนข้างสูง (อยู่ในช่วง 155 ถึง 159 องศาเซลเซียส) ดังนั้นจึงไม่สามารถกำจัดได้โดยสมบูรณ์ด้วย

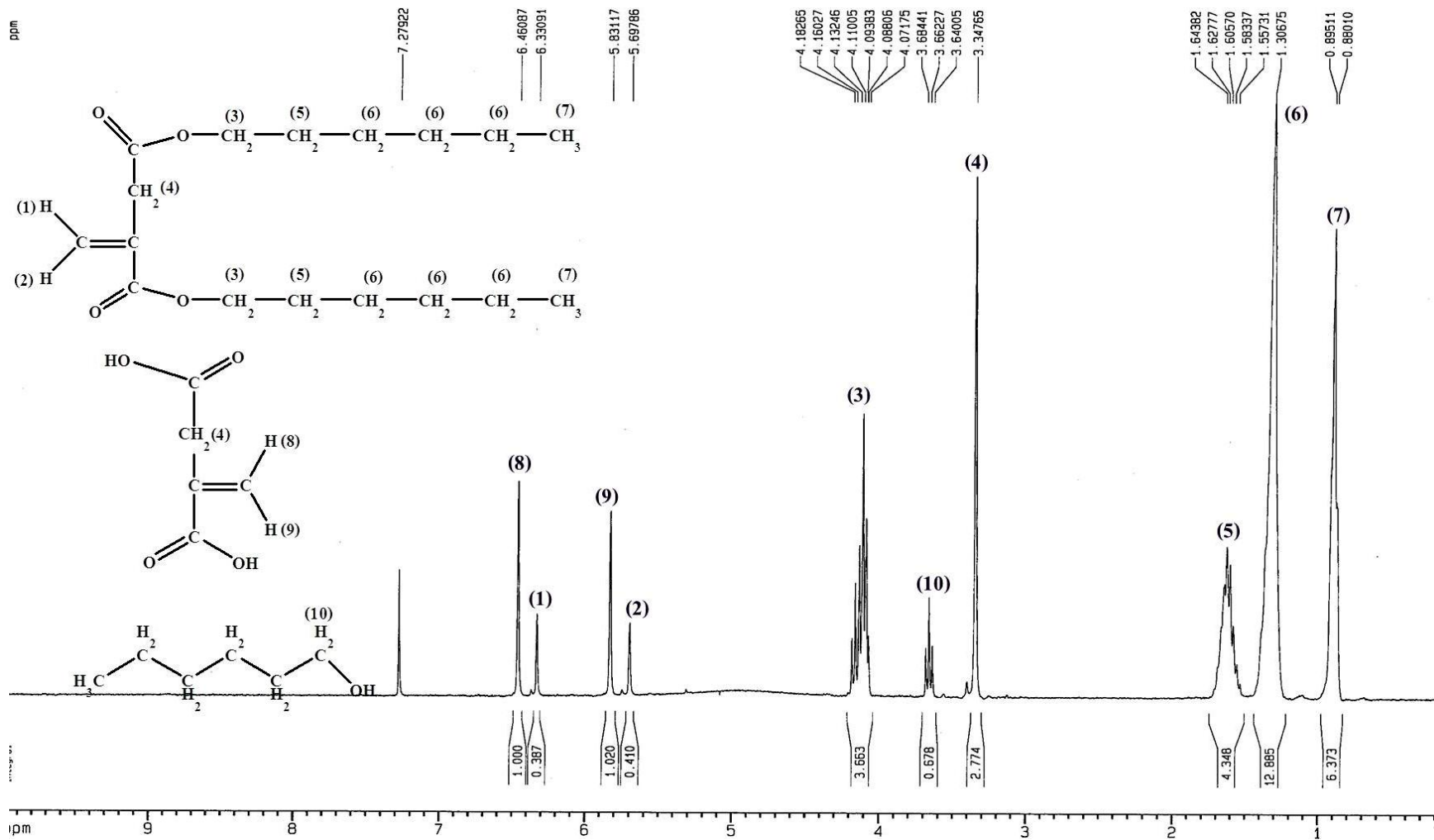
วิธีการกลั่นแยก ดังจะเห็นได้จากสัญญาณโอเลฟินิกโปรตอนของกรดอิทาโคนิกที่ตำแหน่ง 5.83 ppm และ 6.46 ppm และสัญญาณโปรตอนในหมู่เมทิลีนของเฮกซานอล (ตำแหน่งที่อยู่ติดกับหมู่ไฮดรอกซี) ตำแหน่ง 3.66 ppm ในสเปกตรัมของผลิตภัณฑ์รูปที่ 4.2 ด้วยข้อจำกัดในด้านของความสามารถของสาร ซึ่งจะมีผลต่อการนำไปทำปฏิกิริยาการเกิดพอลิเมอร์ต่อไป ดังนั้นในงานวิจัยนี้จึงได้เลือกไดอัลคิลอิทาโคเนตที่มีจำหน่ายในทางการค้า ได้แก่ ไดบิวทิลอิทาโคเนต สำหรับเตรียมพอลิเมอร์ร่วมแบบโคโรบล็อกแทนไดเฮกซิลอิทาโคเนต เนื่องจากพอลิไดบิวทิลอิทาโคเนตนั้นมีค่า T_g อยู่ที่ประมาณ 12 องศาเซลเซียส [8] ซึ่งสามารถแสดงพฤติกรรมความเป็นวัสดุคล้ายยางได้เช่นกัน



รูปที่ 4.1 สเปกตรัม ¹H-NMR ของไดเมธิลอิตาโคนต

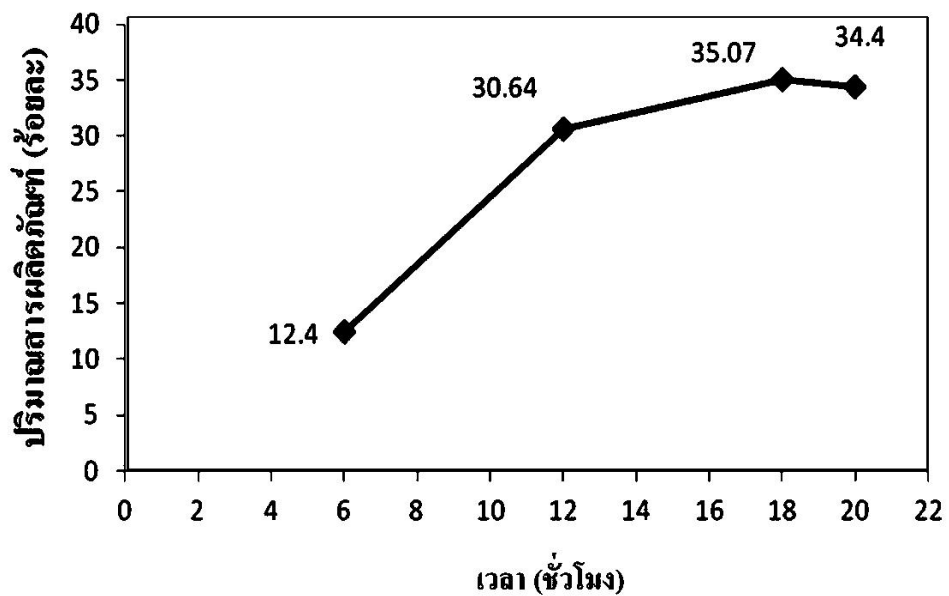


รูปที่ 4.2 สเปกตรัม ¹H-NMR ของไดเมซิลิตาโคเนตเกรดทางการค้า



รูปที่ 4.3 สเปกตรัม ¹H-NMR ของไดเฮกซิลอิตาโคเนต

รูปที่ 4.4 แสดงปริมาณผลิตภัณฑ์ของไดเมซิลิธาโคเนตที่ได้จากปฏิกิริยาเอสเทอร์ฟิเคชันระหว่างกรดอิทาโคนิกกับเมธานอลจะเห็นว่าปริมาณสารผลิตภัณฑ์มีแนวโน้มเพิ่มขึ้นตามเวลาในการทำปฏิกิริยา โดยในที่นี้พบว่าเวลาที่ทำให้ได้ปริมาณสารผลิตภัณฑ์มากที่สุด (ร้อยละ 35.07) คือ 18 ชั่วโมง และเมื่อเวลาเพิ่มขึ้นเป็น 20 ชั่วโมงพบว่าปริมาณสารผลิตภัณฑ์เริ่มมีแนวโน้มคงที่ (ร้อยละ 34.4) ทั้งนี้คาดว่าเนื่องจากระยะเวลาในการทำปฏิกิริยาที่นานเกินไปจะทำให้มีมอนอเมอร์บางส่วนเกิดปฏิกิริยาข้างเคียง เช่น ปฏิกิริยาการเกิดพอลิเมอร์

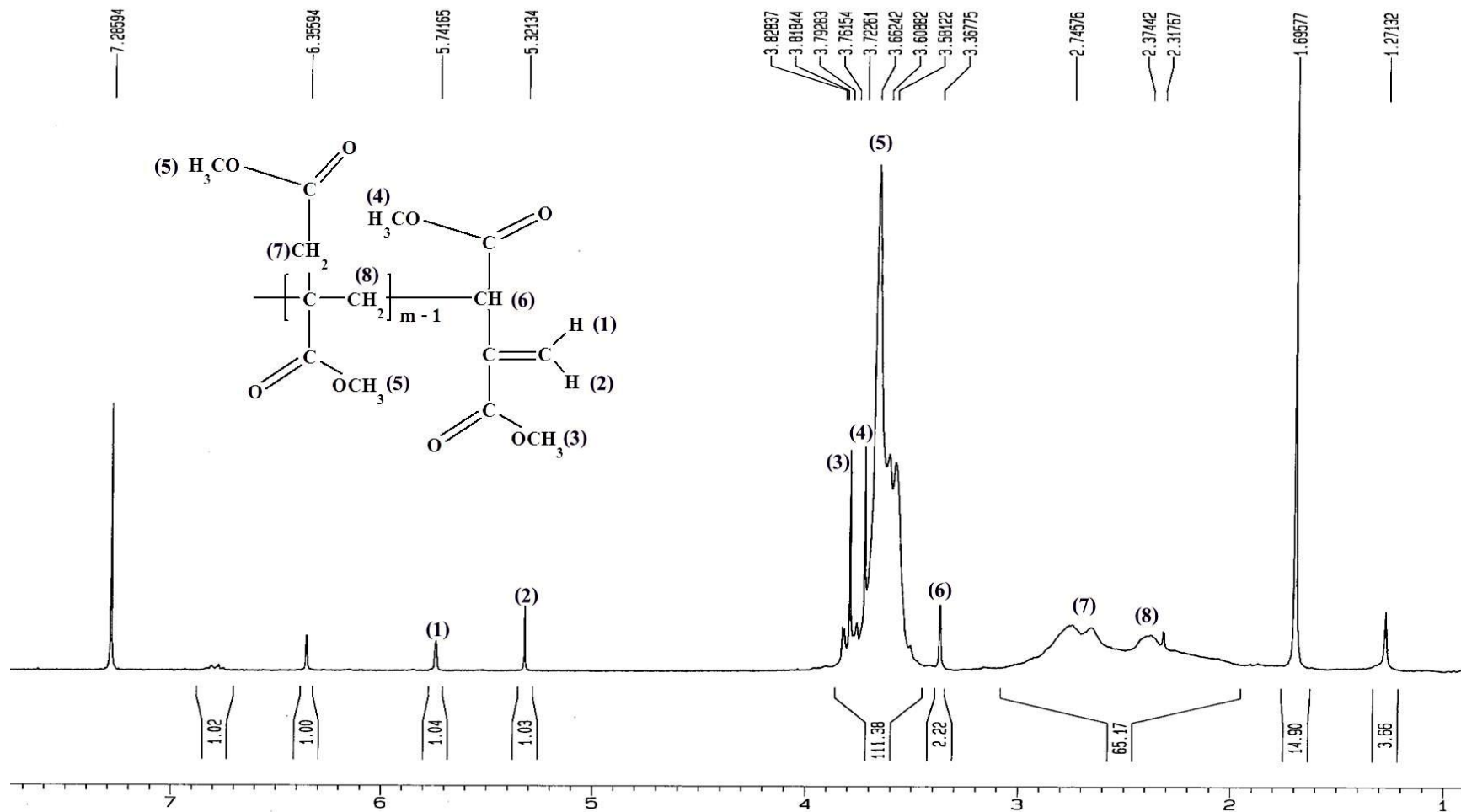


รูปที่ 4.4 ปริมาณผลิตภัณฑ์ของไดเมซิลิธาโคเนตที่เวลาต่างๆ (6, 12, 18, 20 ชั่วโมง)

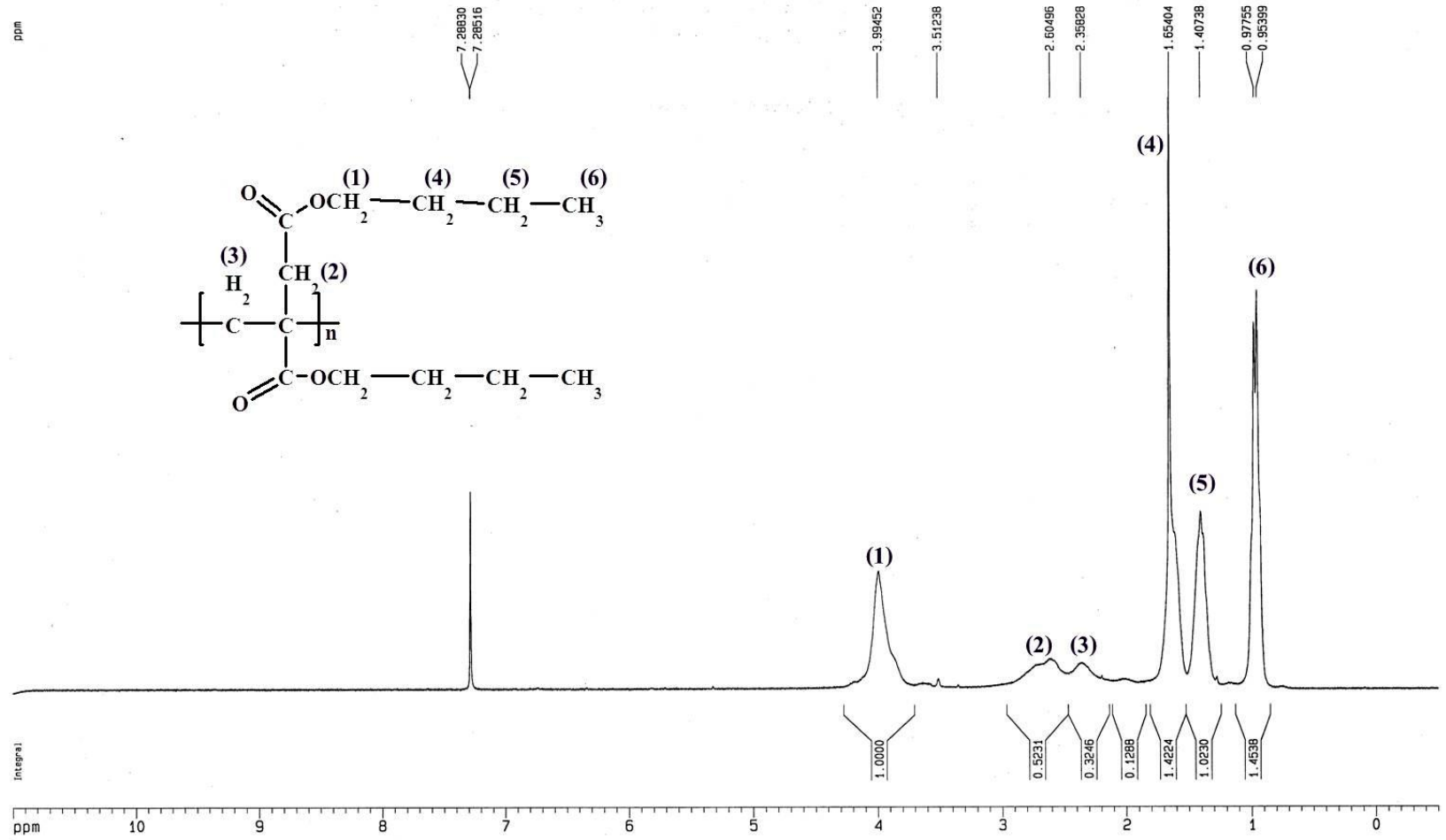
4.2 ผลการพิสูจน์เอกลักษณ์ของพอลิไดเมซิลิธาโคเนตและพอลิไดบิวทิลิธาโคเนต

รูปที่ 4.5 แสดงสเปกตรัม $^1\text{H-NMR}$ ของพอลิไดเมซิลิธาโคเนต ซึ่งจากรูปจะพบพีคที่ตำแหน่ง 2.74 ppm ซึ่งเป็นสัญญาณโปรตอนในหมู่เมทิลีน ($-\text{CH}_2$) ในสายโซ่หลักของโมเลกุลและพีคตำแหน่ง

2.37 ppm ซึ่งเป็นตำแหน่งของโปรตอนในหมู่เมทิลีนที่อยู่ติดกับหมู่คาร์บอนิล ($-\text{CH}_2-\overset{\text{O}}{\parallel}{\text{C}}-$) และเนื่องจากในพอลิไดเมซิลิธาโคเนตมีหมู่เมทิล 2 หมู่ที่อยู่ติดกับหมู่ฟังก์ชันเอสเทอร์ในแต่ละด้าน ดังนั้นพีคสัญญาณโปรตอนในหมู่เมทิล ($-\text{CH}_3$) ในสเปกตรัม $^1\text{H-NMR}$ จึงปรากฏแยกกันที่ตำแหน่ง 3.66 ppm และ 3.72 ppm โดยพีคที่ตำแหน่ง 3.66 ppm เป็น พีคของหมู่เมทิลด้านที่มีหมู่เมทิลีนเชื่อมระหว่างหมู่ฟังก์ชันเอสเทอร์กับสายโซ่หลัก



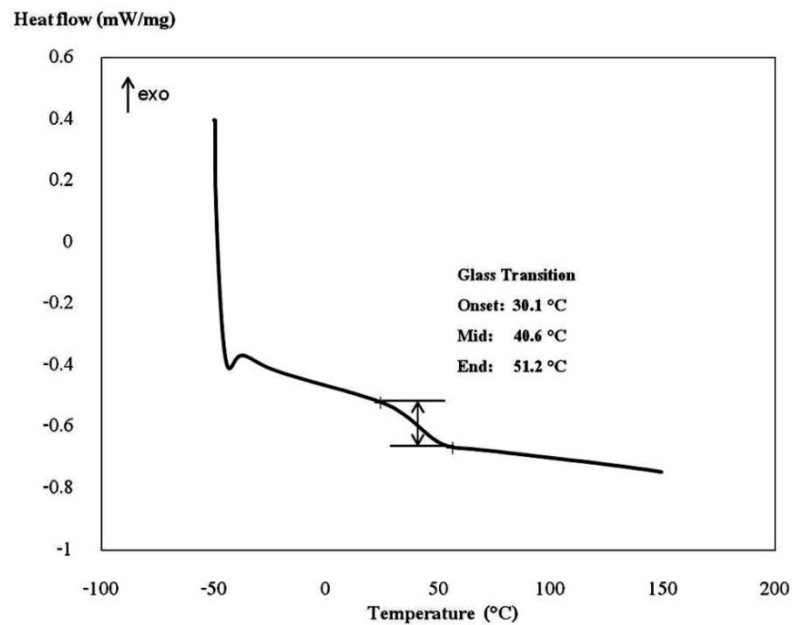
รูปที่ 4.5 สเปกตรัม ¹H-NMR ของพอลิไดเมซิลอิตาโคนต



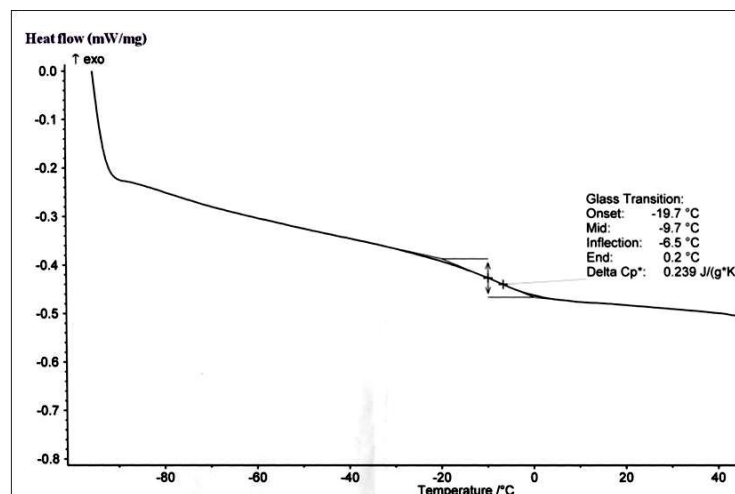
รูปที่ 4.7 สเปกตรัม ¹H-NMR ของพอลิไคบิวทิลอะครีเลต

4.3 สมบัติทางความร้อนของพอลิไดเมซิลิธาโคเนตและพอลิไคบิวทิลิธาโคเนต

รูปที่ 4.8 และ 4.9 แสดง DSC เทอร์โมแกรมของพอลิไดเมซิลิธาโคเนตและพอลิไคบิวทิลิธาโคเนตตามลำดับ ซึ่งจะสังเกตพบการเปลี่ยนแปลงของความร้อนจำเพาะในแบบดูความร้อนที่อุณหภูมิ 40.6 และ 9.7 องศาเซลเซียส ตามลำดับ ซึ่งอุณหภูมิดังกล่าวแสดงถึงค่าอุณหภูมิในการเปลี่ยนสถานะคล้ายแก้ว (T_g) ของพอลิเมอร์แต่ละชนิด



รูปที่ 4.8 DSC เทอร์โมแกรมของพอลิไดเมซิลิธาโคเนต



รูปที่ 4.9 DSC เทอร์โมแกรมของพอลิไคบิวทิลิธาโคเนต

4.4 ผลของตัวแปรต่างๆ ที่มีต่อปริมาณสารผลิตภัณฑ์และน้ำหนักโมเลกุลของ โอลิโพลิเมอร์

4.4.1 ผลการสังเคราะห์พอลิไดเมซิลอทาโคเนต

ตารางที่ 4.1 แสดงปริมาณสารผลิตภัณฑ์และน้ำหนักโมเลกุลของพอลิไดเมซิลอทาโคเนตที่ได้จากการสังเคราะห์โดยใช้สัดส่วนโมลระหว่างมอนอเมอร์กับคอปเปอร์โบรไมด์ ที่สัดส่วน โมลต่างๆ พบว่าเมื่อสัดส่วนของคอปเปอร์โบรไมด์เพิ่มขึ้นปริมาณสารผลิตภัณฑ์และน้ำหนักโมเลกุลค่อนข้างที่จะใกล้เคียงกัน ดังนั้นสำหรับสัดส่วนของคอปเปอร์โบรไมด์ในสภาวะที่ทำการทดลองในงานวิจัยนี้จึงถือว่าไม่มีผลต่อปริมาณสารผลิตภัณฑ์และน้ำหนักโมเลกุล

ตารางที่ 4.1 ผลของสัดส่วน โมลระหว่างมอนอเมอร์กับคอปเปอร์โบรไมด์ที่มีต่อปริมาณผลิตภัณฑ์ และน้ำหนักโมเลกุลของพอลิไดเมซิลอทาโคเนต

มอนอเมอร์ต่อ คอปเปอร์โบรไมด์ (สัดส่วนโมล)	ปริมาณผลิตภัณฑ์ (ร้อยละ)	น้ำหนักโมเลกุล (กรัม/โมล)		ค่าการกระจายตัว น้ำหนักโมเลกุล (PDI)
		M_n	M_w	
100/2	15.43	1,449	1,883	1.30
100/3	11.09	1,521	2,191	1.44
100/4	11.02	1,537	1,935	1.26
100/5	11.05	1,389	1,750	1.26

สภาวะการสังเคราะห์: ไดเมซิลอทาโคเนต 5 มิลลิลิตร, สัดส่วนโมลระหว่างมอนอเมอร์กับตัวเริ่มปฏิกิริยา 100/2, สัดส่วนโมลระหว่างคอปเปอร์โบรไมด์กับลิแกนด์ (PMDETA) = 1:1, อุณหภูมิ 90 °C, เวลา 24 ชั่วโมง

ในด้านของน้ำหนักโมเลกุล (M_w) พบว่ามีการเพิ่มขึ้นตามปริมาณคอปเปอร์โบรไมด์ที่เติมลงไปในช่วงแรกจากนั้นจะเริ่มลดลงอีกครั้ง โดยคาดว่าปริมาณคอปเปอร์โบรไมด์ที่มากเกินไปจะทำให้เกิดปฏิกิริยาข้างเคียง เช่น ปฏิกิริยาการรวมตัวกันของสายโซ่โมเลกุลที่กำลังโต ดังนั้นจึงทำให้สายโซ่โมเลกุลดังกล่าวจึงไม่สามารถเกิดปฏิกิริยาต่อได้

ตารางที่ 4.2 แสดงปริมาณผลิตภัณฑ์และน้ำหนักโมเลกุลของพอลิไดเมซิลอทาโคเนตที่ได้จากการสังเคราะห์โดยใช้สัดส่วนโมลระหว่างมอนอเมอร์กับตัวเริ่มปฏิกิริยา ที่สัดส่วนต่างๆ

พบว่าความสัมพันธ์ระหว่างสัดส่วนดังกล่าวกับน้ำหนักโมเลกุลและปริมาณผลิตภัณฑ์มีแนวโน้มไม่เป็นเส้นตรง กล่าวคือเมื่อสัดส่วน โมลของตัวเริ่มปฏิกิริยาเพิ่มขึ้นส่งผลให้น้ำหนักโมเลกุลและปริมาณสารผลิตภัณฑ์ลดลงในช่วงแรก เนื่องจากสัดส่วนของตัวเริ่มปฏิกิริยามากขึ้นจะทำให้ตำแหน่งในการเกิดปฏิกิริยามากขึ้นมอนอเมอร์จึงแพร่เข้าทำปฏิกิริยากระจายไปตามตำแหน่งการเกิดปฏิกิริยาต่างๆ จึงทำให้แต่ละสายโซ่โมเลกุลสั้นลง น้ำหนักโมเลกุลของพอลิเมอร์จึงลดลง และส่วนของปริมาณสารผลิตภัณฑ์ที่ลดลงคาดว่าอาจจากเกิดการสูญเสียไปในขั้นตอนการตกตะกอนเนื่องโมเลกุลสายสั้นอาจจะละลายในสารละลายเมธานอลที่ใช้เป็นสารละลายในการตกตะกอน

แต่ที่สัดส่วน โมลระหว่างมอนอเมอร์กับตัวเริ่มปฏิกิริยาเท่ากับ 100/1 พบว่าน้ำหนักโมเลกุลและปริมาณสารผลิตภัณฑ์เพิ่มขึ้นอีกครั้งทั้งนี้คาดว่าสัดส่วนของตัวเริ่มปฏิกิริยามากเกินไปอาจจะทำให้เกิดรวมตัวกันของสายโซ่โมเลกุลขึ้นได้ ซึ่งโดยปกติแล้วการรวมตัวกันระหว่างสายโซ่โมเลกุล น้ำหนักโมเลกุลควรที่จะเพิ่มขึ้นเนื่องจากเกิดจากสายโซ่โมเลกุลสองสายมาเชื่อมต่อกัน [50]

ตารางที่ 4.2 ผลของสัดส่วน โมลระหว่างมอนอเมอร์กับตัวเริ่มปฏิกิริยาที่มีต่อปริมาณผลิตภัณฑ์และน้ำหนักโมเลกุลของพอลิเมธิลิตาโคเนต

มอนอเมอร์ต่อ ตัวเริ่มปฏิกิริยา (สัดส่วนโมล)	ปริมาณผลิตภัณฑ์ (ร้อยละ)	น้ำหนักโมเลกุล (กรัม/โมล)		ค่าการกระจายตัว น้ำหนักโมเลกุล (PDI)
		M_n	M_w	
100/0.125	18.18	1,889	3,128	1.66
100/0.5	6.63	1,602	2,460	1.54
100/1	17.72	1,689	3,054	1.80

สภาวะการสังเคราะห์: ไคเมธิลิตาโคเนต 5 มิลลิลิตร, สัดส่วนโมลระหว่างมอนอเมอร์กับคอปเปอร์โบรไมด์ 100/1, สัดส่วนโมลระหว่างคอปเปอร์โบรไมด์กับลิแกนด์ (PMDETA) = 1:1, อุณหภูมิ 90 °C, เวลา 24 ชั่วโมง

ซึ่งผลการวิจัยของ Wenjian X. และคณะฯ [46] ที่ทำการสังเคราะห์พอลิเฮกซะเดคิลอะคริเลตด้วยระบบการสังเคราะห์พอลิเมอร์แบบ ATRP มีความสอดคล้องกับผลการทดลองดังในตารางที่ 4.2 โดยพบว่าเมื่อปริมาณของตัวเริ่มปฏิกิริยาเพิ่มขึ้นจะทำให้อัตราไปข้างหน้าเร็วขึ้น แต่น้ำหนักโมเลกุลของสารผลิตภัณฑ์ลดลง เนื่องจากเกิดปฏิกิริยาไปข้างหน้าเร็ว จึงเกิดปฏิกิริยาข้างเคียงจากการรวมตัวกันของอนุมูลอิสระ

4.4.2 ผลการสังเคราะห์พอลิไคบิวทิลอทาโคเนต

ตารางที่ 4.3 แสดงปริมาณผลิตภัณฑ์และน้ำหนักโมเลกุลของพอลิไคบิวทิลอทาโคเนตที่ใช้สัดส่วนโมลระหว่างมอนอเมอร์กับคอปเปอร์โบรไมด์ ที่สัดส่วนต่างๆ พบว่าสัดส่วนโมลของคอปเปอร์โบรไมด์ที่เพิ่มขึ้นทำให้ปริมาณผลิตภัณฑ์และน้ำหนักโมเลกุลมีค่าเพิ่มขึ้น เนื่องจากมีสัดส่วนของคอปเปอร์โบรไมด์ที่มากจะส่งผลให้การเกิดปฏิกิริยาไปข้างหน้า (Activation) ได้มากหรือมีอัตราการเกิดปฏิกิริยาสูง [82] แต่อย่างไรก็ตามสัดส่วนโมลของคอปเปอร์โบรไมด์ที่มากเกินไป (ในที่นี้คือ 100/5) อาจทำปฏิกิริยาไปข้างหน้าเกิดได้มากกว่าปฏิกิริยาย้อนกลับ ส่งผลให้อนุมูลอิสระของสายโซ่โมเลกุลที่กำลังเติบโตนั้นมีโอกาสที่จะรวมตัวกันได้ จึงเป็นการลดโอกาสในการเติบโตของสายโซ่โมเลกุลและลดตำแหน่งในการเกิดปฏิกิริยา ดังนั้นปริมาณผลิตภัณฑ์และน้ำหนักโมเลกุลจึงลดลง ซึ่งในลักษณะผลของการทดลองดังกล่าวสอดคล้องกับงานวิจัยของ Wootthikanokkhan J. และคณะฯ [50] ที่ทำการสังเคราะห์พอลิเมธิลเมธอะครีเลตด้วยระบบ ATRP พบว่าเมื่อปริมาณคอปเปอร์โบรไมด์เพิ่มขึ้นจะทำให้ปริมาณสารผลิตภัณฑ์และน้ำหนักโมเลกุลของพอลิเมอร์เพิ่มขึ้นในช่วงแรก และหลังจากนั้นจะลดลง เนื่องการเกิดการรวมกันเองของอนุมูลอิสระ จากการที่ระบบการเกิดปฏิกิริยาที่มีอัตราการเกิดปฏิกิริยาไปข้างหน้าเร็วกว่าปฏิกิริยาย้อนกลับ

ตารางที่ 4.3 ผลของสัดส่วนโมลระหว่างมอนอเมอร์กับคอปเปอร์โบรไมด์ที่มีต่อปริมาณผลิตภัณฑ์และน้ำหนักโมเลกุลของพอลิไคบิวทิลอทาโคเนต

มอนอเมอร์ต่อ คอปเปอร์โบรไมด์ (สัดส่วนโมล)	ปริมาณผลิตภัณฑ์ (ร้อยละ)	น้ำหนักโมเลกุล		ค่าการกระจายตัวน้ำหนัก โมเลกุล (PDI)
		M_n	M_w	
100/2	39.58	5,153	8,222	1.60
100/3	45.80	7,089	11,739	1.66
100/4	48.35	7,949	13,124	1.65
100/5	39.66	5,168	8,545	1.65

สภาวะการสังเคราะห์: ไคบิวทิลอทาโคเนต 10 มิลลิลิตร, สัดส่วนโมลระหว่างมอนอเมอร์กับตัวเริ่มปฏิกิริยา 100/2, สัดส่วนโมลระหว่างคอปเปอร์โบรไมด์กับลิแกนด์ (PMDETA) = 1:1, อุณหภูมิ 60 °C, เวลา 24 ชั่วโมง

ตารางที่ 4.4 แสดงปริมาณผลิตภัณฑ์และน้ำหนักโมเลกุลของพอลิไคบิวทิลอิทาโคเนตที่ได้จากการสังเคราะห์โดยใช้สัดส่วนโมลระหว่างมอนอเมอร์กับตัวเริ่มปฏิกิริยา ที่สัดส่วนต่างๆพบว่าเมื่อสัดส่วนโมลของตัวเริ่มปฏิกิริยามากขึ้น ปริมาณผลิตภัณฑ์และน้ำหนักโมเลกุลจะเพิ่มขึ้น เนื่องจากตำแหน่งในการเกิดปฏิกิริยามากขึ้น ส่งผลให้ปฏิกิริยาการเกิดพอลิเมอร์เกิดได้มากขึ้นด้วย แต่เมื่อสัดส่วนโมลของสารเริ่มปฏิกิริยาเพิ่มขึ้นถึงจุดๆ หนึ่ง (ในที่นี้คือ 100/3) พบว่าปริมาณผลิตภัณฑ์และน้ำหนักโมเลกุลลดลง คาดว่าเกิดจากการรวมตัวกันระหว่างอนุมูลอิสระที่ปลายสายโซ่โมเลกุล ทำให้โอกาสปฏิกิริยาการเกิดพอลิเมอร์ลดลง เนื่องจากตำแหน่งในการเกิดปฏิกิริยาลดลง [51]

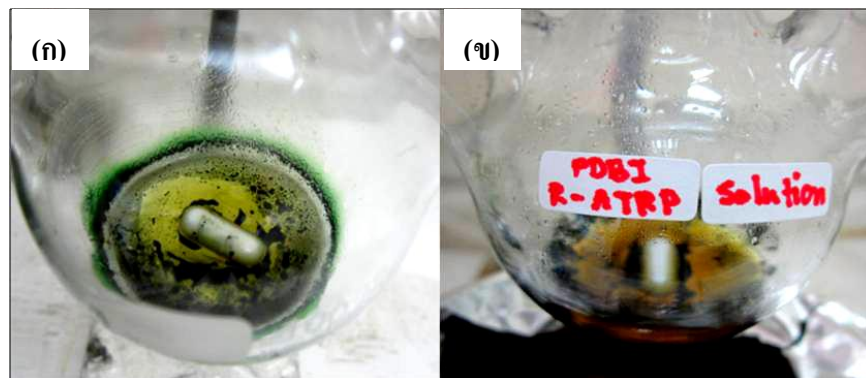
ตารางที่ 4.4 ผลของสัดส่วน โมลระหว่างมอนอเมอร์กับตัวเริ่มปฏิกิริยาที่มีต่อปริมาณผลิตภัณฑ์และน้ำหนักโมเลกุลของพอลิไคบิวทิลอิทาโคเนต

มอนอเมอร์ต่อ ตัวเริ่มปฏิกิริยา (สัดส่วนโมล)	ปริมาณผลิตภัณฑ์ (ร้อยละ)	น้ำหนักโมเลกุล (กรัม/โมล)		ค่าการกระจายตัว น้ำหนักโมเลกุล (PDI)
		M_n	M_w	
100/1	24.05	3,962	6,725	1.70
100/2	48.35	7,949	13,124	1.65
100/3	38.82	4,684	7,443	1.62
100/4	32.08	3,669	5,539	1.51

สภาวะการสังเคราะห์: ไคบิวทิลอิทาโคเนต 10 มิลลิลิตร, สัดส่วน โมลระหว่างมอนอเมอร์กับคอปเปอร์โบรไมด์ = 100/4, สัดส่วนโมลระหว่างคอปเปอร์โบรไมด์กับลิแกนด์ (PMDETA) = 1:1, อุณหภูมิ 60 °C, เวลา 24 ชั่วโมง

4.4.3 ผลการสังเคราะห์ไฮโมพอลิเมอร์ด้วยปฏิกิริยาการเกิดพอลิเมอร์แบบ reverse ATRP

จากการพิจารณาปริมาณสารผลิตภัณฑ์ของไฮโมพอลิเมอร์ดังแสดงในตารางที่ 4.1-4.4 พบว่า สารผลิตภัณฑ์ที่ได้จากการสังเคราะห์พอลิเมอร์นั้นมีปริมาณสารผลิตภัณฑ์ต่ำ ดังนั้นในงานวิจัยนี้จึงมีข้อสันนิษฐานว่าคอปเปอร์ (I) โบรไมด์อาจจะเกิดการสูญเสียความว่องไวต่อการเกิดปฏิกิริยา เนื่องจากเกิดปฏิกิริยาออกซิเดชันกับออกซิเจนในอากาศ จึงได้ทดสอบการสังเคราะห์ไฮโมพอลิเมอร์ ทั้งสองชนิดด้วยระบบ reverse ATRP ซึ่งในระบบใช้คอปเปอร์ (II) โบรไมด์ซึ่งมีความว่องไวต่อการเกิดปฏิกิริยาออกซิเดชันน้อยกว่าคอปเปอร์ (I) โบรไมด์ โดยมีความคาดหวังว่าปริมาณสารผลิตภัณฑ์ที่น่าจะเพิ่มขึ้น ซึ่งผลการสังเคราะห์พบว่าสารละลายไม่สามารถละลายเป็นเนื้อเดียวกัน ดังแสดงในรูปที่ 4.10 จึงทำให้ไม่เกิดสารผลิตภัณฑ์จากการสังเคราะห์พอลิเมอร์ด้วยระบบ reverse ATRP

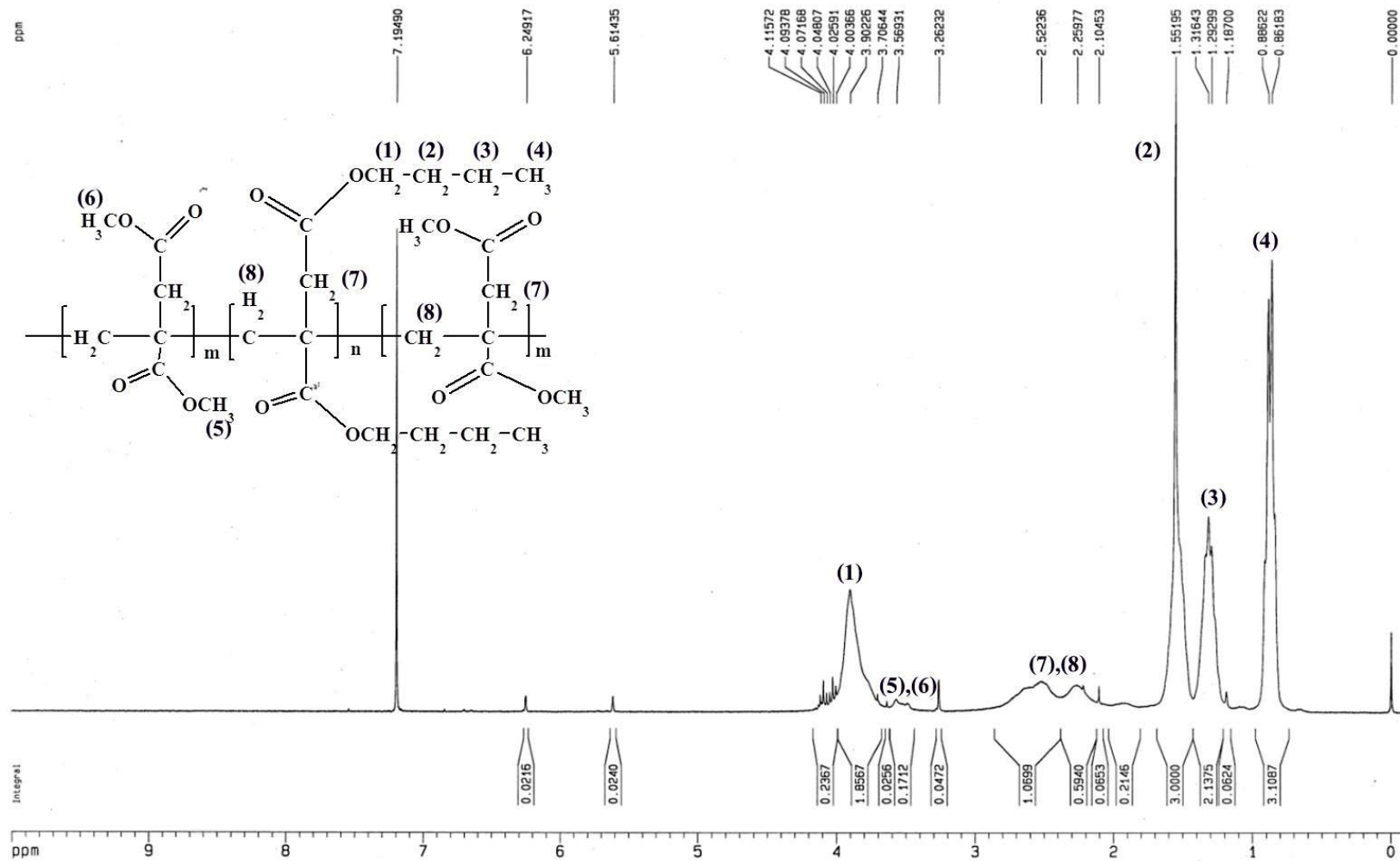


รูปที่ 4.10 สารละลายของสารผลิตภัณฑ์จากการสังเคราะห์พอลิไดเมซิลิธาโคเนต (ก) และพอลิไคบิวทิลิธาโคเนต (ข) จากปฏิกิริยาการเกิดพอลิเมอร์แบบ reverse ATRP

4.5 ผลการพิสูจน์เอกลักษณ์สารผลิตภัณฑ์จากปฏิกิริยาการเกิดพอลิเมอร์ที่มี

โครงสร้างแบบบล็อก

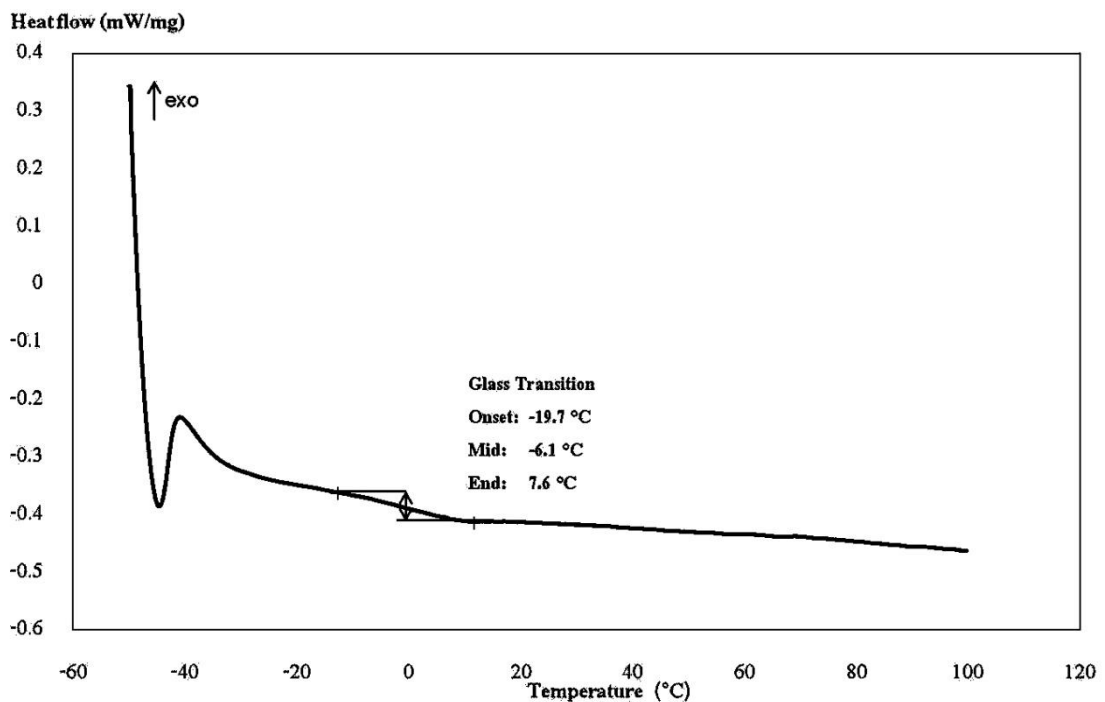
รูปที่ 4.11 แสดงสเปกตรัม $^1\text{H-NMR}$ ของสารผลิตภัณฑ์ที่ได้จากการสังเคราะห์โดยใช้พอลิไคบิวทิลิธาโคเนตเป็นตัวเริ่มปฏิกิริยาแบบแมคโคร ซึ่งจะพบพีคที่ตำแหน่งต่างๆ สอดคล้องกับที่พบในสเปกตรัม $^1\text{H-NMR}$ ของพอลิไดเมซิลิธาโคเนตและพอลิไคบิวทิลิธาโคเนต (รูปที่ 4.5 และ 4.7 ตามลำดับ)



รูปที่ 4.11 สเปกตรัม $^1\text{H-NMR}$ ของผลิตภัณฑ์ที่ได้จากการปฏิกิริยาการเกิดพอลิเมอร์ร่วม

4.6 สมบัติทางความร้อนของสารผลิตภัณฑ์จากปฏิกิริยาการเกิดพอลิเมอร์ร่วม

จากรูปที่ 4.12 แสดง DSC เทอร์โมแกรมของสารผลิตภัณฑ์จากปฏิกิริยาการเกิดพอลิเมอร์ร่วม จะเห็นว่าการเปลี่ยนแปลงของความร้อนจำเพาะที่อุณหภูมิ -6.1 องศาเซลเซียส ซึ่งแสดงถึงค่าอุณหภูมิในการเปลี่ยนสถานะคล้ายแก้ว (T_g) ซึ่งคาดว่าน่าจะเป็นอุณหภูมิในการเปลี่ยนสถานะคล้ายแก้ว (T_g) ของพอลิไดเมทิลอทาโคเนต ซึ่งเป็นตัวเริ่มปฏิกิริยาแบบแมคโคร (เดิมมีค่าเท่ากับ -9.7 องศาเซลเซียส (รูปที่ 4.8)) อย่างไรก็ตามไม่พบว่ามีอุณหภูมิในการเปลี่ยนสถานะคล้ายแก้ว (T_g) ของพอลิไดเมทิลอทาโคเนตปรากฏใน DSC เทอร์โมแกรมในรูปที่ 4.10 ซึ่งอาจจะเป็นไปได้ว่าหน่วยซ้ำของบล็อกพอลิไดเมทิลอทาโคเนตมีน้ำหนักโมเลกุลต่ำเกินไปจึงไม่อยู่ในช่วงอุณหภูมิที่ใช้ในการทดสอบดังกล่าว



รูปที่ 4.12 DSC เทอร์โมแกรมของสารผลิตภัณฑ์จากปฏิกิริยาการเกิดพอลิเมอร์ร่วม

4.7 ผลของปัจจัยต่างๆ ที่มีต่อปริมาณสารผลิตภัณฑ์และน้ำหนักโมเลกุลของ

ผลิตภัณฑ์จากปฏิกิริยาการเกิดพอลิเมอร์ร่วม

จากตารางที่ 4.5 แสดงปริมาณสารผลิตภัณฑ์และน้ำหนักโมเลกุลพอลิเมอร์ร่วมแบบบล็อกของพอลิไคเมธิลอิทาโคเนตกับพอลิไคบิวทิลอิทาโคเนตที่เวลาและอุณหภูมิต่างๆ ซึ่งเป็นผลก่อนที่จะทำปฏิกิริยาด้วยการล้างด้วยเฮกเซนเพื่อกำจัดพอลิไคเมธิลอิทาโคเนตที่เกิดปฏิกิริยากันเอง (Self polymerization) ซึ่งจะพบว่าน้ำหนักโมเลกุลของสารผลิตภัณฑ์ลดลงเมื่อเทียบกับตัวเริ่มปฏิกิริยาแบบแมคโคร คาดว่าการที่มีพอลิไคเมธิลอิทาโคเนตที่เกิดปฏิกิริยากันเองปนอยู่ซึ่งเป็นอาจจะพอลิเมอร์สายสั้นนั้นจะทำให้น้ำหนักโมเลกุลซึ่งเป็นค่าเฉลี่ยลดลง ซึ่งพอลิเมอร์ดังกล่าวเมื่อผ่านการทำปฏิกิริยาด้วยการล้างด้วยเฮกเซนแล้วจะมีน้ำหนักโมเลกุลเพิ่มขึ้นเมื่อเทียบกับตัวเริ่มปฏิกิริยาแบบแมคโคร ดังแสดงในตารางที่ 4.6

จากการพิจารณาตารางที่ 4.6 แสดงปริมาณสารผลิตภัณฑ์และน้ำหนักโมเลกุลของผลิตภัณฑ์ที่ได้จากปฏิกิริยาการเกิดพอลิเมอร์ร่วมแบบบล็อก โดยใช้ตัวเริ่มปฏิกิริยาแบบแมคโครพอลิไคบิวทิลอิทาโคเนตที่ปริมาณต่างๆ และที่อุณหภูมิ 60 และ 90 องศาเซลเซียส เมื่อพิจารณาเปรียบเทียบระหว่างสัดส่วนระหว่างความเข้มข้นของมอนอเมอร์กับตัวเริ่มปฏิกิริยาแบบแมคโครเท่ากับ 100/0.5 และ 100/2 พบว่าปริมาณสารผลิตภัณฑ์เพิ่มขึ้นตามปริมาณที่เพิ่มขึ้นของตัวเริ่มปฏิกิริยาแบบแมคโคร เนื่องจากปริมาณตัวเริ่มปฏิกิริยาแบบแมคโครเพิ่มขึ้นจะส่งผลให้โอกาสในการเกิดปฏิกิริยาพอลิเมอร์มากขึ้น และเมื่อพิจารณาสภาวะการสังเคราะห์ที่มีสัดส่วนระหว่างความเข้มข้นของมอนอเมอร์กับตัวเริ่มปฏิกิริยาแบบแมคโครเท่ากับ 100/1 ที่อุณหภูมิ 60 และ 90 องศาเซลเซียส พบว่าเมื่อทำการสังเคราะห์ที่อุณหภูมิ 60 องศาเซลเซียส น้ำหนักโมเลกุลของสารผลิตภัณฑ์จะเพิ่มขึ้นเมื่อเทียบกับสารผลิตภัณฑ์ที่ได้จากการสังเคราะห์ที่อุณหภูมิ 90 องศาเซลเซียส

ถึงแม้ว่าสภาวะการสังเคราะห์ที่ 60 องศาเซลเซียสจะใช้ตัวเริ่มปฏิกิริยาแบบแมคโครที่มีน้ำหนักโมเลกุลสูงกว่า (7,089 กรัม/โมล) ซึ่งน่าจะเกิดปฏิกิริยาได้ยากกว่าสภาวะการสังเคราะห์ที่ 90 องศาเซลเซียส (6,053 กรัม/โมล) จากเหตุผลในด้านของน้ำหนักโมเลกุลของตัวเริ่มปฏิกิริยาที่สูงจะไปขัดขวางการแพร่เข้าทำปฏิกิริยาของมอนอเมอร์ แต่ผลกลับไม่เป็นเช่นนั้น ทั้งนี้สันนิษฐานว่าการทำปฏิกิริยาที่อุณหภูมิสูงอาจจะทำให้เกิดปฏิกิริยาข้างเคียง เช่น ปฏิกิริยาการเกิดพอลิไคเมธิลอิทาโคเนตด้วยตัวเอง (Self-polymerization) [49] น่าจะมีอิทธิพลมากกว่าปัจจัยทางด้านของน้ำหนักโมเลกุลของตัวเริ่มปฏิกิริยาแบบแมคโครสำหรับการทดลองนี้

ตารางที่ 4.5 ผลของตัวเริ่มปฏิกิริยาแบบแมโครและเวลาที่มีต่อปริมาณผลิตภัณฑ์และน้ำหนักโมเลกุลของผลิตภัณฑ์จากปฏิกิริยาการเกิดพอลิเมอร์ร่วมก่อนการทำบริสุทธิ์

ปริมาณตัวแปร/สภาวะการสังเคราะห์			น้ำหนักโมเลกุลของสาร ผลิตภัณฑ์ (M_n) (กรัม/โมล)	ค่าการกระจายตัว น้ำหนักโมเลกุล (PDI)	ปริมาณผลิตภัณฑ์ (ร้อยละ)
มอนอเมอร์ต่อตัวเริ่มปฏิกิริยา แบบแมโคร (สัดส่วนโมล)	M_n ของตัวเริ่มปฏิกิริยา แบบแมโคร (กรัม/โมล)	อุณหภูมิ (องศาเซลเซียส)			
100/ 0.5	6,825	90	2,718	2.33	39.14
100/ 1	6,053	90	5,807	2.36	35.73
100 / 1	7,089	60	8,123	1.44	28.41
100 / 2	6,825	90	4,134	2.20	61.09

สภาวะการสังเคราะห์: ปริมาณคอปเปอร์โบรไมด์เท่ากับ 0.0258 กรัม, 24 ชั่วโมง

ตารางที่ 4.6 ผลของตัวเริ่มปฏิกิริยาแบบแมคโครและเวลาที่มีต่อปริมาณผลิตภัณฑ์และน้ำหนักโมเลกุลของผลิตภัณฑ์จากปฏิกิริยาการเกิดพอลิเมอร์ร่วมหลังการทำบริสุทธิ์

ปริมาณตัวแปร/สภาวะการสังเคราะห์			น้ำหนักโมเลกุลของสาร ผลิตภัณฑ์ (M_n) (กรัม/โมล)	ค่าการกระจายตัว น้ำหนักโมเลกุล (PDI)	ปริมาณผลิตภัณฑ์ (ร้อยละ)
มอนอเมอร์ต่อตัวเริ่มปฏิกิริยา แบบแมคโคร (สัดส่วนโมล)	M_n ของตัวเริ่มปฏิกิริยา แบบแมคโคร (กรัม/โมล)	อุณหภูมิ (องศาเซลเซียส)			
100/ 0.5	6,825	90	6,938	1.82	21.47
100 / 1	6,053	90	7,214	1.64	30.83
100/ 1	7,089	60	9,486	1.53	24.73
100 / 2	6,825	90	7,650	1.76	46.75

สภาวะการสังเคราะห์: ปริมาณคอปเปอร์โบรไมด์เท่ากับ 0.0258 กรัม, เวลา 24 ชั่วโมง

เนื่องจากการเกิดปฏิกิริยาพอลิเมอร์ร่วมแบบบล็อกของพอลิไคเมธิลอทาโคเนตกับพอลิไคบิวทิลอทาโคเนตเกิดขึ้นได้ค่อนข้างน้อยสังเกตได้จากน้ำหนักโมเลกุลของสารผลิตภัณฑ์ในตารางที่ 4.6 ดังนั้นในงานวิจัยนี้จึงมีแนวคิดที่จะสังเคราะห์พอลิเมอร์ร่วมแบบบล็อกระหว่างสไตรีนกับไคเมธิลอทาโคเนตและไคบิวทิลอทาโคเนต เพื่อเปรียบเทียบความว่องไวในการเข้าทำปฏิกิริยาระหว่างไดอัลคิลอทาโคเนตด้วยกันเองกับไดอัลคิลอทาโคเนตกับพอลิสไตรีน

จากตารางที่ 4.7 แสดงปริมาณสารผลิตภัณฑ์และน้ำหนักโมเลกุลพอลิเมอร์ร่วมแบบบล็อกของพอลิสไตรีนกับพอลิไคเมธิลอทาโคเนตกับพอลิไคบิวทิลอทาโคเนต ซึ่งสารผลิตภัณฑ์ที่ได้จากการสังเคราะห์นั้นยังไม่ผ่านการทำบริสุทธิ์เพื่อกำจัดพอลิไคเมธิลอทาโคเนตที่เกิดปฏิกิริยาด้วยตัวเอง (Self polymerization) เนื่องจากในงานวิจัยนี้ยังไม่สามารถหาตัวทำละลายที่เหมาะสมในการสกัดพอลิไคเมธิลอทาโคเนตและพอลิไคบิวทิลอทาโคเนตออกจากพอลิสไตรีนได้ ซึ่งจะพบว่าน้ำหนักโมเลกุลของสารผลิตภัณฑ์ลดลงเมื่อเทียบกับตัวเริ่มปฏิกิริยาแบบแมคโคร คาดว่าการที่มีพอลิไคเมธิลอทาโคเนตที่เกิดปฏิกิริยาด้วยตัวเอง (Self polymerization) ปนอยู่ซึ่งเป็นอาจจะเป็นพอลิเมอร์สายสั้นนั้นจะทำให้น้ำหนักโมเลกุลซึ่งเป็นค่าเฉลี่ยลดลง

ตารางที่ 4.7 ผลของตัวเริ่มปฏิกิริยาแบบแมโครพอลิสไตรีนและเวลาที่มีต่อปริมาณผลิตภัณฑ์และน้ำหนักโมเลกุลของผลิตภัณฑ์จากปฏิกิริยาการเกิดพอลิเมอร์รวมก่อนการทำบริสุทธิ์

มอนอเมอร์ต่อตัวเริ่มปฏิกิริยาแบบแมโคร (สัดส่วนโมล)	ปริมาณตัวแปร/สภาวะการสังเคราะห์		เวลา (ชั่วโมง)	น้ำหนักโมเลกุลของสารผลิตภัณฑ์ (M_n) (กรัม/โมล)	ค่าการกระจายตัวน้ำหนักโมเลกุล (PDI)	ปริมาณผลิตภัณฑ์ (ร้อยละ)
	M_n ของตัวเริ่มปฏิกิริยาแบบแมโคร (กรัม/โมล)	ชนิดมอนอเมอร์				
100/ 0.125	11,069	ไดเมทิลอิตาโคเนต	12	11,048	1.06	22.67
100/ 0.125	11,069	ไดบิวทิลอิตาโคเนต	24	9,404	1.17	42.46

สภาวะการสังเคราะห์: ตัวเริ่มปฏิกิริยาแบบแมโคร = พอลิสไตรีน, ปริมาณคอปเปอร์โบรไมด์เท่ากับ 0.0258 กรัม, 60 °C

บทที่ 5 สรุปผลการทดลอง

5.1 สรุปผลการทดลอง

จากการดำเนินงานวิจัยที่ผ่านมาทั้งในส่วนของการสังเคราะห์มอนอเมอร์ ไฮโมพอลิเมอร์และพอลิเมอร์ร่วมแบบบล็อก สามารถสรุปสาระสำคัญได้ดังนี้

1. จากผลการวิเคราะห์ด้วยเทคนิค $^1\text{H-NMR}$ ยืนยันว่าการสังเคราะห์ไคเมธิลอทาโคเนตและไคเฮกซิลอทาโคเนตได้เป็นผลสำเร็จ แต่อย่างไรก็ตามสำหรับไคเฮกซิลอทาโคเนตไม่สามารถทำให้บริสุทธิ์ได้
2. จากผลการวิเคราะห์ด้วยเทคนิค $^1\text{H-NMR}$ ยืนยันว่าการสังเคราะห์ไฮโมพอลิเมอร์ คือพอลิไคเมธิลอทาโคเนตและพอลิไคบิวทิลอทาโคเนตได้เป็นผลสำเร็จ
3. ปริมาณผลิตภัณฑ์และน้ำหนักโมเลกุลของไฮโมพอลิเมอร์ทั้ง 2 ชนิดจะเพิ่มขึ้นตามปริมาณการเพิ่มขึ้นของตัวเริ่มปฏิกิริยาและคอปเปอร์โบรไมด์ เมื่อถึงจุดๆ หนึ่งจากนั้นจะลดลง เมื่อปริมาณตัวเริ่มปฏิกิริยาและคอปเปอร์โบรไมด์ที่ใช้มากเกินไป ในขณะที่เวลาในการสังเคราะห์พอลิไคเมธิลอทาโคเนตที่เพิ่มขึ้นจะทำให้ปริมาณผลิตภัณฑ์เพิ่มขึ้น โดยปริมาณสารผลิตภัณฑ์และน้ำหนักโมเลกุล (M_n) ของพอลิไคเมธิลอทาโคเนตสูงสุดที่ได้จากงานวิจัยนี้คือร้อยละ 18.18 และ 1,889 กรัม/โมล ตามลำดับ ซึ่งได้จากการสังเคราะห์โดยใช้ปริมาณตัวเริ่มปฏิกิริยาเท่ากับ 0.01557 กรัม คอปเปอร์โบรไมด์ 0.05160 กรัม ในขณะที่ปริมาณผลิตภัณฑ์และน้ำหนักโมเลกุล (M_n) ของพอลิไคบิวทิลอทาโคเนตสูงที่สุดคือร้อยละ 48.35 และ 7,949 กรัม/โมล ตามลำดับ ที่ปริมาณตัวเริ่มปฏิกิริยาเท่ากับ 2.40 กรัม คอปเปอร์โบรไมด์ 0.2330 กรัม
4. การสังเคราะห์พอลิเมอร์ร่วมจากไคเมธิลอทาโคเนตและไคบิวทิลอทาโคเนตได้ปริมาณผลิตภัณฑ์และน้ำหนักโมเลกุลต่ำ ทั้งนี้ทั้งนั้นขึ้นอยู่กับสภาวะและตัวแปรในการสังเคราะห์ กล่าวคือ ปริมาณตัวเริ่มปฏิกิริยาแบบแมโครมากจะทำให้ปฏิกิริยาเกิดได้ดี นอกจากนี้ยังพบว่าที่สัดส่วนโมลของมอนอเมอร์ต่อตัวเริ่มปฏิกิริยาแบบแมโครเท่ากับ 100/1 การใช้อุณหภูมิในการสังเคราะห์บล็อกโคพอเมอร์ที่ 60 องศาเซลเซียส ส่งผลให้ผลิตภัณฑ์ที่ได้มีน้ำหนักโมเลกุลขึ้นเมื่อเทียบกับน้ำหนักโมเลกุลของ

จากการสังเคราะห์พอลิเมอร์ในงานวิจัยนี้พบว่าปริมาณสารผลิตภัณฑ์และน้ำหนักโมเลกุลขึ้นอยู่กับหลายปัจจัย เช่น ปริมาณของตัวเริ่มปฏิกิริยา ปริมาณสารเร่งปฏิกิริยา เวลา และอุณหภูมิ ซึ่งการสังเคราะห์พอลิเมอร์จะต้องมีสภาวะการสังเคราะห์ที่เหมาะสม เช่น ปริมาณสารเร่งปฏิกิริยาควรมีสัดส่วนโมลเป็น 1:1 เมื่อเทียบกับอะตอมของธาตุหมู่ 7 ในตัวเริ่มปฏิกิริยา เพื่อในขั้นของปฏิกิริยาไปข้างหน้าที่มีการเกิดสารประกอบเชิงซ้อนที่พอดีกัน เนื่องจากมีสัดส่วนโมลเป็น 1:1 หากมีการเติมปริมาณสารเร่งปฏิกิริยาที่มากเกินไปเกินสัดส่วนดังกล่าว ทั้งปริมาณสารผลิตภัณฑ์และน้ำหนักโมเลกุลจะลดลง เนื่องจากเกิดปฏิกิริยาข้างเคียงจากการที่ปฏิกิริยาไปข้างหน้าเร็วกว่าปฏิกิริยาย้อนกลับ อนุโมลอิสระจึงมีโอกาสร่วมตัวกันมากขึ้น

ในส่วนของปริมาณตัวเริ่มปฏิกิริยาจะต้องมีการใช้ในปริมาณที่เหมาะสมเช่นกัน เพราะหากใช้ในปริมาณที่มากเกินไปจะทำให้มีอนุโมลอิสระในระบบมากเกินไป แล้วจะทำให้เกิดปฏิกิริยาข้างเคียงโดยเกิดจากการรวมตัวกันเองของอนุโมลอิสระขึ้นได้

5.2 ข้อเสนอแนะ

1. ควรควบคุมระบบไม่ให้เกิดปฏิกิริยาไปข้างหน้าเร็วเกินไป เพื่อป้องกันการเกิดปฏิกิริยาข้างเคียงซึ่งส่งผลให้ปริมาณผลิตภัณฑ์และน้ำหนักโมเลกุลต่ำ และค่าการกระจายตัวของน้ำหนักโมเลกุลสูง เช่น ไม่ควรเติมคอปเปอร์โบรไมด์ในปริมาณที่มากเกินไป ควรเติมในปริมาณที่เหมาะสมคือ สัดส่วนโมลระหว่างมอนอเมอร์กับคอปเปอร์โบรไมด์ควรจะเป็น 1:1
2. หลีกเลี่ยงการสังเคราะห์ที่อุณหภูมิสูง เพื่อป้องกันการเกิดปฏิกิริยาข้างเคียง เช่น ปฏิกิริยาการเกิดพอลิเมอร์ด้วยตัวเองของมอนอเมอร์ (Self polymerization)
3. ในการสังเคราะห์พอลิเมอร์ร่วมแบบบล็อกหากมีการใช้ตัวเริ่มปฏิกิริยาแบบแมคโครที่มีน้ำหนักโมเลกุลต่ำกว่าในงานวิจัยที่ได้ทำมาแล้วนี้ มอนอเมอร์น่าจะแพร่เข้าทำปฏิกิริยากับตัวเริ่มปฏิกิริยาแบบแมคโครได้ง่ายขึ้น
4. ในส่วนของการสังเคราะห์พอลิไดบิวทิลอิตาโคเนตควรเพิ่มเวลาในการเกิดปฏิกิริยาโดยสังเคราะห์ในระบบที่มีการใช้ชนิดและสัดส่วนของสารละลายที่เหมาะสม
5. สำหรับการสังเคราะห์ในระบบที่ใช้สารละลายควรจะเปลี่ยนเป็นตัวทำละลายชนิดอื่นที่มีจุดเดือดสูงกว่าเตตระไฮโดรฟูแรน เช่น โทลูอีน

เอกสารอ้างอิง

1. Pierre G., 2011, “Direct Routes from Biomass to End-products”, **Catalysis Today**, Vol. 167, pp. 31–36.
2. Jennifer L.R., Katherine B.A., 2008, “Ring-Opening Polymerization of Lactide To Form a Biodegradable Polymer”, **Chemical Education**, Vol. 85 (2), pp. 285-294.
3. Gupta A.P., Vimal K., 2007, “New Emerging Trends in Synthetic Biodegradable Polymer – Polylactic: A critique”, **European Polymer Journal**, Vol. 43, pp. 4053-4074.
4. **Natural Fiber Reinforced PLA Composites** [Online], Available: <http://adsabs.harvard.edu/abs/2010AIPC.1255..261S> [2012, Oct 12].
5. Ge J, Wang Y, Min S., 2010, “Degradable Performance and Bio-mineralization Function of PLA-PEG-PLA/PLA Tissue Engineering Scaffold in Vitro and In vivo”, **National Center for Biotechnology Information advances science and health**, Vol. 25 (5), pp. 1070-1075.
6. **PLA applications** [Online], Available: <http://www.purac.com/EN/Bioplastics/PLA-applications.aspx> [2012, Sep 18].
7. Kai-Lai G.H., Anthony L., “Degradation of Polylactic Acid (PLA) Plastic in Costa Rican Soil and Iowa State University Compost Rows”, **Environmental Polymer Degradation**, Vol. 7 (4), pp 173-177.
8. Popovic I.G., 2005, “The Non-oxidative Thermal Degradation of Poly(di-n-alkyl itaconates) II. Analysis of the Polymer Residue,” **Polymer Degradation and Stability**, Vol. 89, pp.165-174.

9. Brinkmann-Rengel S., Abetz V., Stadler R., Thomas E.L., 1999, "Thermoplastic Elastomers based on ABA-and ABC-Triblock Copolymers", **Macromolecular chemistry**, Vol. 52, pp. 806-813.
10. **Block copolymers** [Online], Available:
http://www.eastman.com/Markets/Tackifier_Center/Pages/Block_Copolymer.aspx [2012, Oct 19].
11. Yingwu L., Xiaoguang W., Yue Z., Bo-Geng L., Shiping Z., 2010, "Polystyrene-block-poly(n-butyl acrylate)-block-polystyrene Triblock Copolymer Thermoplastic Elastomer Synthesized via RAFT Emulsion Polymerization", **Macromolecules**, Vol. 43 (18), pp. 7472–7481.
12. Hadjichristidis N., 2003, "Block Copolymer by Cationic Polymerization," **Wiley-Interscience**, pp. 29-40.
13. Hadjichristidis N., 2003, "Block Copolymer by Anionic Polymerization," **Wiley-Interscience**, pp. 3-11
14. Long-Cheng G., Qi-Wei P., Chao W., 2007, "ABA-type Liquid Crystalline Triblock Copolymers via Nitroxide-mediated Radical Polymerization: Design, Synthesis, and Morphologies", **Polymer Science Part A: Polymer Chemistry**, Vol. 45, pp. 5949–5956.
15. Shuhui Q., Kunyuan Q., 2001, "Synthesis of Triblock Copolymers Containing Polyisoprene Segments using Iniferter Technique", **Acta Polymerica Sinica**, Vol. 1, pp. 549-552.
16. Polymer Synthesis and Modification [Online], Available:
<http://www2.matse.psu.edu/fac/hicknergrou/research.html> [2012, Oct 21].
17. Wang J.S., Jerome R., 1994, "Anionic Polymerization of Acrylic Monomers. 21. Anionic Sequential Polymerization of 2-Ethylhexyl Acrylate and Methyl Methacrylate", **Macromolecules**, Vol. 27, pp. 4908-4913.

18. Ming Yu J., 1996, "Poly(alkyl methacrylate-*b*-butadiene-*b*-alkyl methacrylate) Triblock Copolymers: Synthesis, Morphology, and Mechanical Properties at High Temperatures.", **Macromolecules**, Vol. 29, pp. 8362-8370.
19. Tong J.D., 2000, "Synthesis and Bulk Properties of Poly(methyl methacrylate)-*b*-Poly(isooctyl acrylate)-*b*-Poly(methyl methacrylate)", **Polymer**, Vol. 41, pp. 4617-4624.
20. Datta H., 2009, "Methacrylate/Acrylate ABA Triblock Copolymers by Atom Transfer Radical Polymerization; their Properties and Application as a Mediator for Organically Dispersible Gold Nanoparticles", **Polymer**, Vol. 50, pp. 3259-3268.
21. **Introduction to Polymer Chemistry Anionic Polymerization** [Online], Available: <http://chem.chem.rochester.edu/~chem421/anionic.htm> [2012, Aug 24].
22. Cvetkovka M., et al., 1998, "ABA Type Block Copolymer of Poly(methyl methacrylate) and Poly(dialkyl itaconate) with Poly(di methyl siloxane) :Synthesis and Characterization", **Bulletin of the Chemists and Technologists of Macedonia**, Vol.17, pp. 17–24.
23. **ทีพีอี-วัสดุผสมของพลาสติกกับยางเพื่อทดแทนยาง** [Online], Available: http://www.mtec.or.th/index.php?option=com_content&task=view&id=1002&Itemid=176 [2012, Oct 18].
24. **Promising New Triblock Copolymers Based on Ionic Liquids** [Online], Available: <http://www.materialsviews.com/promising-new-triblock-copolymers-based-on-ionic-liquids/> [2012, Oct 18].
25. **Styrenic Thermoplastic Elastomers** [Online], Available: <http://www.polyone.com/en-us/products/thermoelastic/Pages/OnFlexSStyrenicThermoplasticElastomers.aspx> [2012, Oct 22].

26. **Styrenic Block Copolymers (TPS or TPE-S)** [Online], Available:
http://www.elastotpe.com/en/products_what-is-tpe_tps.html [2012, Oct 18].
27. **Thermoplastic elastomer** [Online], Available:
http://en.wikipedia.org/wiki/Thermoplastic_elastomer [2012, Oct 18].
28. **Thermoplastic Vulcanizates** [Online], Available: <http://www.temarex.com/tpv.htm>
[2012, Oct 18].
29. **Thermoplastic vulcanizates (TPVs)** [Online], Available:
<http://www.exxonmobilchemical.com/Chem-English/brands/santoprene-thermoplastic-vulcanizate-tpv.aspx?ln=productsservices> [2012, Oct 18].
30. **TPEs Move Up the Performance Scale** [Online], Available:
<http://www.ptonline.com/articles/tpes-move-up-the-performance-scale> [2012, Oct 27].
31. Ahmad M., 2004, “Studies on Rheological Behaviour of Thermoplastic Elastomer Derived from PVC and NBR Using Torque Rheometry”, **Iranian Polymer Journal**, Vol. 13, pp. 455-461.
32. Wade A.B., Krzysztof M., 2006, “Controlled/living radical polymerization: Features, developments, and perspectives”, **Progress in Polymer Science**, Vol. 32, pp. 93-146.
33. Vivek M., Rajesh K., 2012, “Living Radical Polymerization: A Review”, **Scientific Research**, Vol. 56, pp. 141-176.
34. จตุพร วุฒิกนกกาญจน์, “การควบคุมปฏิกิริยาการสังเคราะห์พอลิเมอร์แบบอนุมูลอิสระ”, เอกสารประกอบการสอน MTT 653 **Synthesis and Chemical Reaction of polymers**, คณะพลังงานสิ่งแวดล้อมและวัสดุ มหาวิทยาลัยเทคโนโลยีพระจอมเกล้าธนบุรี, หน้า 59-75.
35. Lechoslaw A.U., Robert S., Lewis J.F., 2003, “Solution properties of polystyrene-polybutadiene block copolymers”, **Polymer Science**, Vol. 6, pp. 2051-2066.

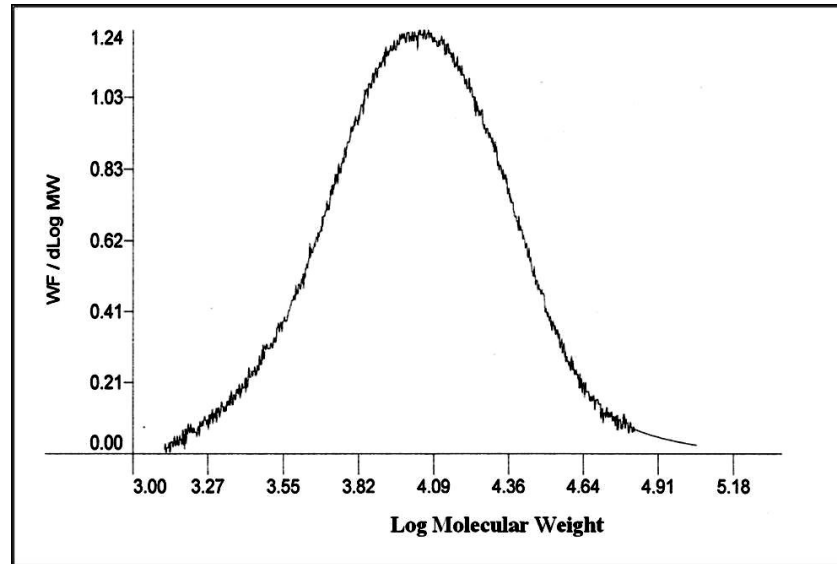
36. **Living cationic polymerization** [Online], Available:
http://en.wikipedia.org/wiki/Living_cationic_polymerization [2011, May 21].
37. Hanne E., Jorgen K., Anders N., Bela I., 1993, "Living Carbocationic Polymerization of Isobutylene and Synthesis of ABA Block Copolymers by Conventional Laboratory Techniques", **Polymer Bulletin**, Vol. 31, pp. 59-166.
38. Atsushi G., Yoshinobu T., Takeshi F., 2000, "Effects of Acetic Anhydride on the Activation and Polymerization Rates in Nitroxide-Mediated Polymerization of Styrene", **Chemical Society of Japan**, Chemical Letters, pp. 788-789.
39. Milan M., Benoit H. L., Valerie C., Edwin J., Yang L., 2011, "Incorporating Primary Amine Pendant Groups into Copolymers via Nitroxide Mediated Polymerization", **Reactive and Functional Polymers**, Vol. 71, pp. 1137-1147.
40. Crag J. H., Anton W. B., Eva H., 2001, "New Polymer Synthesis by Nitroxide Mediated Living Radical Polymerizations", **Chem Rev**, Vol. 101, pp. 3661-3688.
41. Tomohiro H., Ryoko T., Makiko S., Tsuneyuki S., 2002, "Chain-Transfer Reaction in the Radical Polymerization of Di-*n*-butyl Itaconate at High Temperatures", **Polymer Science**, Vol. 40, pp. 2415-2426.
42. **TEMPO** [Online], Available:
<http://www.sigmaaldrich.com/catalog/product/aldrich/426369?lang=en®ion=TH> [2011, May 21].
43. **Development of ATRP** [Online], Available: <http://www.cmu.edu/maty/development-atrp/index.html> [2011, Jun 20].
44. **Solvent Effects and Selection of a Catalyst for Aqueous Media** [Online], Available:
<http://www.cmu.edu/maty/chem/catalyst-development/solvent-effects-and-selection-of-a-catalyst-for-aqueous-media.html> [2011, Jun 20].

45. Dayananda K., Ramakrishnan A., Dhamodharan R., 2007, "Synthesis and Characterization of Block Copolymers P(MMA-b-n-BA-b-MMA) via Ambient Temperature ATRP of MMA", **Macromolecular Science**, Vol. 42, pp. 471-484.
46. Wenjian X., Xiulin Z., Zhenping C., Jianying C. Jianmei L., 2003, "Atom Transfer Radical Polymerization of hexadecyl Acrylate Using CuSCN as the Catalyst", **Macromolecular Research**, Vol. 12, pp. 32-37.
47. Dewangan B., Jagtap R. N., 2005, "Preparation of PTBA-PAA-PMMA Compatibilizer for PET-PMMA Blend by Atom Transfer Radical Polymerization", **Chinese Chemical Society**, Vol. 52, pp. 975-964.
48. Do Weon L., 2004, "Several Effect on Atom Transfer Radical Polymerization of Methyl Mthacrylate Using CuX/Cyclopentyl Pyridine-2-Carboximidate Catalyst", **J. Ind. Eng.Chem.**, Vol. 10, pp. 592-600.
49. **Atom-transfer radical-polymerization** [Online], Available: http://en.wikipedia.org/wiki/Atom-transfer_radical-polymerization [2012, Nov 2].
50. Wootthikanokkhan J., Peesan M., Phinyocheep P., 2000, "Atom Transfer Radical Polymerization of (mehtyl)acrylic Monomer and Isoprene", **European Polymer Journal**, Vol. 37, pp. 2063-2071.
51. **Reverse" ATRP** [Online], Available: <http://www.cmu.edu/maty/atrp-how/procedures-for-initiation-of-ATRP/reverse-atrp.html> [2012, Oct 10].
52. **Activator ReGenerated by Electron Transfer (ARGET) ATRP** [Online], Available: <http://www.cmu.edu/maty/atrp-how/procedures-for-initiation-of-ATRP/arget-icar.html> [2012, Sep 28].

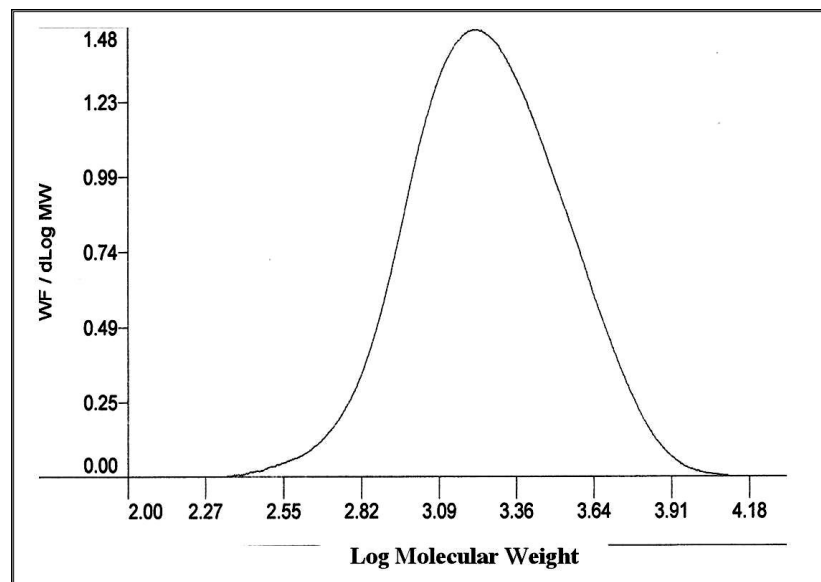
53. Matyjaszewski K., Bocheng Z., Steve E., 2006, "Applying ARGET ATRP to the Growth of Polymer Brush Thin Films by Surface-initiated Polymerization", **Sigma Aldrich**.
54. Takyuki O., 2000, "Iniferter Concept and Living Radical Polymerization", **Polymer Science**, Vol. 38, pp. 2121-2136.
55. Emmanuel M., Jean-Franc U. L., Thierry L., Matyjaszewski K., Olivier G., Wayne F. R., 2005, "Kinetics and Molar Mass Evolution during Atom Transfer Radical Polymerization of n-Butyl Acrylate Using Automatic Continuous Online Monitoring", **Macromolecules**, Vol. 38, pp. 9556-9563
56. **Reversible addition-fragmentation chain-transfer polymerization** [Online], Available: http://en.wikipedia.org/wiki/Reversible_addition%E2%88%92fragmentation_chain-transfer_polymerization [2012, Oct 12].
57. Han de B., 2001, "RAFT memorabilia: Living Radical Polymerization in Homogeneous and Heterogeneous Media", **Polymer Science**, Vol. 39, pp. 1353.
58. Edgar H. H.W., Cyrille B., Martina H. S., Barner-Kowollik C., Thomas J., 2010, "Spin Capturing with Nitrones: Radical Coupling Reactions with Concurrent Introduction of Midchain Functionality", **The Royal Society of Chemistry**, Vol. 11, pp. 1-13.

ภาคผนวก ก.

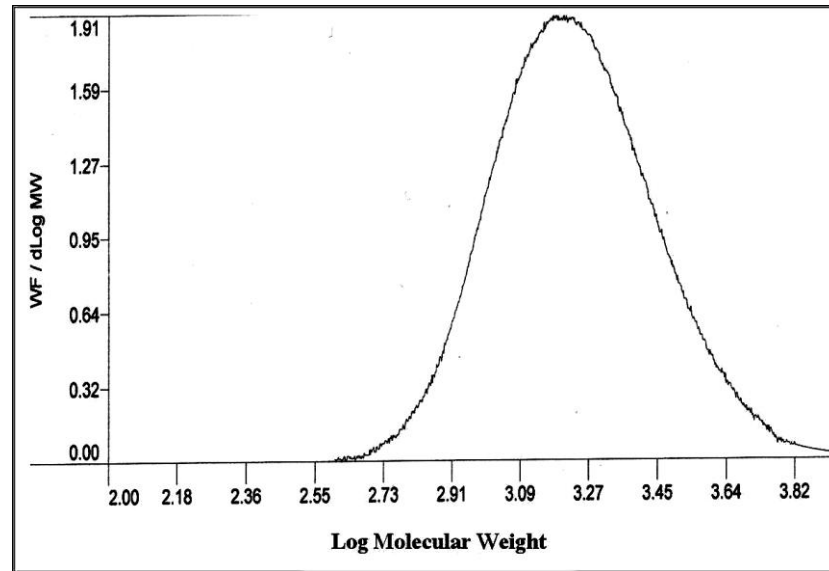
GPC โครมาโทแกรมของพอลิไดเมธิลอิทาโคเนต
พอลิไดบิวทิลอิทาโคเนตและผลิตภัณฑ์จากการสังเคราะห์พอลิเมอร์ร่วม
ที่สภาวะการสังเคราะห์ต่างๆ



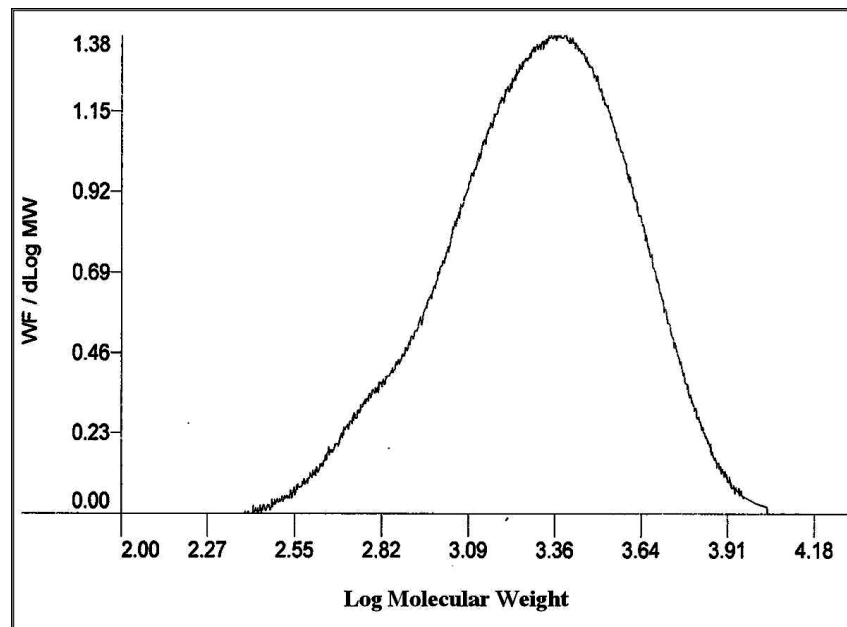
รูปที่ ก.1 GPC โครมาโทแกรมของพอลิไดเมซิลอิตาโคเนตจากการสังเคราะห์ที่อุณหภูมิ 90 องศาเซลเซียส 24 ชั่วโมง ในตัวทำละลายเตตระไฮโดรฟูแรน (น้ำหนักโมเลกุล (M_n) 8,251 กรัม/โมล (self-polymerization))



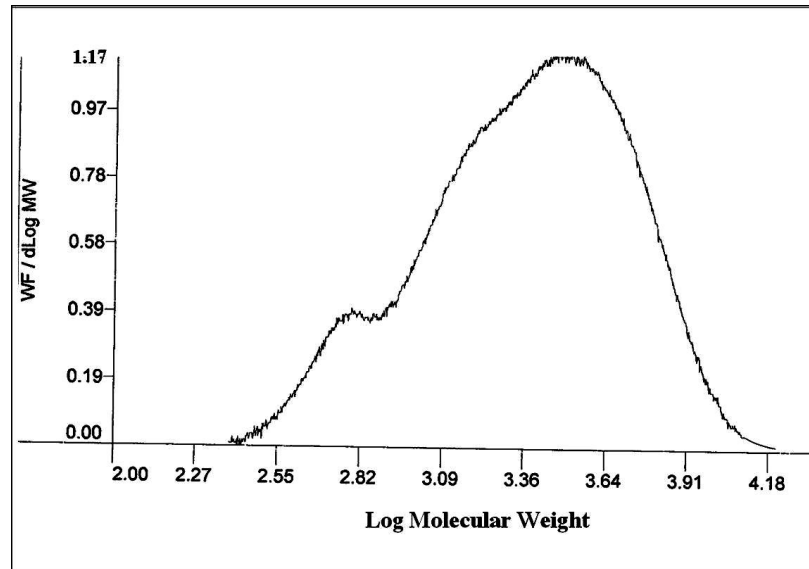
รูปที่ ก.2 GPC โครมาโทแกรมของพอลิไดเมซิลอิตาโคเนต (ปริมาณคอปเปอร์โบรไมด์ 0.1549 กรัม ตัวเริ่มปฏิกิริยา 0.2500 กรัม อุณหภูมิ 90 องศาเซลเซียส 24 ชั่วโมง)



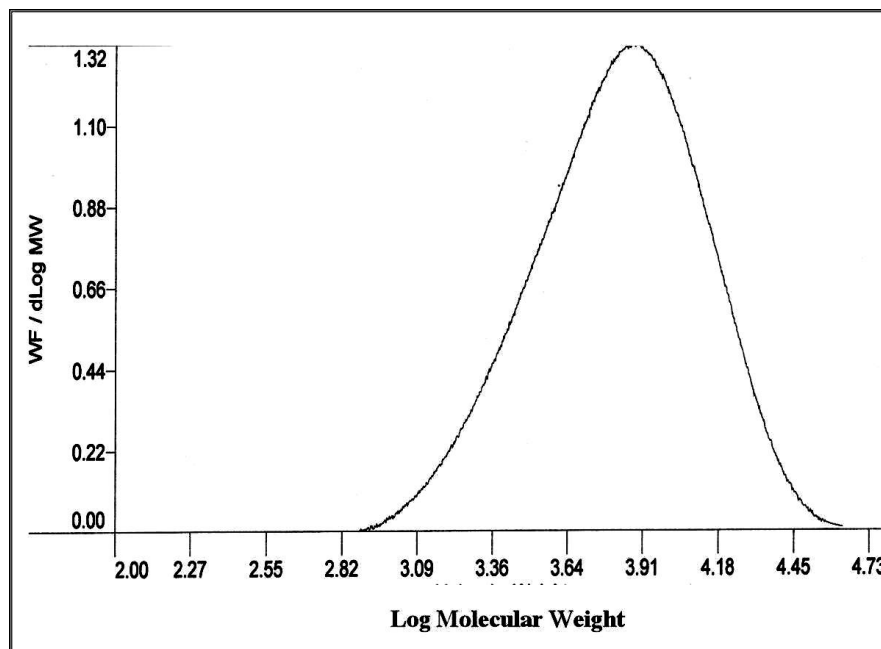
รูปที่ ก.3 GPC โครมาโทแกรมของพอลิไดเมซิลอทาโคเนต (ปริมาณคอปเปอร์โบรไมด์ 0.2066 กรัม
ตัวเริ่มปฏิกิริยา 0.2500 กรัม อุณหภูมิ 90 องศาเซลเซียส 24 ชั่วโมง)



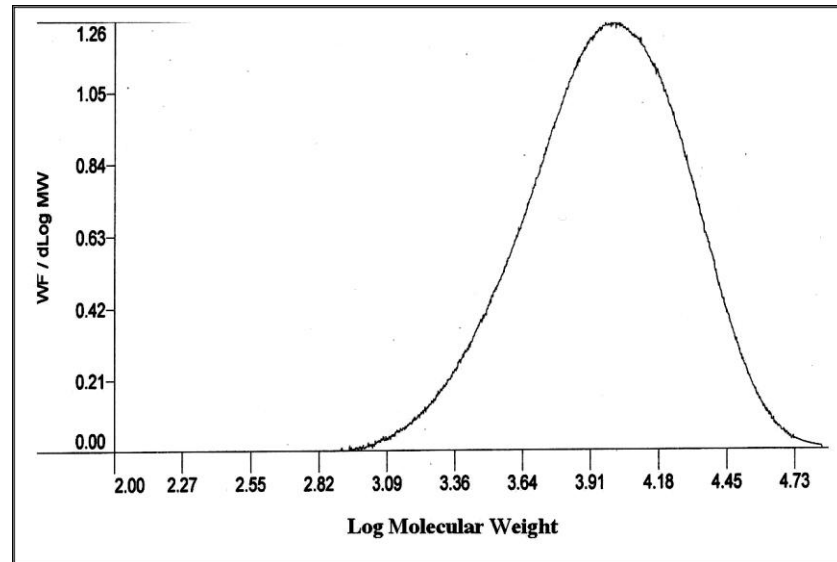
รูปที่ ก.4 GPC โครมาโทแกรมของพอลิไดเมซิลอทาโคเนต (สารเริ่มปฏิกิริยา 0.06228 กรัม ปริมาณ
คอปเปอร์โบรไมด์ 0.0516 กรัม อุณหภูมิ 90 องศาเซลเซียส 24 ชั่วโมง)



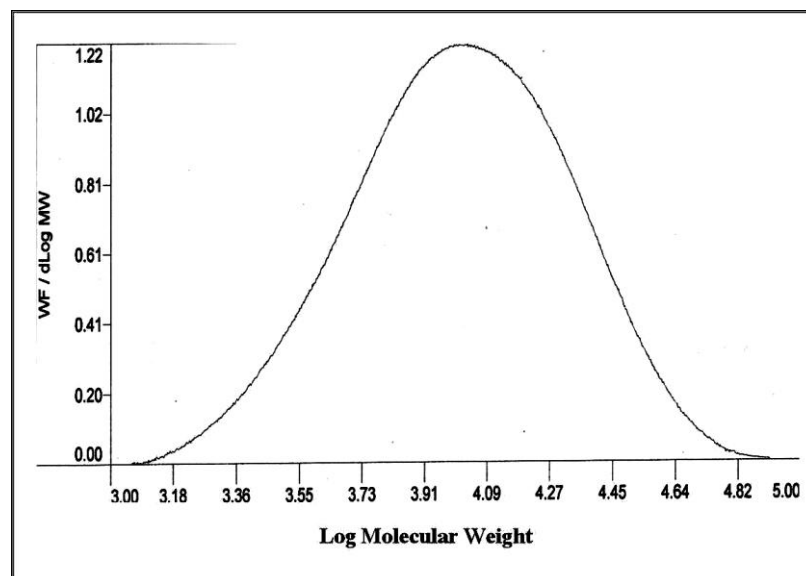
รูปที่ ก.5 GPC โครมาโทแกรมของพอลิไดเมซิลอทาโคเนต (ตัวเริ่มปฏิกิริยา 0.1246 กรัม ปริมาณ คอปเปอร์โบรไมด์ 0.0516 กรัม อุณหภูมิ 90 องศาเซลเซียส 24 ชั่วโมง)



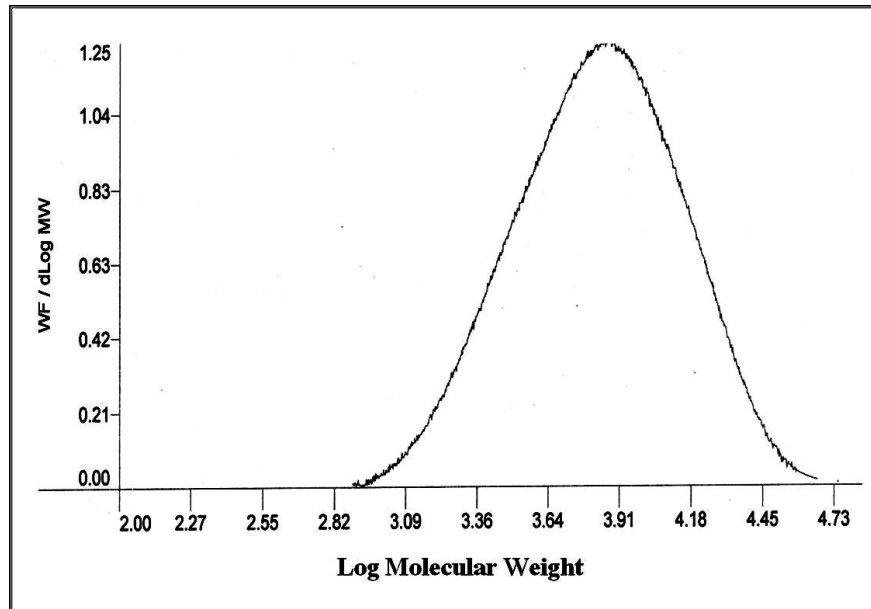
รูปที่ ก.6 GPC โครมาโทแกรมของพอลิไดบิวทิลอทาโคเนต (ปริมาณคอปเปอร์โบรไมด์ 0.1176 กรัม ตัวเริ่มปฏิกิริยา 0.2837 กรัม อุณหภูมิ 60 องศาเซลเซียส 24 ชั่วโมง)



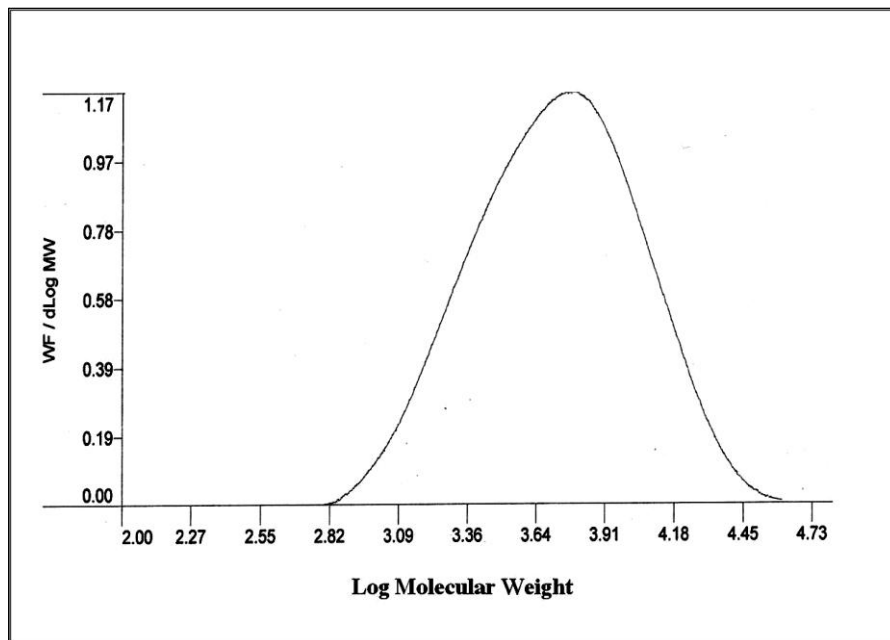
รูปที่ ก.7 GPC โครมาโทแกรมของพอลิไควนทิลอิทาโคเนต (ปริมาณคอปเปอร์โบรไมด์ 0.1764 กรัม ตัวเริ่มปฏิกิริยา 0.2837 กรัม อุณหภูมิ 60 องศาเซลเซียส 24 ชั่วโมง)



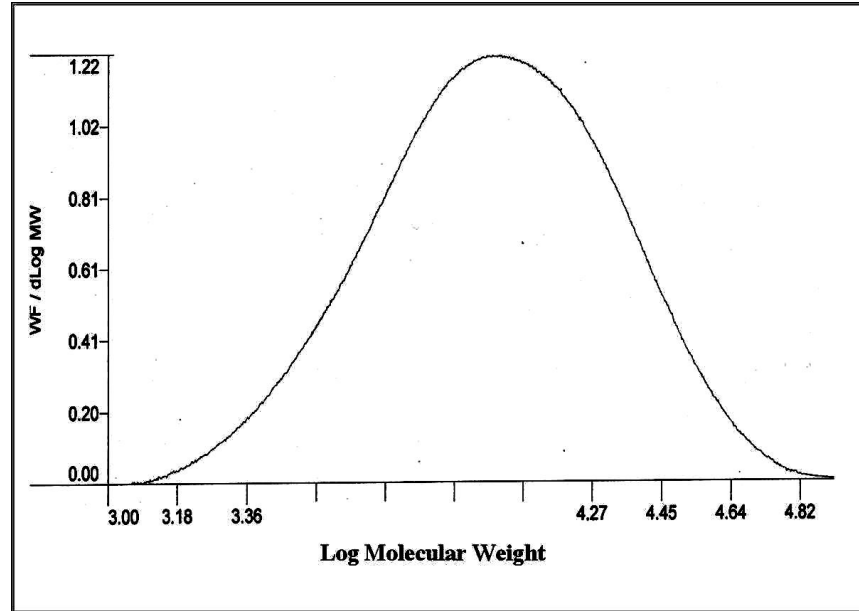
รูปที่ ก.8 GPC โครมาโทแกรมของพอลิไควนทิลอิทาโคเนต (ปริมาณคอปเปอร์โบรไมด์ 0.2352 กรัม ตัวเริ่มปฏิกิริยา 0.2837 กรัม อุณหภูมิ 60 องศาเซลเซียส 24 ชั่วโมง)



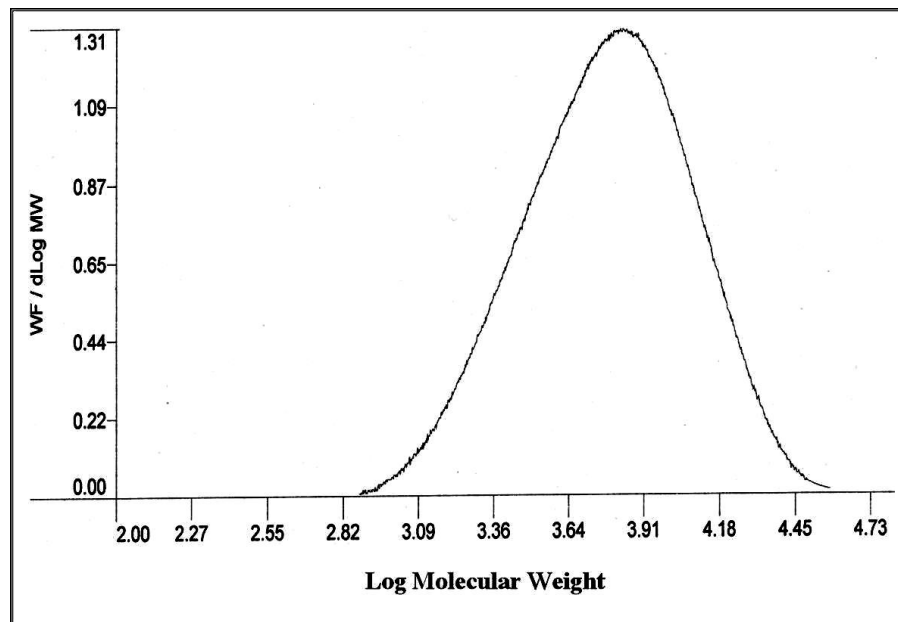
รูปที่ ก.9 GPC โครมาโทแกรมของพอลิไควนทิลอิทาโคเนต (ปริมาณคอปเปอร์โบรไมด์ 0.2940 กรัม ตัวเริ่มปฏิกิริยา 0.2837 กรัม อุณหภูมิ 60 องศาเซลเซียส 24 ชั่วโมง)



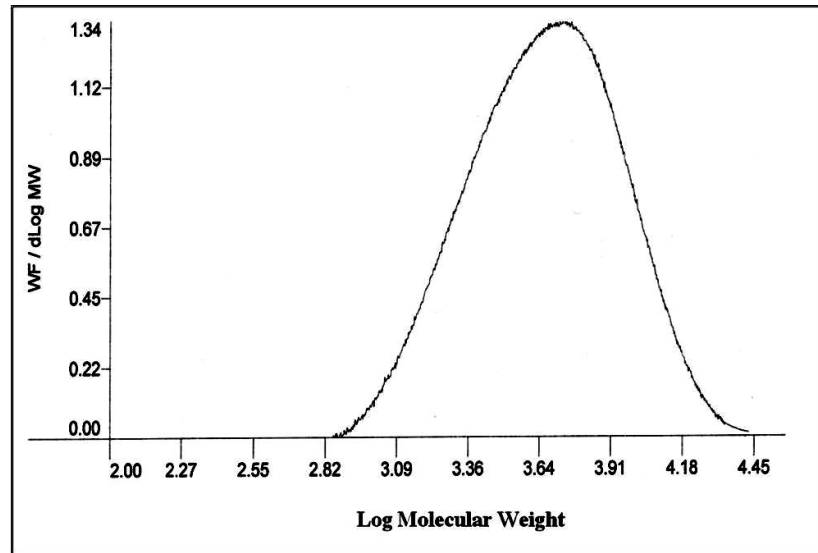
รูปที่ ก.10 GPC โครมาโทแกรมของพอลิไควนทิลอิทาโคเนต (ตัวเริ่มปฏิกิริยา 0.1418 กรัม ปริมาณคอปเปอร์โบรไมด์ 0.2352 กรัม อุณหภูมิ 60 องศาเซลเซียส 24 ชั่วโมง)



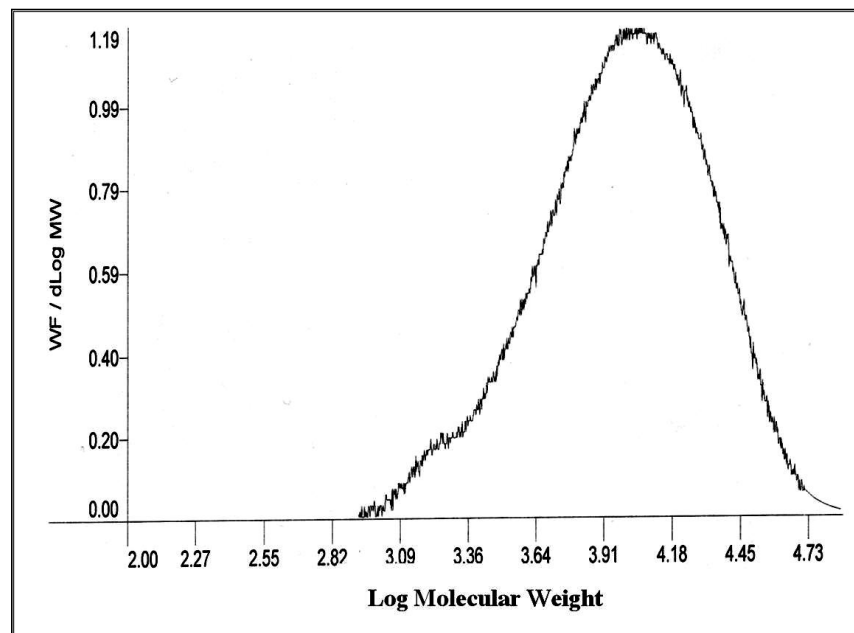
รูปที่ ก.11 GPC โครมาโทแกรมของพอลิไดบิวทิลออลิโททาโคเนต (ตัวเริ่มปฏิกิริยา 0.2837 กรัมปริมาณ
คอปเปอร์โบรไมด์ 0.2352 กรัม อุณหภูมิ 60 องศาเซลเซียส 24 ชั่วโมง)



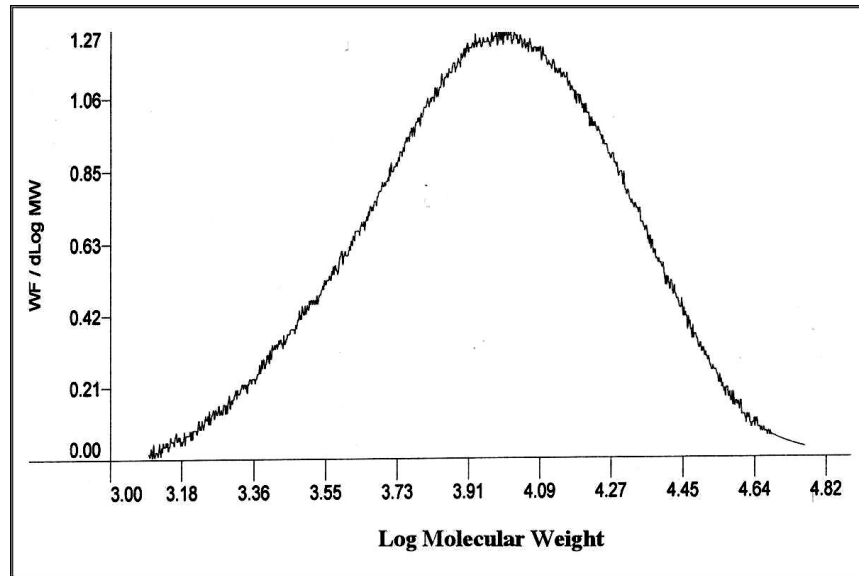
รูปที่ ก.12 GPC โครมาโทแกรมของพอลิไดบิวทิลออลิโททาโคเนต (ตัวเริ่มปฏิกิริยา 0.4255 กรัมปริมาณ
คอปเปอร์โบรไมด์ 0.2352 กรัม อุณหภูมิ 60 องศาเซลเซียส 24 ชั่วโมง)



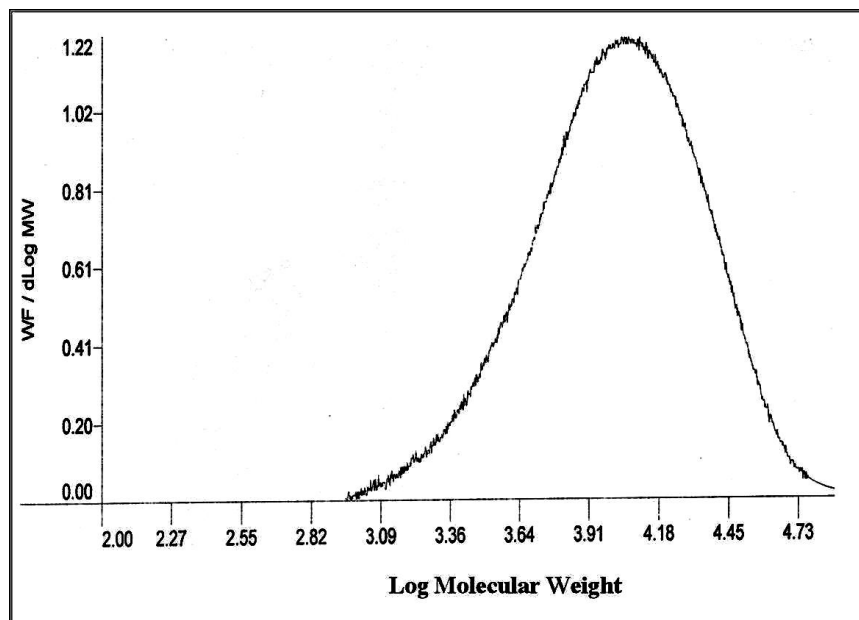
รูปที่ ก.13 GPC โครมาโทแกรมของพอลิไควนทิลอิทาโคเนต (ตัวเริ่มปฏิกิริยา 0.2352 กรัม ปริมาณ คอปเปอร์โบรไมด์ 0.5674 กรัม อุณหภูมิ 60 องศาเซลเซียส 24 ชั่วโมง)



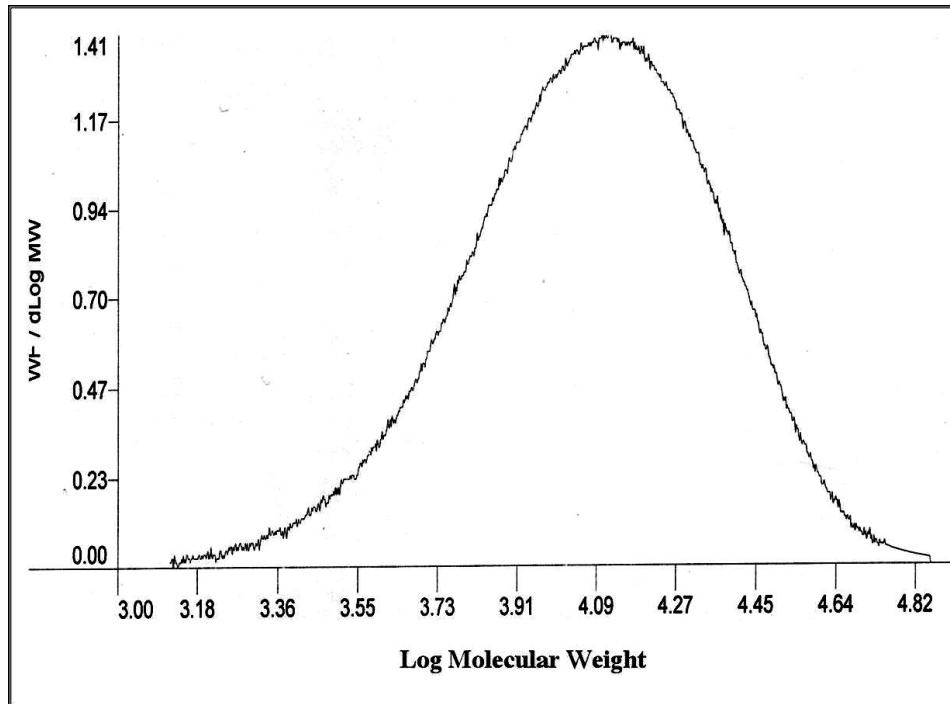
รูปที่ ก.14 GPC โครมาโทแกรมของผลิตภัณฑ์ที่ได้จากการสังเคราะห์พอลิเมอร์ร่วม (สัดส่วนโมลของมอนอเมอร์กับตัวเริ่มปฏิกิริยา 100/0.5 ปริมาณคอปเปอร์โบรไมด์ 0.0258 กรัม อุณหภูมิ 90 องศาเซลเซียส 24 ชั่วโมง)



รูปที่ ก.15 GPC โครมาโทแกรมของผลิตภัณฑ์ที่ได้จากการสังเคราะห์พอลิเมอร์ร่วม (สัดส่วนโมลของมอนอเมอร์กับตัวเริ่มปฏิกิริยา 100/2 ปริมาณคอปเปอร์โบรไมด์ 0.0258 กรัม อุณหภูมิ 90 องศาเซลเซียส 24 ชั่วโมง)



รูปที่ ก.16 GPC โครมาโทแกรมของผลิตภัณฑ์ที่ได้จากการสังเคราะห์พอลิเมอร์ร่วม (สัดส่วนโมลของมอนอเมอร์กับตัวเริ่มปฏิกิริยา 100/1 ปริมาณคอปเปอร์โบรไมด์ 0.0258 กรัม อุณหภูมิ 90 องศาเซลเซียส 24 ชั่วโมง)



รูปที่ ก.17 GPC โครมาโทแกรมของผลิตภัณฑ์ที่ได้จากการสังเคราะห์พอลิเมอร์ร่วม (สัดส่วนโมลของมอนอเมอร์กับตัวเริ่มปฏิกิริยา 100/1 ปริมาณคอปเปอร์โบรไมด์ 0.0258 กรัม อุณหภูมิ 60 องศาเซลเซียส 24 ชั่วโมง)

ประวัติผู้วิจัย

ชื่อ-นามสกุล	นางสาวภัทธีรา ศรีชัย
วัน เดือน ปีเกิด	16 พฤษภาคม พ.ศ. 2529
ประวัติการศึกษา	
ระดับมัธยมศึกษา	โรงเรียนเมืองพลพิทยาคม พ.ศ. 2547
ระดับปริญญาตรี	วิศวกรรมศาสตรบัณฑิต สาขาวิชาปิโตรเคมีและวัสดุพอลิเมอร์ คณะวิศวกรรมศาสตร์และเทคโนโลยีอุตสาหกรรม มหาวิทยาลัยศิลปากร พ.ศ. 2551
ระดับปริญญาโท	วิศวกรรมศาสตรมหาบัณฑิต สาขาวิชาเทคโนโลยีวัสดุ คณะพลังงานสิ่งแวดล้อมและวัสดุ มหาวิทยาลัยเทคโนโลยีพระจอมเกล้าธนบุรี พ.ศ. 2555
ทุนวิจัย	มหาวิทยาลัยวิจัยแห่งชาติ (NRU)
ผลงานที่ได้รับการตีพิมพ์	ภัทธีรา ศรีชัย และจตุพร วุฒิกันกกาญจน์, 2554, “Synthesis and Characterization of Triblock Copolymers from Di-alkyl Itaconate Base Monomer via Atom Transfer Radical Polymerization”, การประชุมวิชาการสมาคมพอลิเมอร์แห่งประเทศไทย ครั้งที่ 2, 20 -21 ต.ค. 2554, ศูนย์ประชุมสถาบันวิจัยจุฬาภรณ์ กรุงเทพฯ.